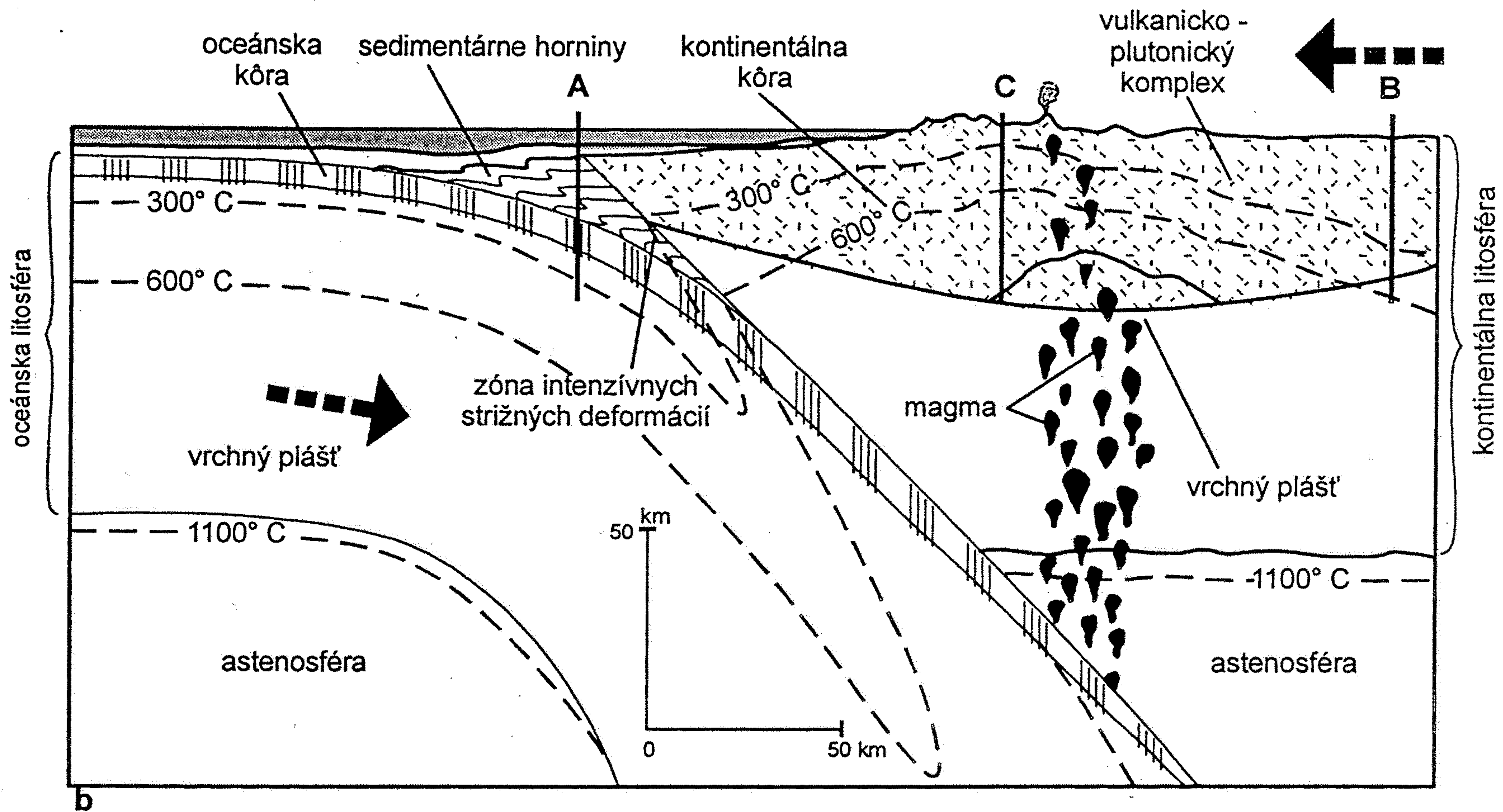
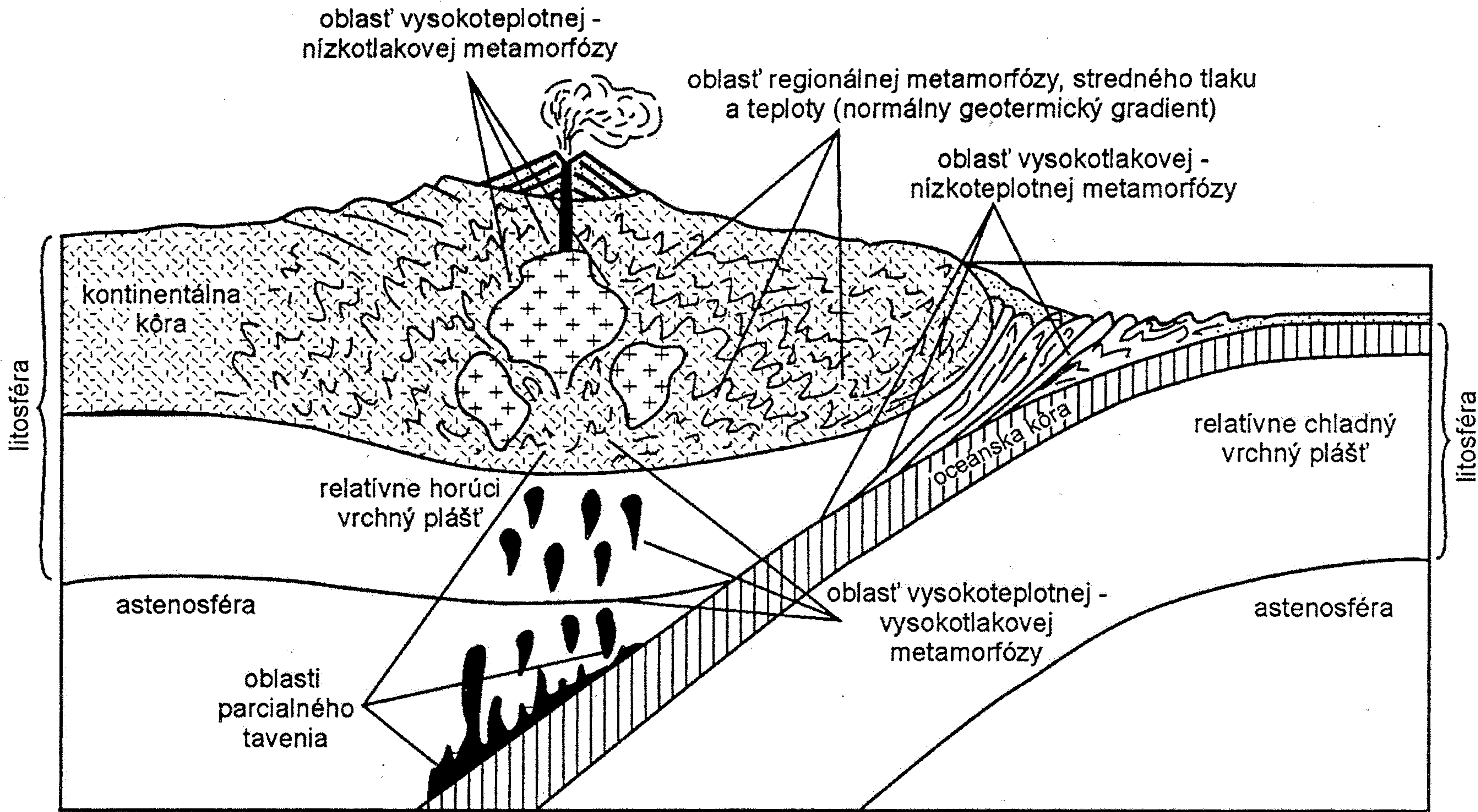


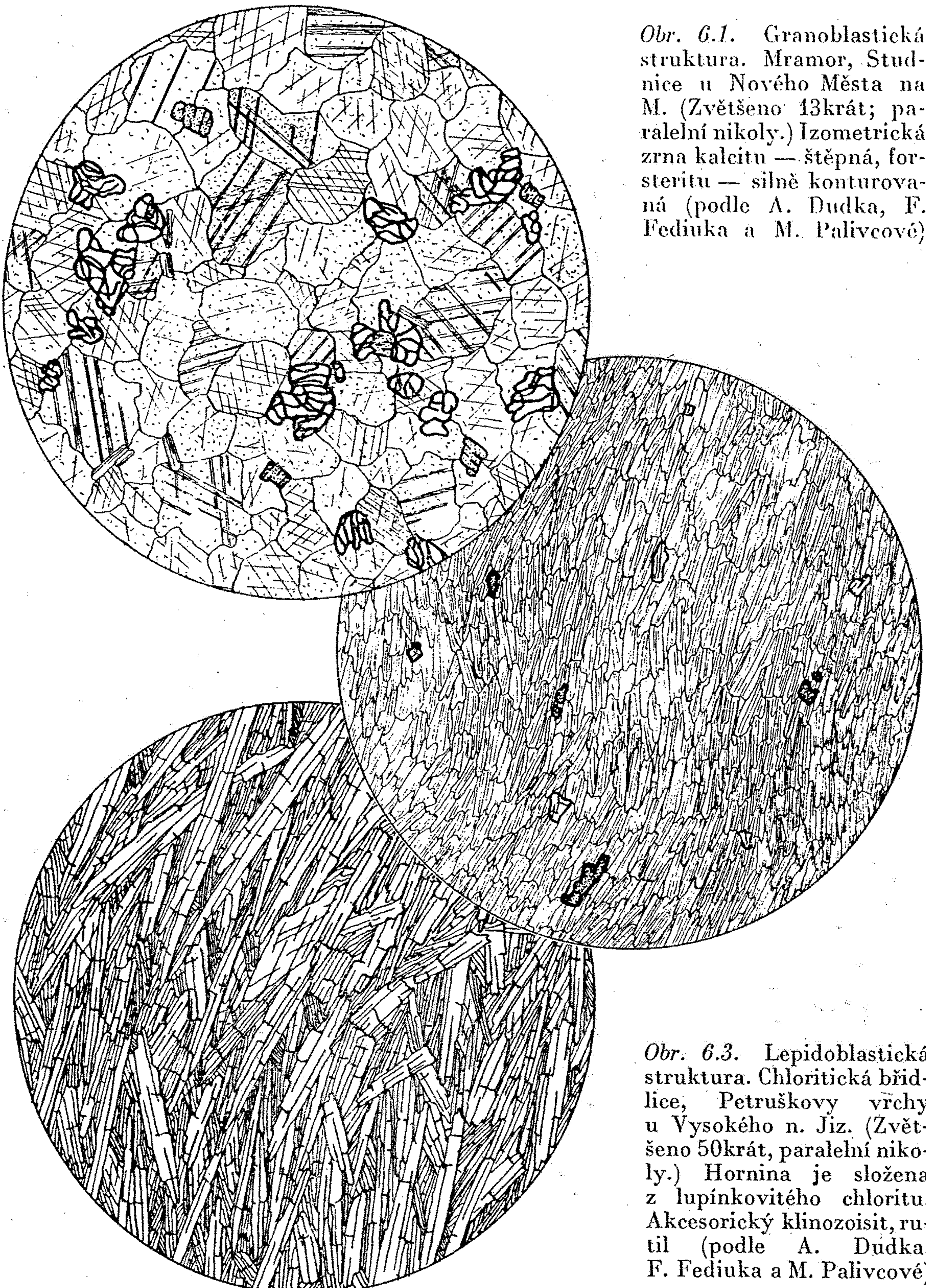
Abb. 13.1
Druck- und Temperaturbedingungen der metamorphen Prozesse in der Lithosphäre; die geraden Linien stellen geothermische Gradienten dar: A) Im Bereich der abtauchenden Platte einer Subduktionszone (gilt nur für Subduktionszonen mit Abtauchwinkeln > 30°, bei flacheren Abtauchwinkeln gilt B); B) Kontinentale Kruste im Bereich eines Magmatic arcs oder einer Kontinent-Kontinent-Kollision; C) Kontaktmetamorphose und hydrothermale Metamorphose, z.B. am Mittelozeanischen Rücken; die in der Abbildung gezeigten Begriffe werden im Text erläutert (10 kbar = 1 GPa) (Entwurf: G. FRANZ, nach verschiedenen Quellen).



Obr. 9.8. Metamorfóza naprieč konvergentných okrajov litosférických dosiek. a – Lokalizácia zón relatívne chladnej litosféry v spodnej (oceánskej) litosférickej doske a horúcej v oblasti vrchnej (kontinentálnej) litosférickej dosky. b – Priebeh 300 °C, 600 °C a 1 100 °C izoterm v oblasti konvergentných okrajov litosférických dosiek s vyznačením miest rozdielnych geotermických gradientov (A, B, C), ktorých priebeh je vyjadrený v schéme tlakovo-teplotných podmienok metamorfných fácií na obr. 9.7. (upravené podľa Plummera – McGarryho 1996)



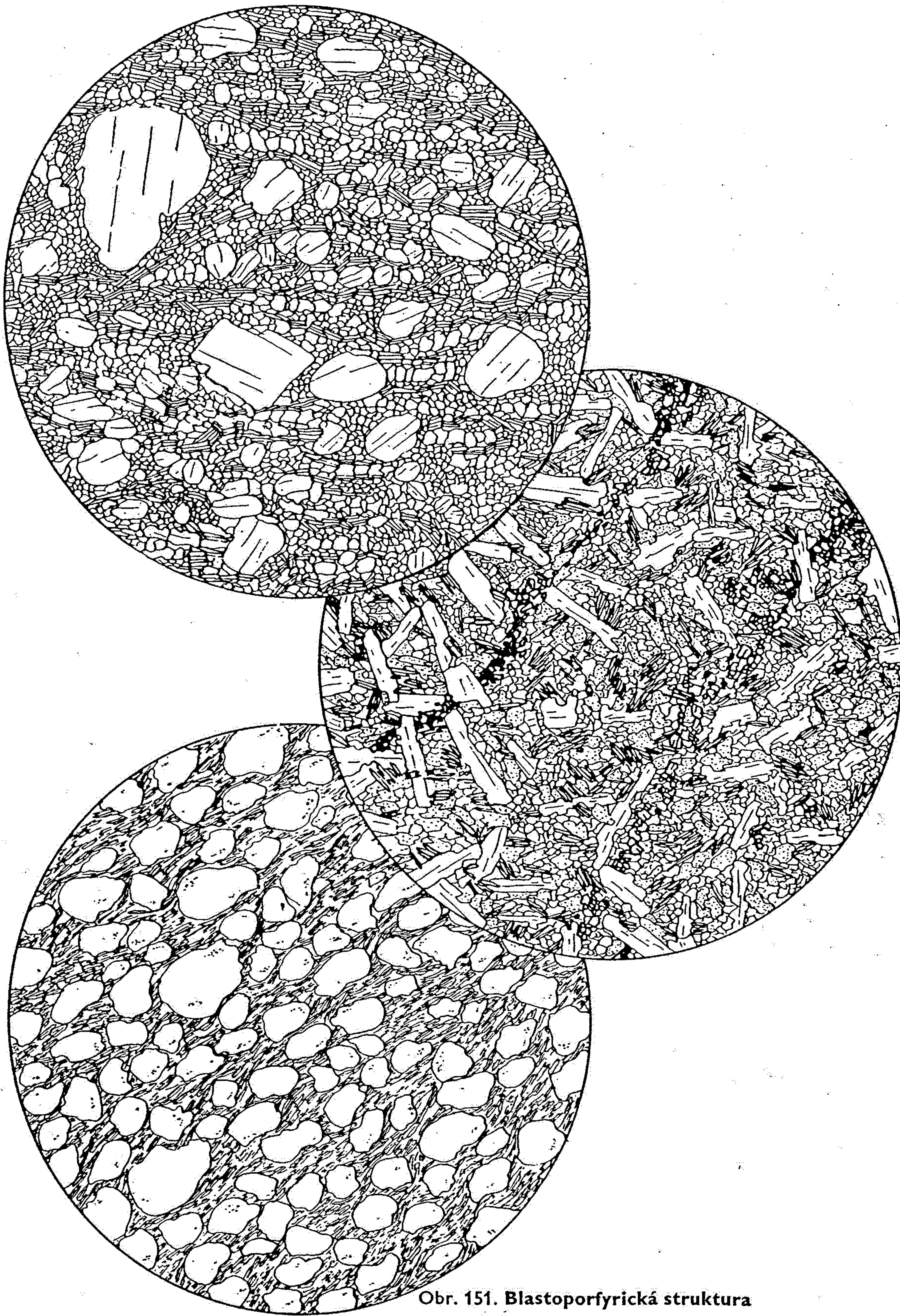
Obr. 9.10. Schematický rez cez konvergentný styk oceánskej a kontinentálnej LD znázorňuje z pohľadu teórie tektoniky LD výskyt hlavných typov metamorfózy v závislosti od geotermického gradientu (geotektonického prostredia)



Obr. 6.1. Granoblastická struktura. Mramor, Studnice u Nového Města na M. (Zvětšeno 13krát; paralelní nikoly.) Izometrická zrna kalcitu — štěpná, forsteritu — silně konturovaná (podle A. Dudka, F. Fediuka a M. Palivcové)

Obr. 6.3. Lepidoblastická struktura. Chloritická břidlice, Petruškovy vřchy u Vysokého n. Jiz. (Zvětšeno 50krát, paralelní nikoly.) Hornina je složena z lupíkovitého chloritu. Akcesorický klinozoisit, rutil (podle A. Dudka, F. Fediuka a M. Palivcové)

Obr. 6.2. Nematoblastická struktura. Amfibolit, Onšov u Vranova n. D. (Zvětšeno 15krát; paralelní nikoly.) Hornina se skládá výhradně ze sloupců a stébel amfibolu (podle A. Dudka, F. Fediuka a M. Palivcové)



Obr. 151. Blastoporfyrická struktura

Mylonitisovaná muskovitická žulorula, Krhovice u Znojma.

Reliktně zachované vyrostlice živců v drcené a rekrystalované základné tkáni složené z drobnějších zrn živců, křemene a lupínek muskovitu.

Zvětšeno 15×, nikoly ||. Obr. 152. Blastoofitická struktura

Zelená břidlice (epizonálně metamorfovaný „spilit“), skalní stěna u nádraží v Kralupech nad Vltavou.

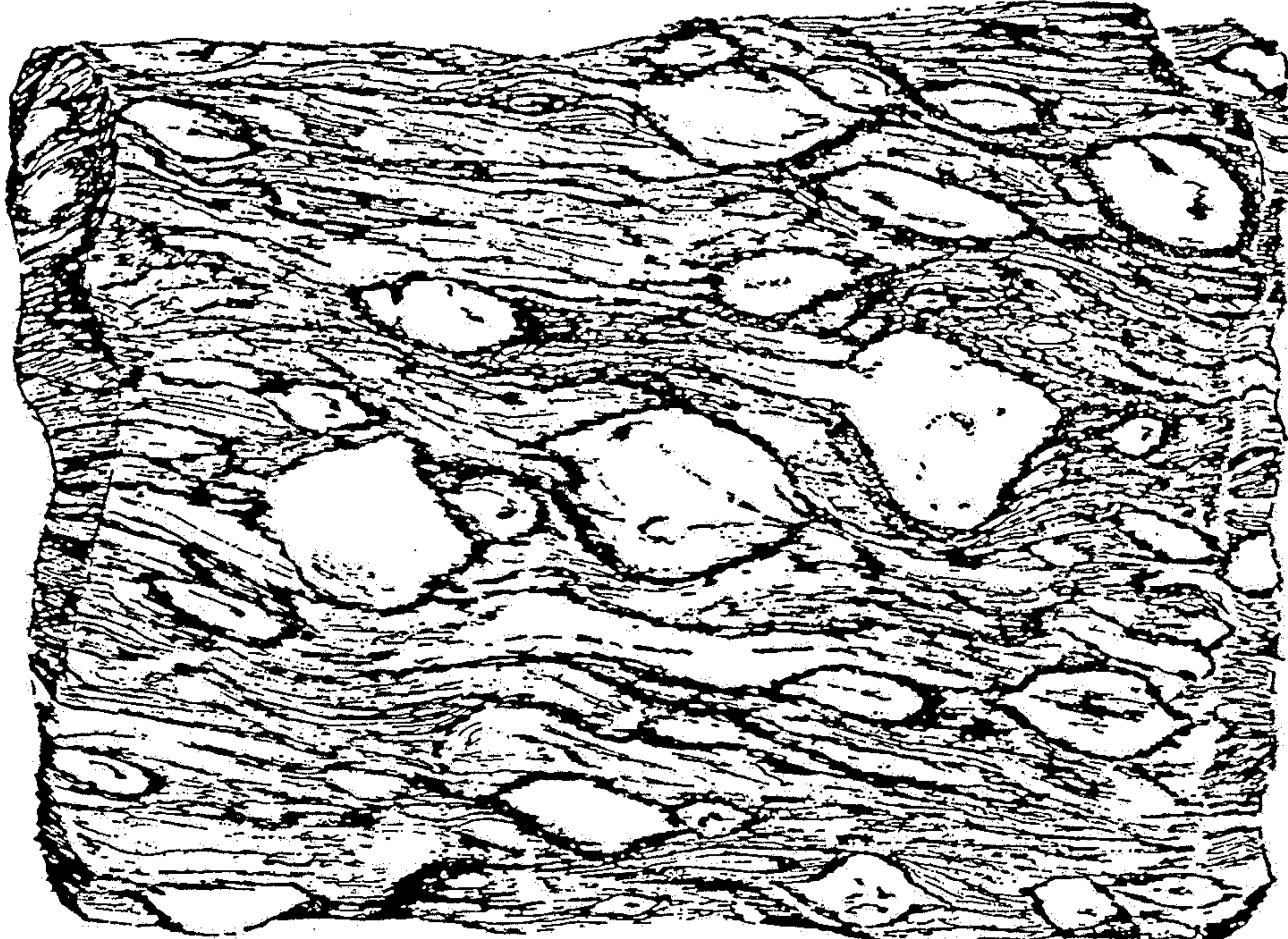
Reliktně zachovaný tvar a uspořádání lišt původně basických, nyní albitisovaných plagioklasů v rekrystalované základní tkáni složené z drobného albitu, chloritu, křemene a titanitu, vytvářejícího proužky.

Zvětšeno 60×, nikoly ||. Obr. 153. Blastopsammítická struktura

Kontaktně metamorfovaný algonkický pískovec, Koupě u Hudčic jz. od Březnice.

Reliktní klastická zrna křemene uložená v jemnozrnné rekrystalované základní tkáni, která se skládá z jemných šupinek biotitu a zrnek křemene.

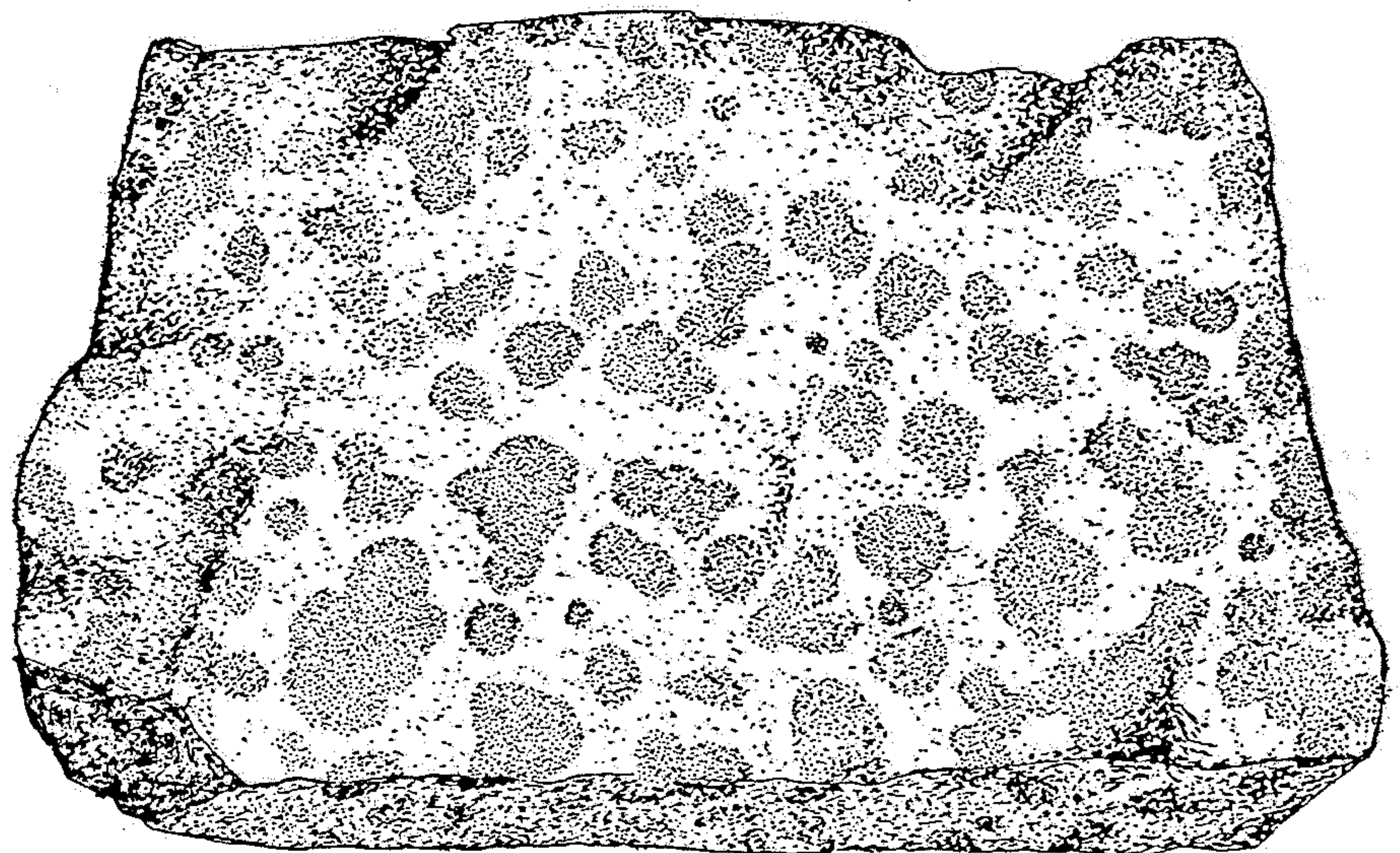
Zvětšeno 16×, nikoly ||.



Obr. 182. Okatá textura

Dvojslídna ortorula (bítešská), Nedvědice na Moravě.

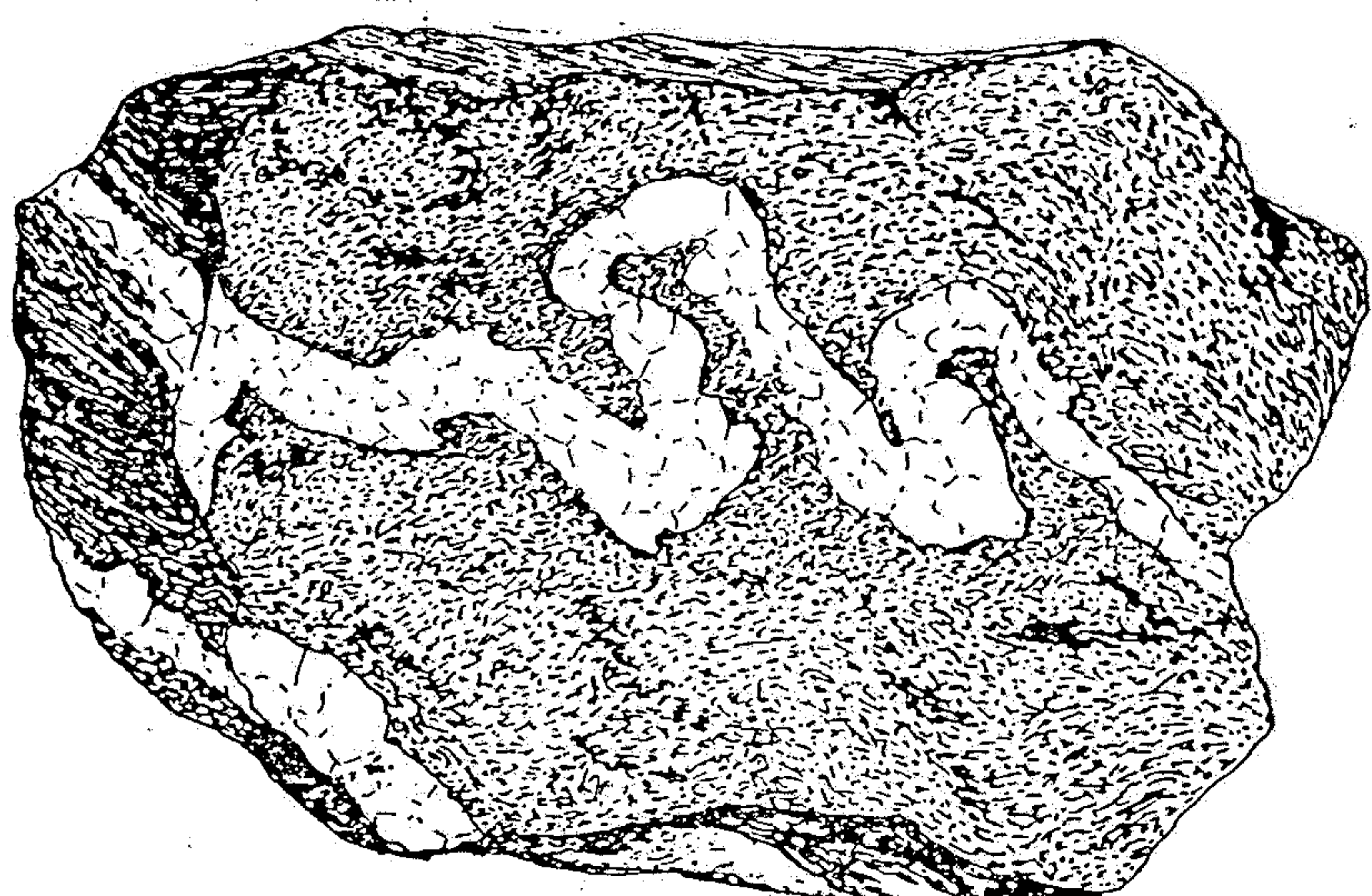
Porfyroblasty živců mají tvar „ok“ a jsou uloženy v základní tkáni složené z křemene, živce a biotitu.



Obr. 183. Skvrnitá textura

Spilosit (slín vypálený na kontaktu s čedičem), Čeřovka u Jičína.

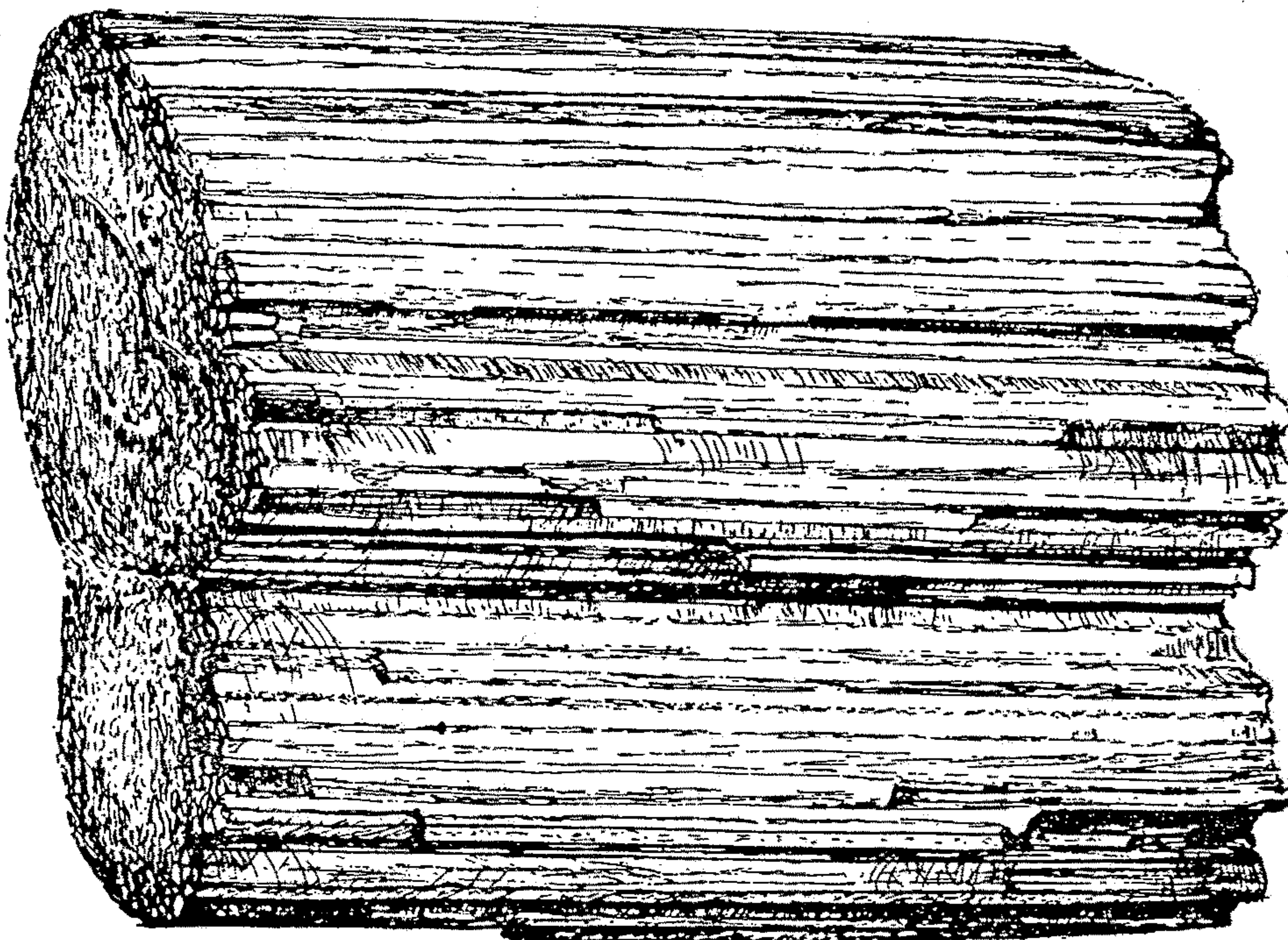
Tmavozelené skvrny rozptýlené ve světle šedém podkladu.



Obr. 185. Ptygmatitická textura

Ptygmatit, Krasíkovice u Pelhřimova.

Nepravidelně zklikacené žilky křemenovo-živcové hmoty pronikají biotitickou pararulou.



Obr. 180. Stébelnatá textura

Dvojslídna ortorula, Doubravčany u Kolína.

V hornině není foliace, zato je v ní výrazně vyvinuta lineace v podobě tenkých válcovitých útvarů vzniklých rotačním pohybem.

Zmenšeno na $\frac{2}{3}$.

Archiv Petrografického ústavu KU.



Obr. 181. Plástevnatá textura

Dvojslídna ortorula, Chotouchov u Kolína.

Zmenšeno na $\frac{2}{3}$.

Výrazná foliace, podmíněná tabulkovitě odlučnými polohami se slídou.

Archiv Petrografického ústavu KU.

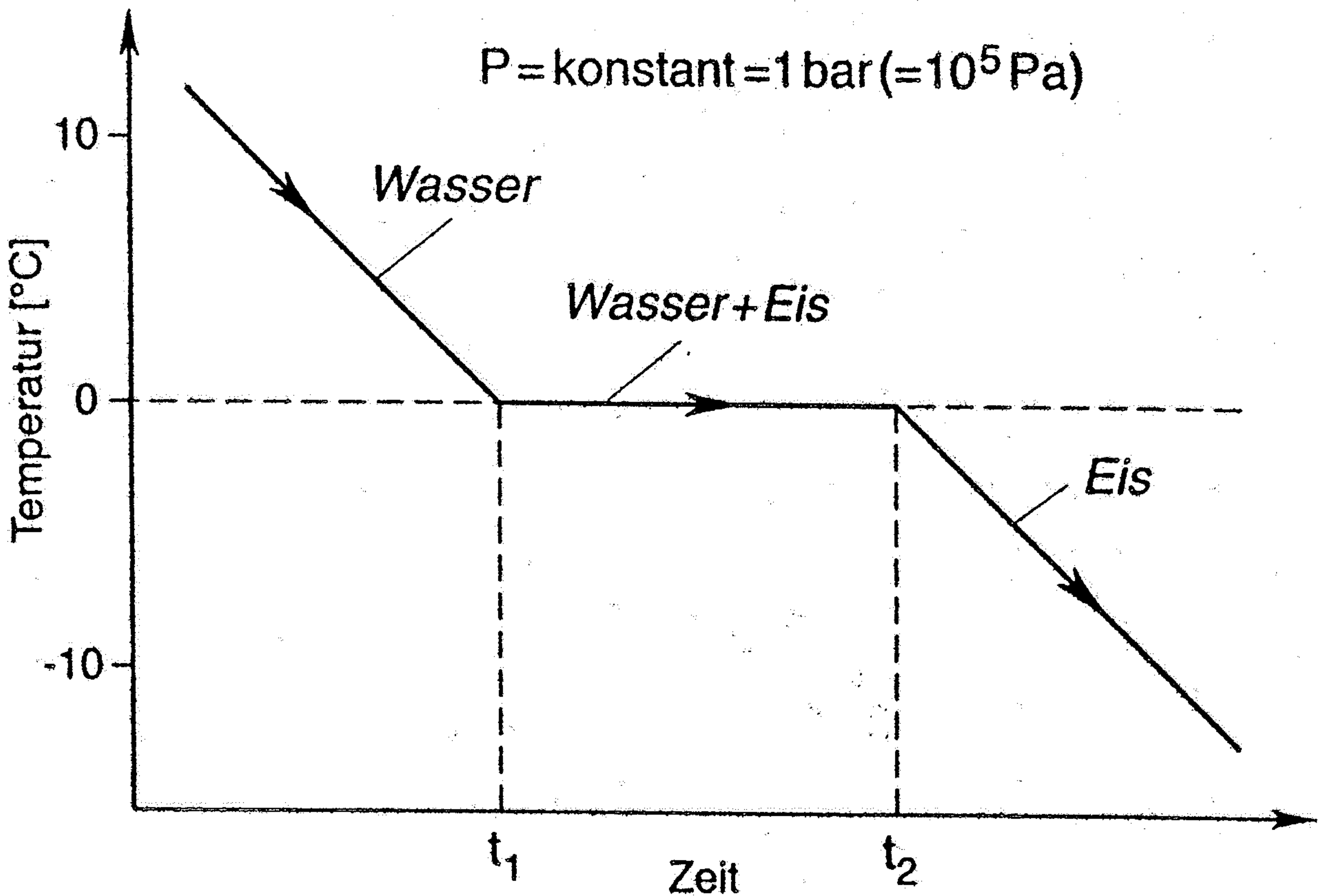


Abb. 13.6

Temperatur-Zeit-Kurve des Systems H_2O bei konstanter Wärmeentnahme (Kühlung). Bei Zimmertemperatur ist nur die Phase Wasser stabil. Zum Zeitpunkt t_1 setzt die Kristallisation von Eis ein. Die wachsenden Kristalle geben dabei latente Wärme ab und halten die Temperatur des Systems konstant (trotz fortgesetzter Kühlung). Zwischen t_1 und t_2 sind die beiden Phasen Wasser und Eis stabil. Erst wenn alles Wasser zu Eis kristallisiert ist, kann das System weiter abgekühlt werden. Beim Abkühlen einer Magmenkammer in der Kruste laufen ähnliche Prozesse ab, allerdings wesentlich komplexer. Erst wenn der letzte Tropfen Silikatschmelze auskristallisiert ist, kann der Pluton auf Umgebungstemperatur abkühlen.

ENTALPIE (H) (tepelný obsah)

Teplo přijaté při isobarickém vratném ději se rovná přírustku entalpie.
Např. při tání ledu nebo vypařování vody se skupenské teplo rovná přírustku entalpie.

$$\text{entalpie } H = U + p \cdot V \xrightarrow{\substack{\text{tlak} \\ \downarrow \\ \text{vnitřní energie}}} \text{objem}$$

\swarrow vazebná energie \searrow vibrační energie

GIBBSOVA FUNKCE

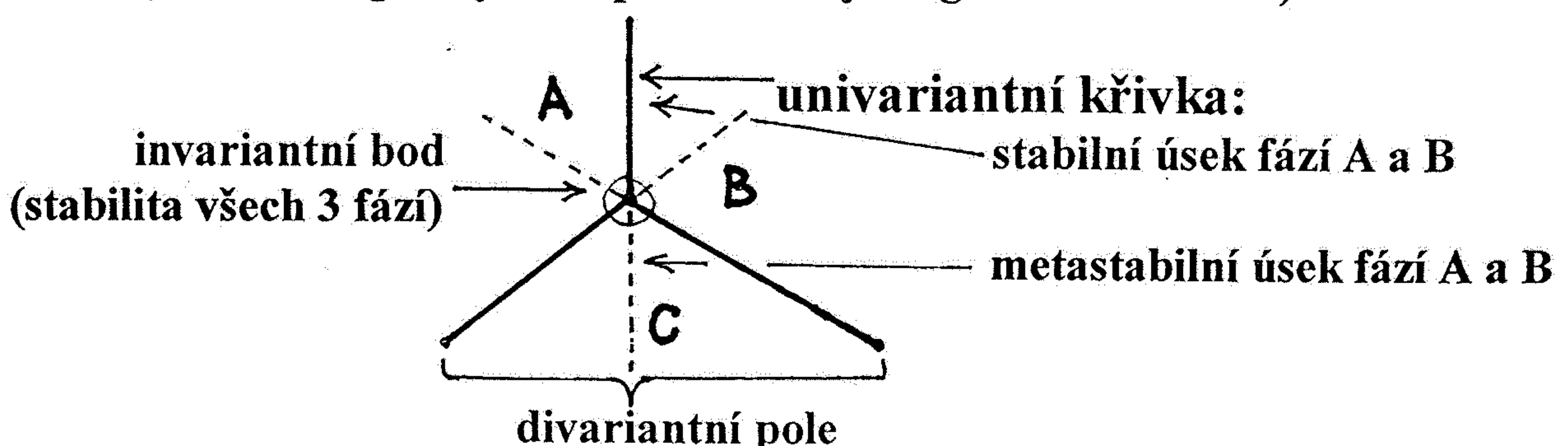
(Gibbsův potenciál = termodynamický potenciál = volná entalpie)

U fyzikální soustavy je to součet volné energie (F) a součinu tlaku (p) a objemu (V)

$$\text{Gibbsova funkce } G = F + p \cdot V \xrightarrow{\substack{\text{tlak} \\ \downarrow \\ \text{vnitřní energie } U - T \cdot S \xrightarrow{\substack{\text{entropie (míra neuspořádanosti)}}} \\ \downarrow \\ \text{absolutní teplo}}}$$

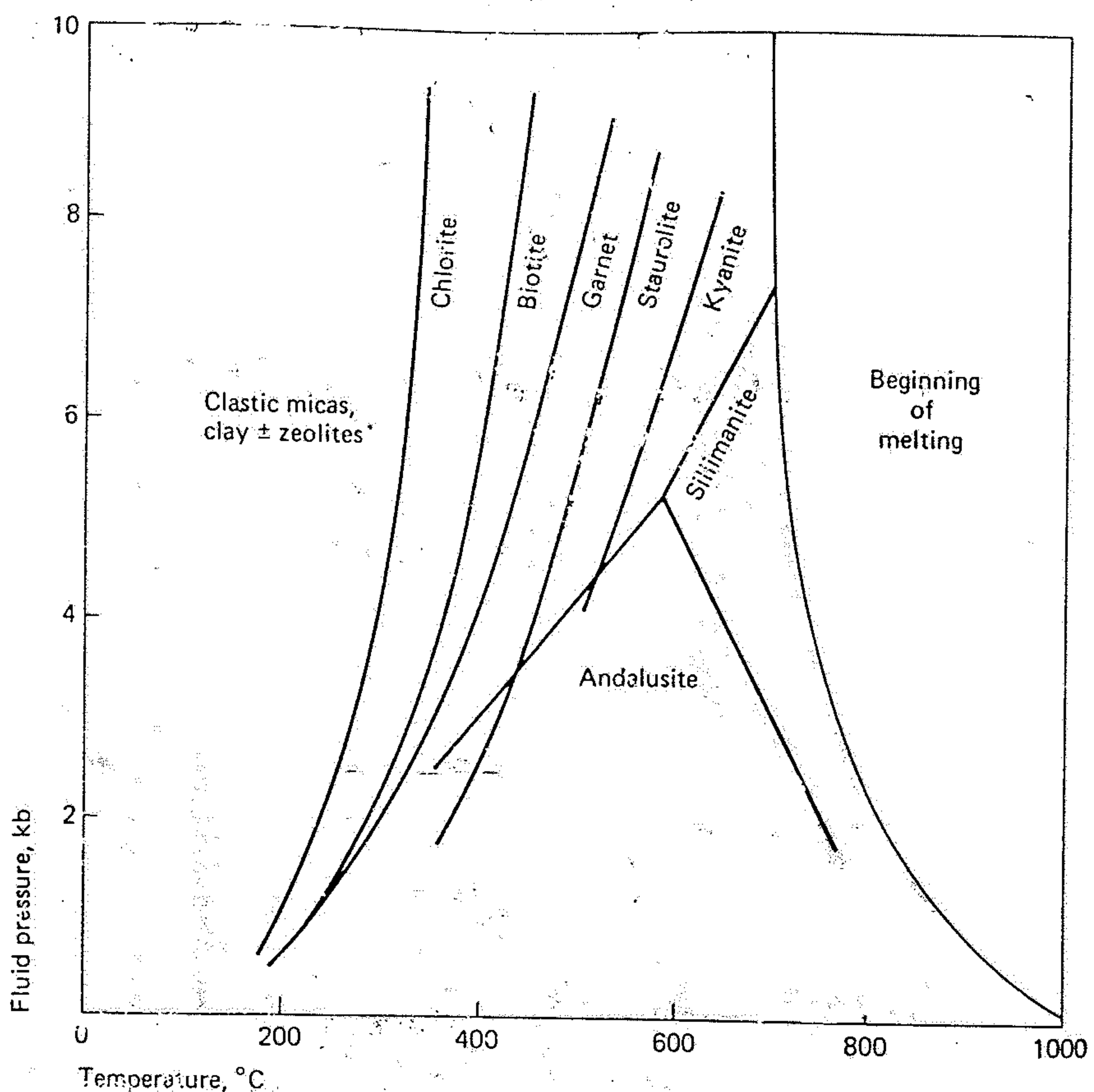
GIBBSOVO FÁZOVÉ PRAVIDLO

(Fázové diagramy - např. třífázový diagram A - B - C)



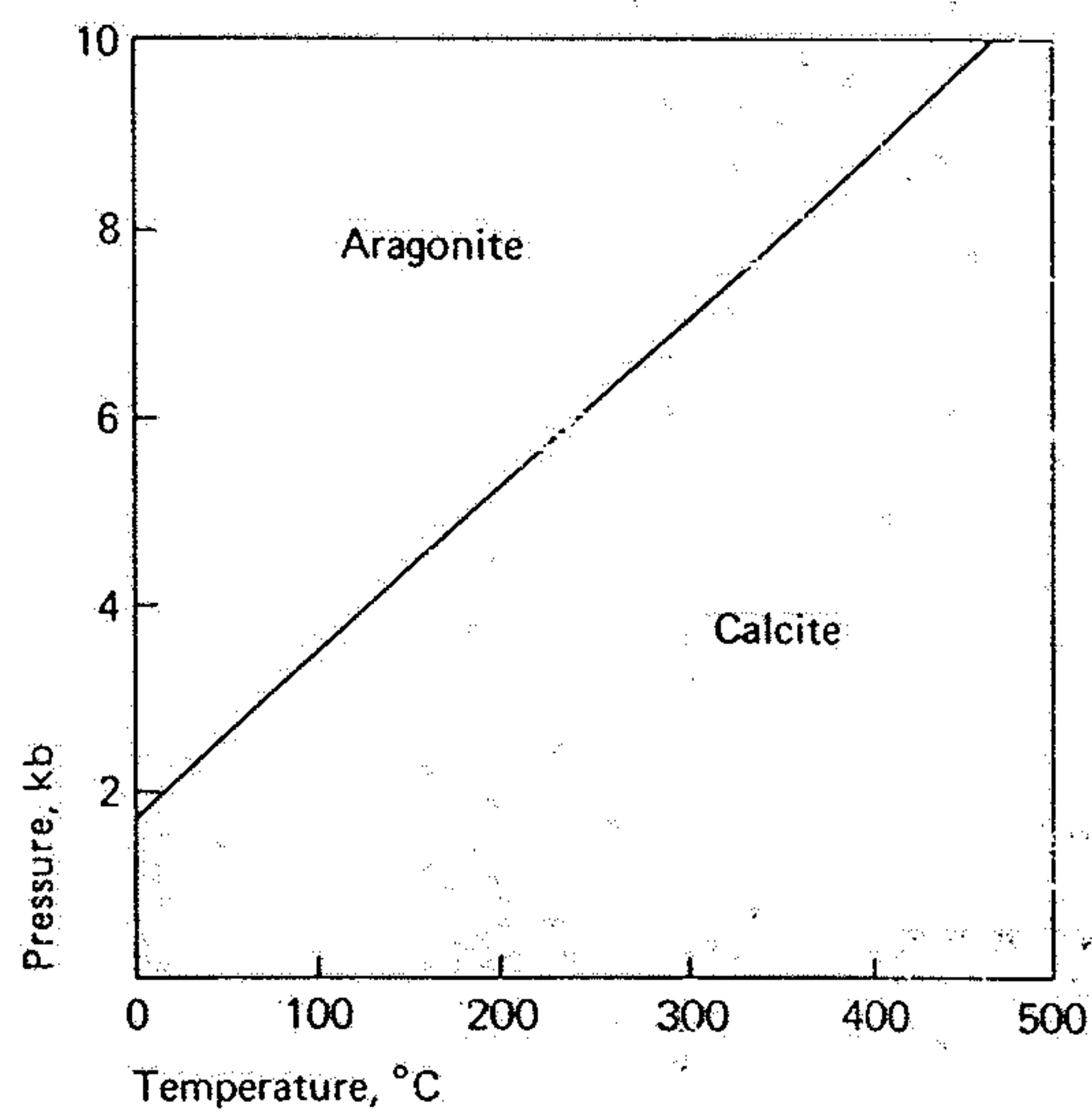
(Oblast stability fáze C a příslušné minerální asociace – parageneze)

Schreinemakerovo pravidlo: univariantní křivky svírají úhel menší než 180°



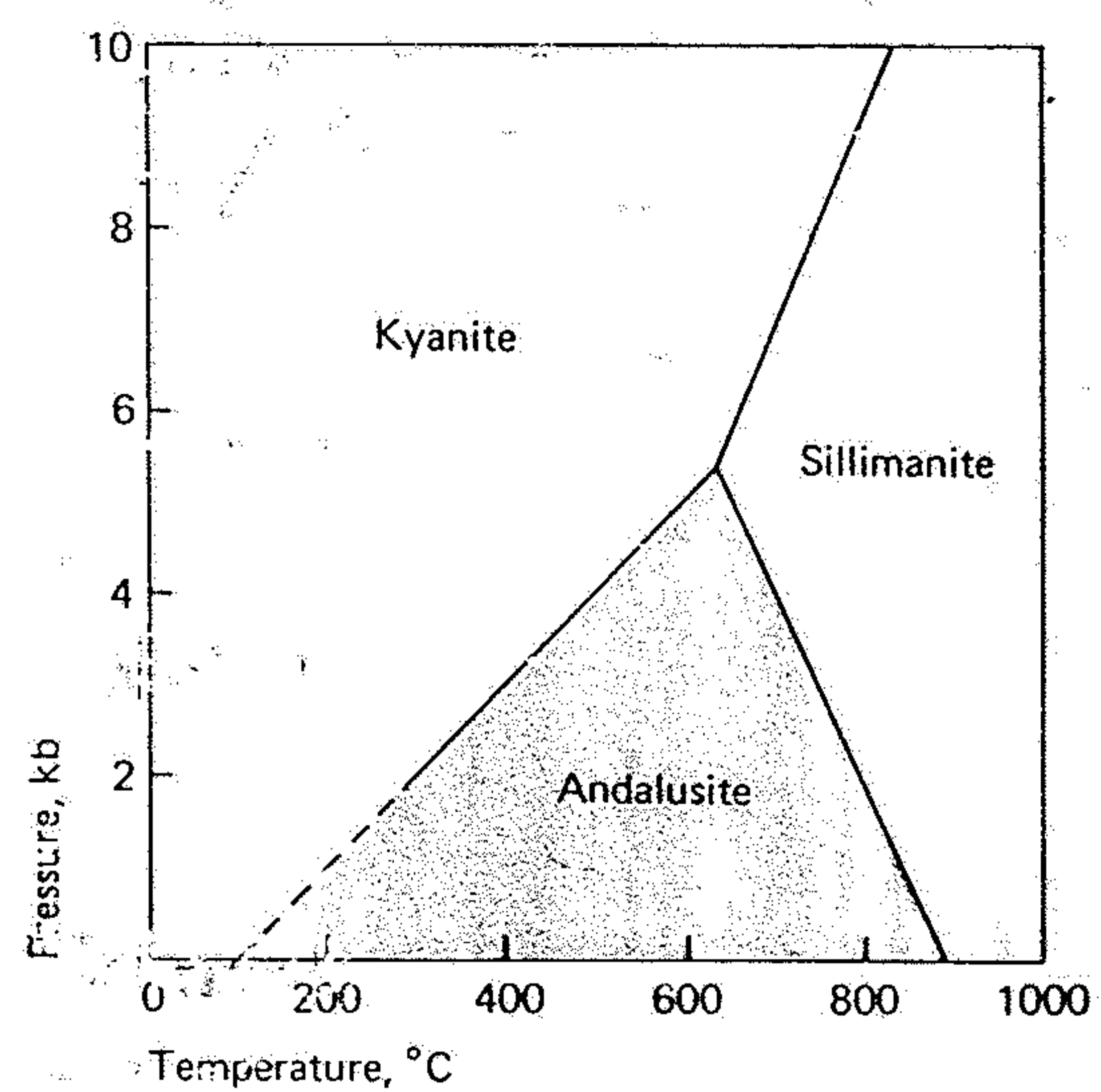
5.3

A hypothetical petrogenetic pressure-temperature grid applicable to progressive metamorphism of shales. Curves, which are based on experimental studies, mark the first appearance of the phase shown on the high-temperature side. (After W. G. Ernst, Earth Materials, Figure 7-9, Prentice-Hall, Inc., Englewood Cliffs, N.J., 1969)



5.1

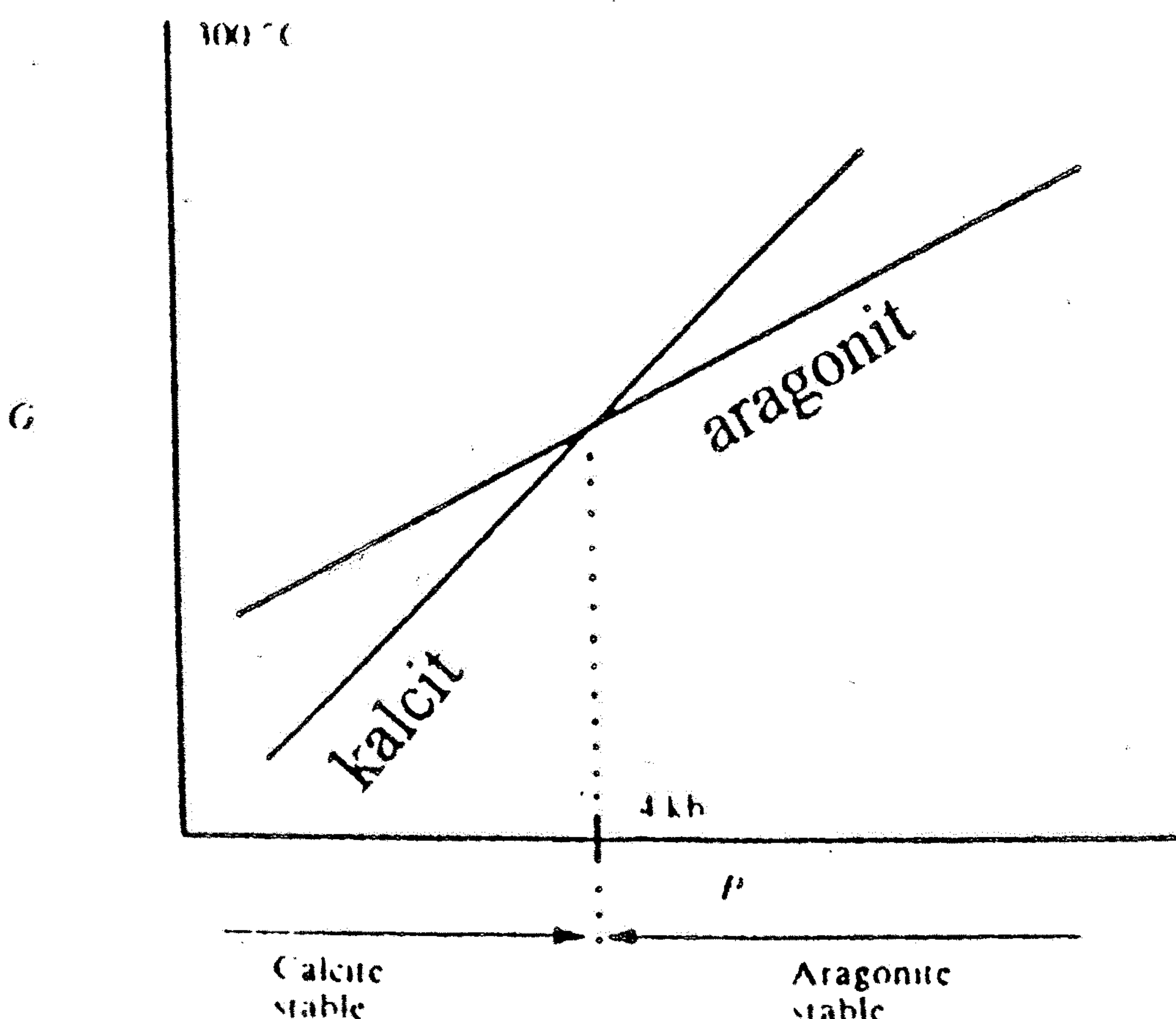
A pressure-temperature phase diagram for the compound CaCO_3 , showing the stability fields of the two polymorphic forms, calcite and aragonite, and the equilibrium boundary between them. (Generalized from various sources)



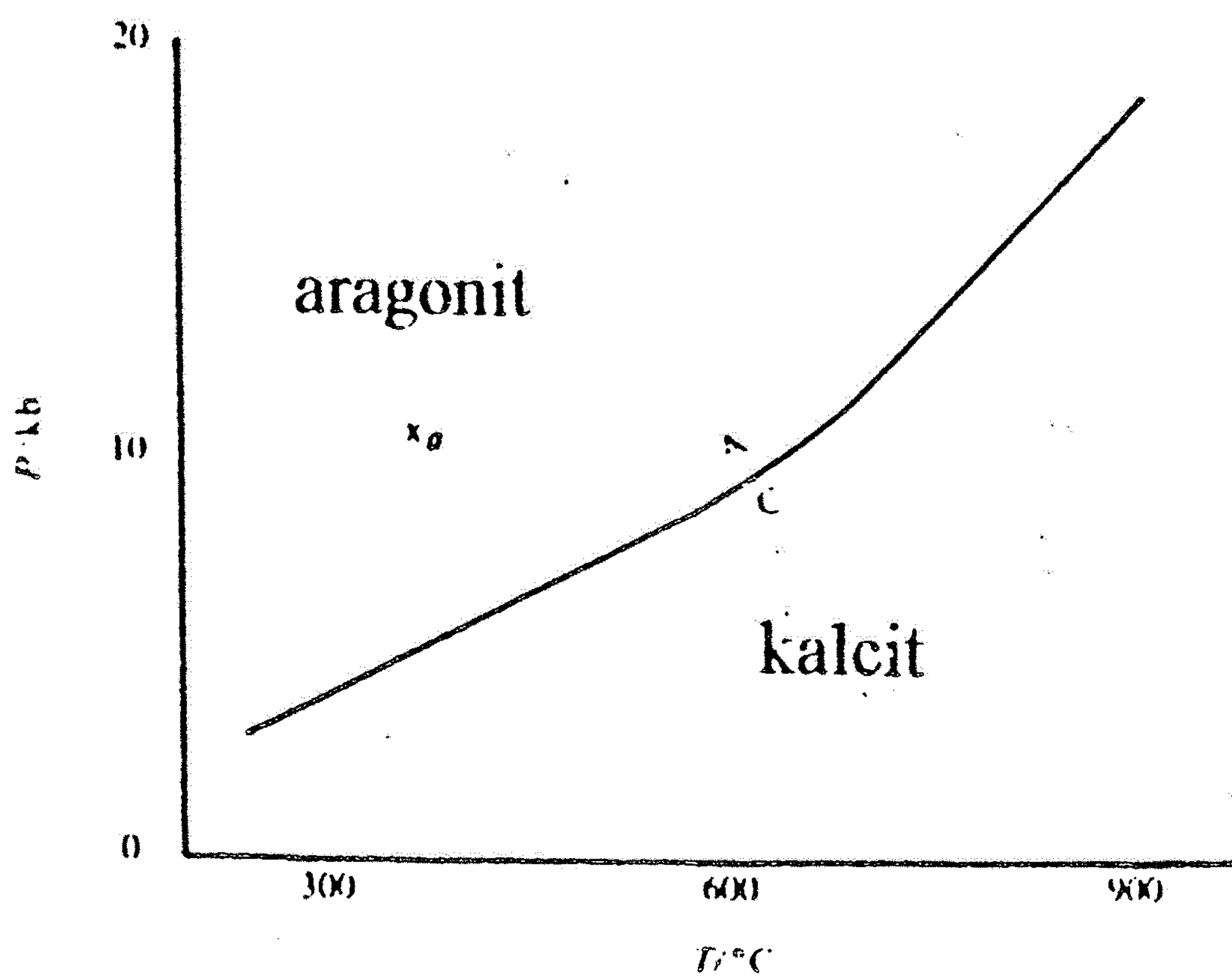
5.2

A pressure-temperature phase diagram for Al_2SiO_5 showing the stability fields for the three polymorphs kyanite, sillimanite, and andalusite, and the equilibrium boundaries between them. Note that all three polymorphs can coexist stably at only one specific temperature and pressure. (Compiled from various sources)

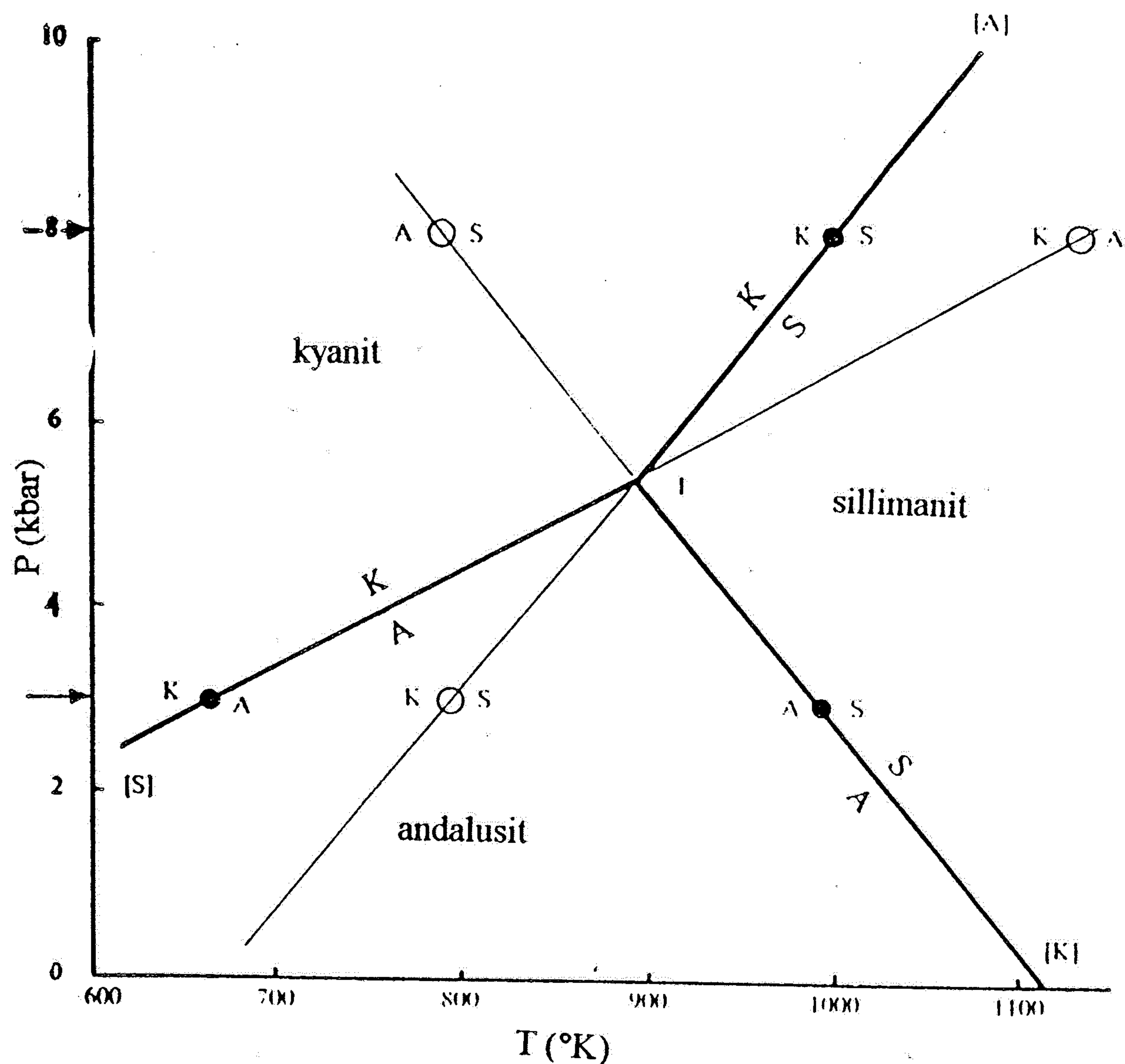
(a)



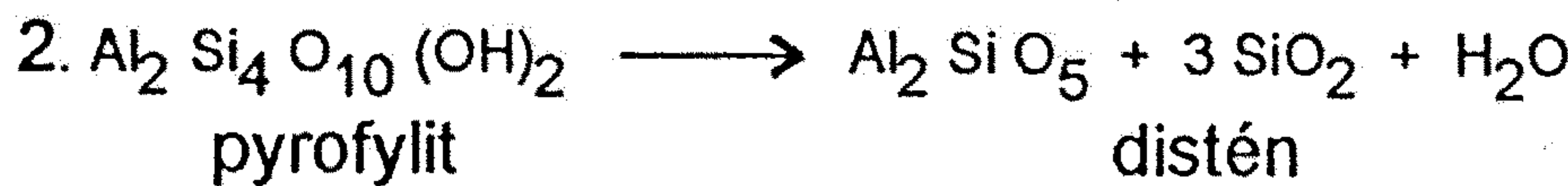
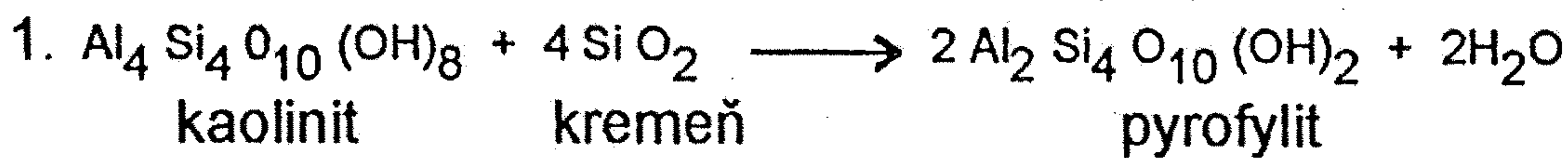
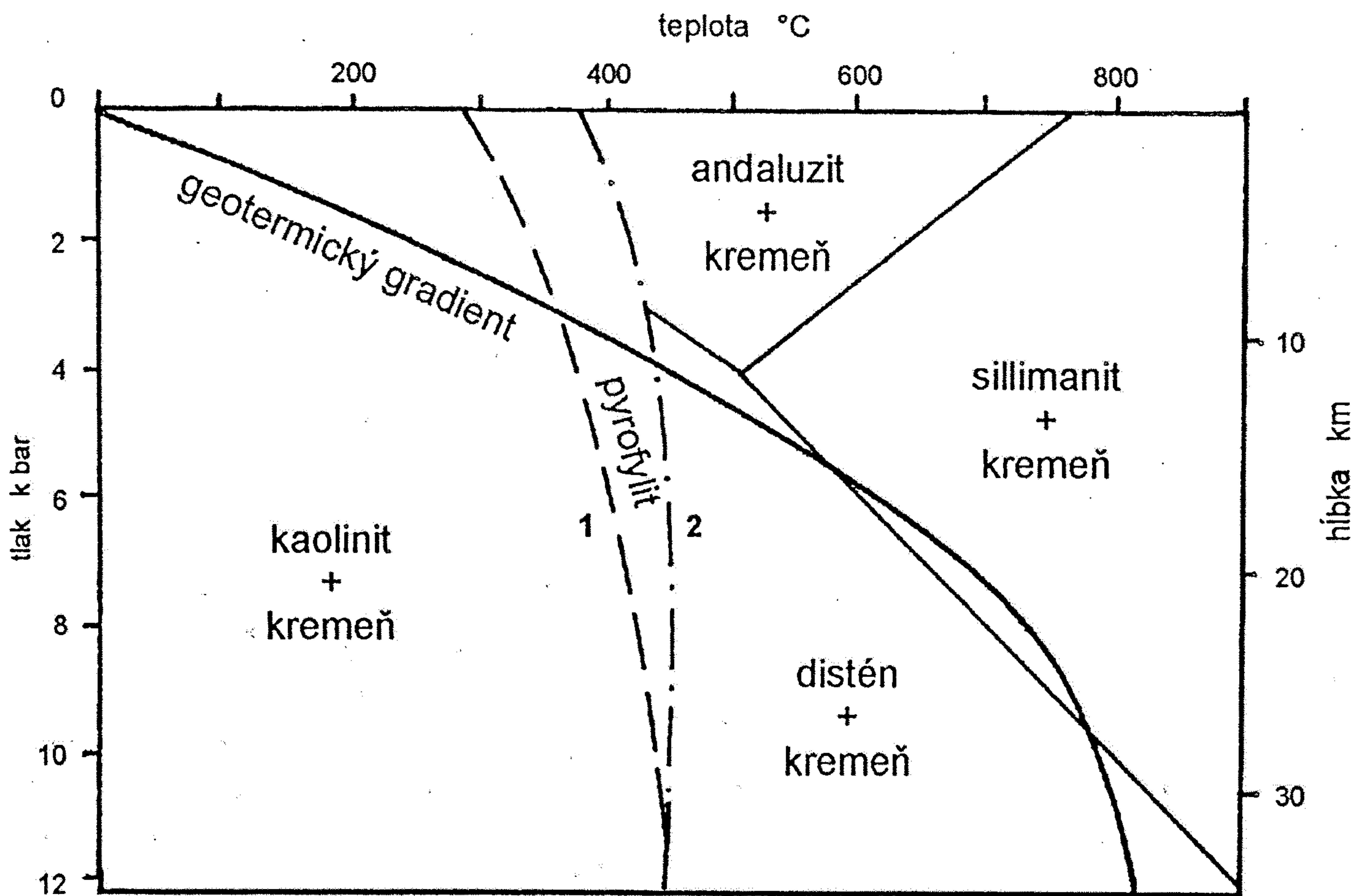
(b)



Obr. 104: a) Schematický diagram vztahu gibbsovy funkce a tlaku (pro teplotu 300 °C), b) polymorfni reakce kacitu na aragonit v jednosložkové soustavě Ca CO_3



Obr. 105: P-T fázový diagram pro jednosložkovou soustavu aluminosilikátů Al_2SiO_5 . Invariantní bod, kde mohou být stabilní všechny fáze - andalusit, sillimanit a kyanit je označen I.
 Silnějšími čarami jsou vyznačeny stabilní části univariantních křivek, tenkými čarami jsou části metastabilní. Diagram byl konstruován Z G-T diagramu, podobně jako v případě kalcitu a aragonitu.



Obr. 9.3. Lepším priblížením ku skutočnej hornine je zmes zložená z ilového minerálu kaolinitu ($\text{Al}_4\text{Si}_4\text{O}_{10}(\text{OH})_8$) a kremeňa. Krivka 1 vyznačuje horný limit teploty a tlaku, pri ktorej kaolinit a kremeň môžu koexistovať. Vpravo od tejto krivky kaolinit a kremeň budú navzájom reagovať za vzniku pyrofylitu a vodnej pary. Vpravo od krivky 2 pyrofylit sa bude rozkladať buď na andaluzit + kremeň + H_2O alebo na distén + kremeň + H_2O . Postupnosť minerálov, ktoré sa budú tvoriť v hornine tvorennej kaolinitom a kremeňom poklesávajúcej do hĺbky takým spôsobom, že budú sledovať krivku geotermického gradientu, je nasledujúca: kaolinit + kremeň, pyrofylit, distén + kremeň, sillimanit + kremeň a opäť distén + kremeň. (upravené podľa Skinnera – Portera 1987)

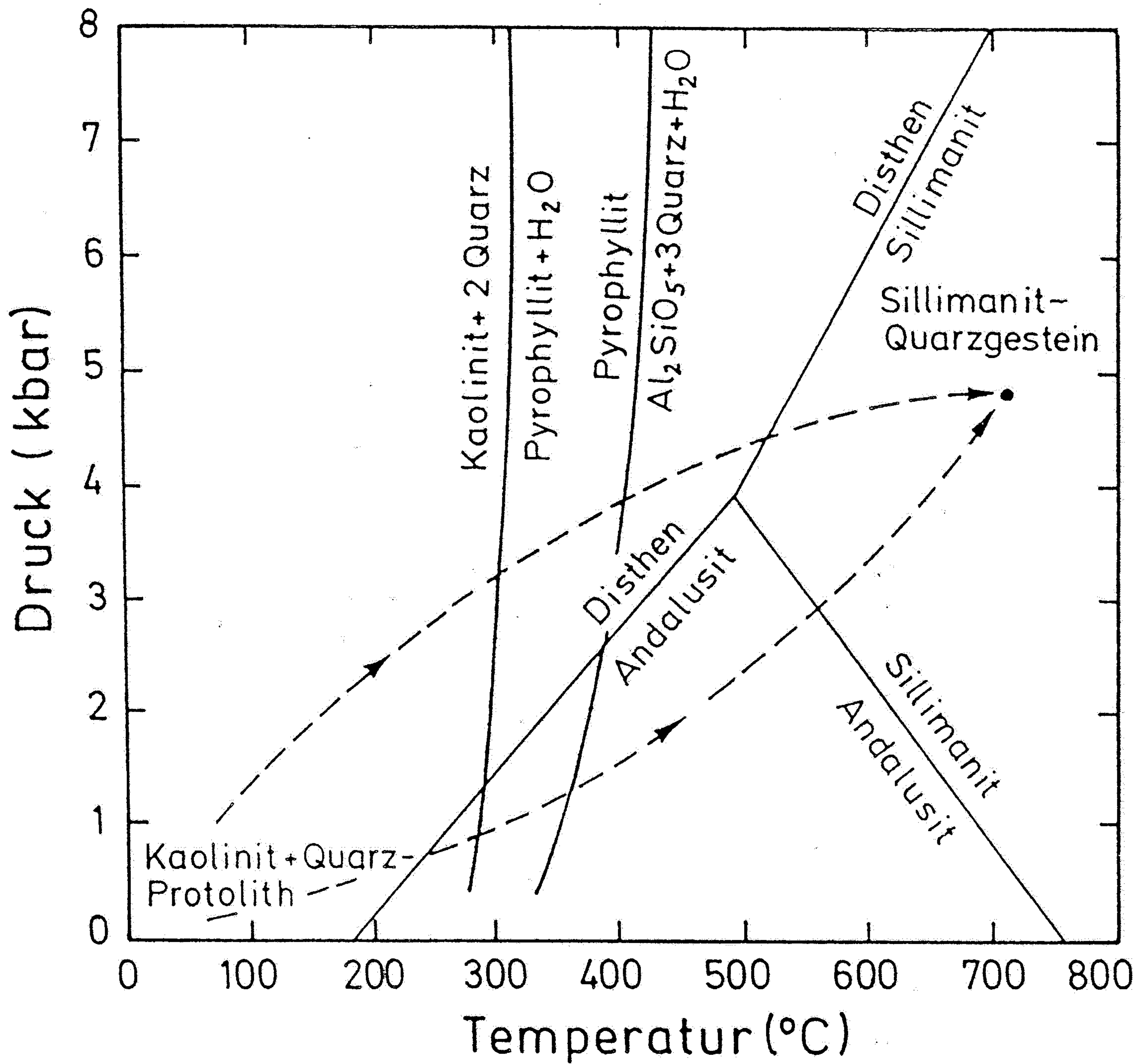


Abb. 13.5

Druck-Temperatur-Diagramm der prograden Metamorphose eines Kaolinit-Quarz-Sandsteins. Kaolinit bricht bei ca. 300 °C zusammen, der wasserärmer Pyrophyllit bei ca. 400 °C. Diese Reaktionen sind temperatursensitiv, daher verlaufen die Phasengrenzen in dem Diagramm nahezu senkrecht. Oberhalb von 400 °C entsteht ein wasserfreies Alumosilikat (je nach Druck: Andalusit oder Disthen). Bei fortschreitender Metamorphose bildet sich Sillimanit. Die gestrichelten Linien zeigen zwei mögliche Entwicklungspfade (P-T-Pfade) vom Protolith zum Metamorphit (nach SELVERSTONE, 1988).

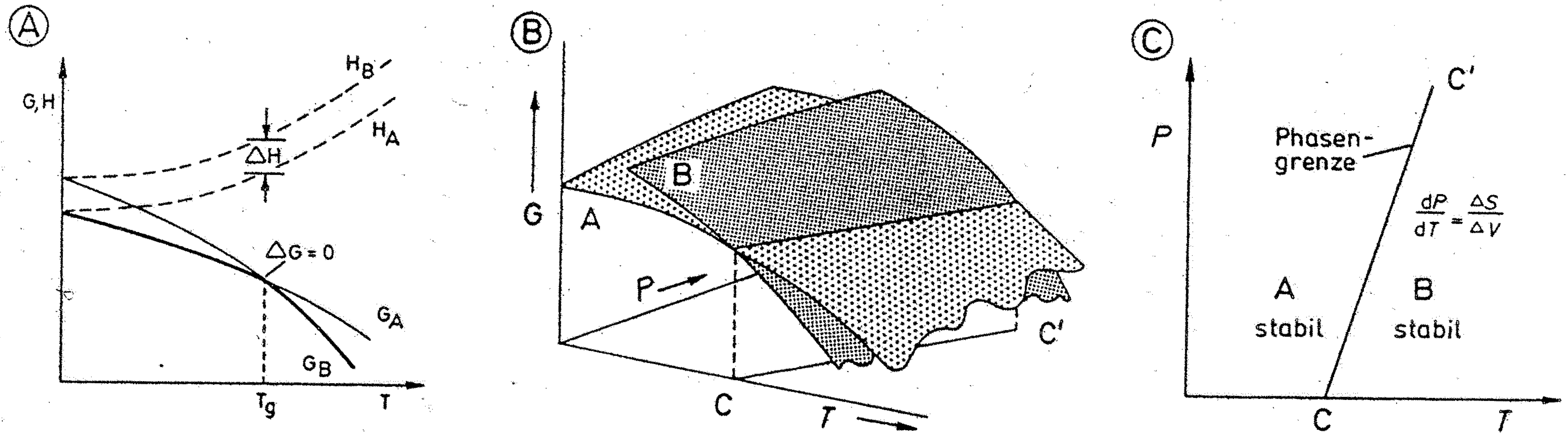
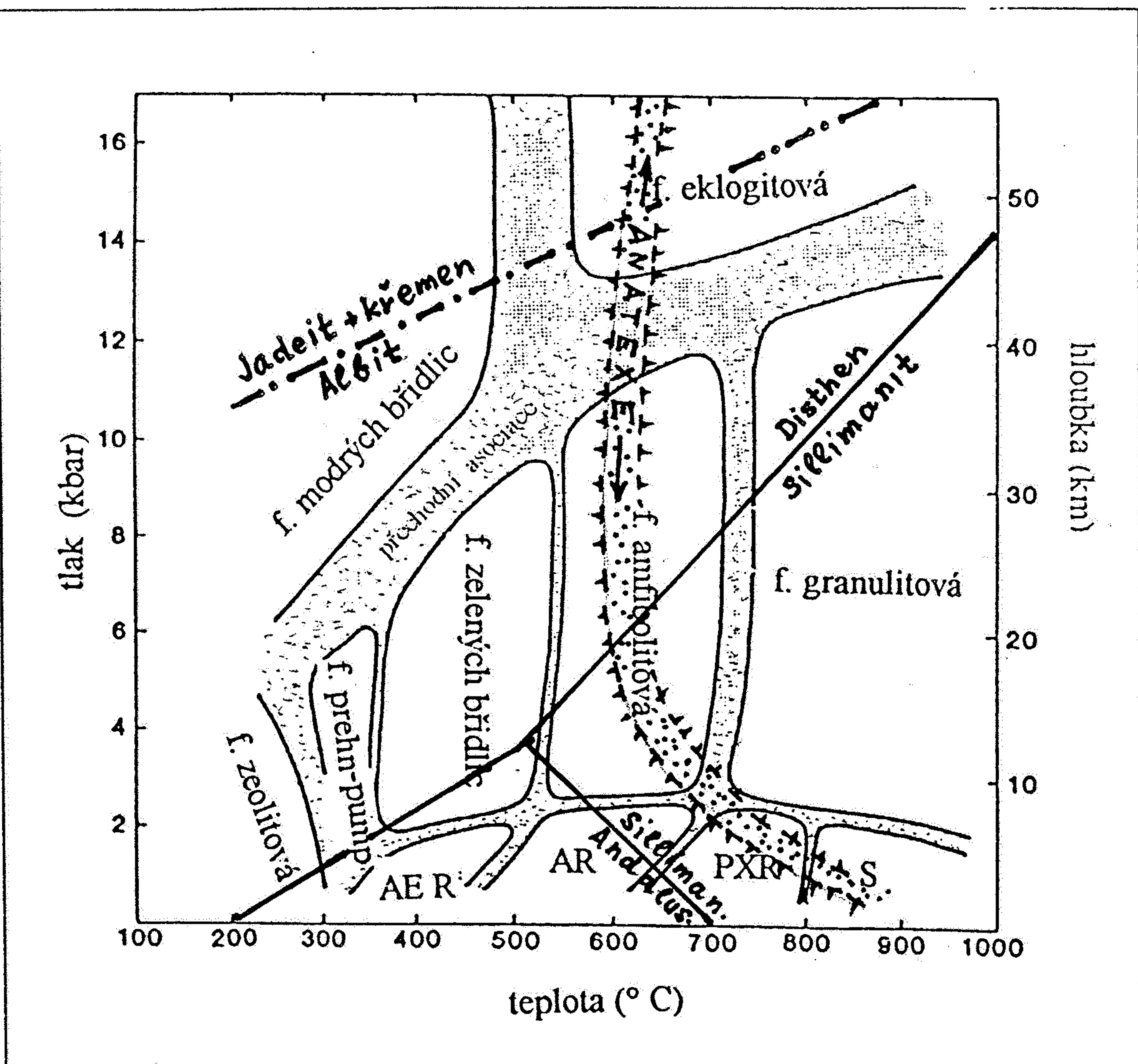


Abb. 13.7

- a) Die Variation der freien Energie G und der Enthalpie H zweier Phasen A und B als Funktion der Temperatur T (bei konstantem Druck). Die Enthalpie-Differenz ΔH der beiden Phasen variiert nur unwesentlich mit der Temperatur. Die Differenz der Gibbschen Freien Energie G ändert sich mit steigender Temperatur, da in diesem Beispiel die Entropie S der beiden Phasen sich mit der Temperatur unterschiedlich entwickelt. Die Kurven G_A und G_B kreuzen sich bei T_g . Unterhalb T_g ist nur die Phase A stabil (fette Linie), weil hier $G_A < G_B$. Bei T_g können beide Phasen A und B nebeneinander existieren, da $\Delta G = 0$. Es liegt eine Gleichgewichtsparagenese vor. Oberhalb von T_g entsteht Phase B auf Kosten von Phase A;
- b) Fügt man (a) die dritte Dimension 'Druck' hinzu, gelangt man zu Flächen der freien Energie G im G, P, T -Raum. Die Schnittlinie ($C-C'$) der beiden G -Flächen für die Phasen A und B definiert den Gleichgewichtszustand.
- c) Projektion von Diagramm (b) auf die P, T -Ebene: Der Verlauf der Phasengrenze ($C-C'$) wird durch $dP/dT = \Delta S/\Delta V$ festgelegt (nach PUTNIS, 1992).



Pole jednotlivých metamorfních facií v P-T diagramu. Vysvětlivky pro facie kontaktní metamorfózy: AER- f. albit-epidotických rohovců, AR - f. amfibolických rohovců, PXR - f. pyroxenických rohovců, S- f. sanidinitová (podle Yardley 1989).

- a) chloritová zóna - typická minerální asociace chlorit, muskovit, křemen
- b) biotitová zóna - biotit, muskovit, chlorit, křemen
- c) granátová zóna - granát (almandin), muskovit, biotit, křemen
- d) staurolitová zóna - staurolit, granát, biotit, muskovit, křemen
- e) kyanitová zóna - kyanit, granát, biotit, muskovit, křemen
- f) sillimanitová zóna - sillimanit, biotit, granát, plagioklas, draselný živec, křemen

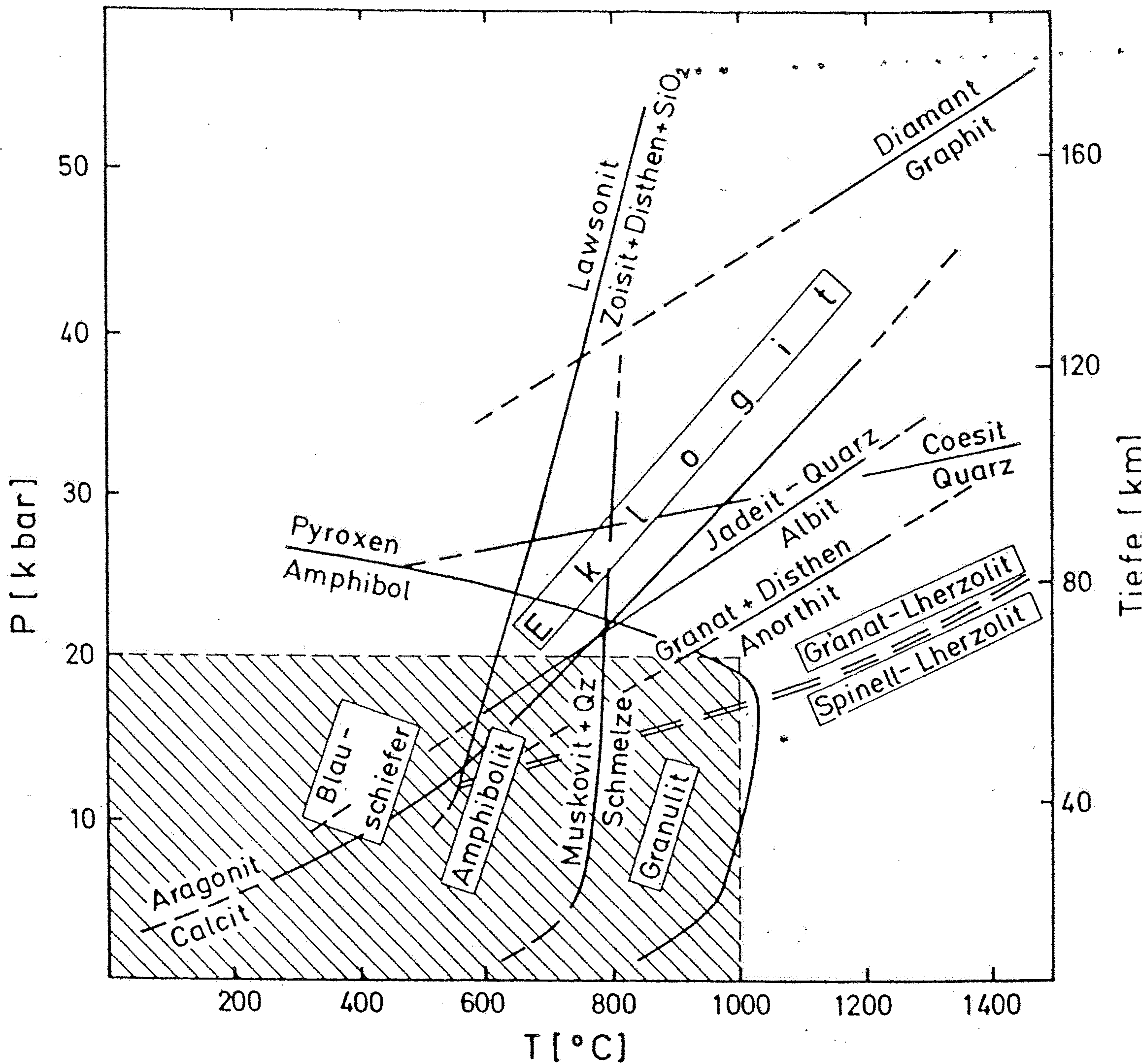


Abb. 13.13

PT-Bedingungen wichtiger Mineralreaktionen in der tiefen Kruste und im Mantel; schraffierte Fläche entspricht dem Bereich von Abb. 13.11. Die Phasengrenzen (Kasten 13.1) sind als Linien mit exakter Position dargestellt. Allerdings sind bei vielen der gezeigten Mineralreaktionen Mischkristalle beteiligt (z.B. Amphibol, Granat), was in natürlichen Systemen eine Verbreiterung der Phasengrenzen zu breiten Zonen bewirkt. In dieser Abbildung sind einige Mineralreaktionen aufge-

führt, die in der Hochdruckpetrologie von Bedeutung sind. In relativ geringer Tiefe verläuft die Grenze zwischen Spinell- und Granat-führender Lherzolith (vgl. Tab. 12.2 und Abb. 9.11, 12.9). Quarz wird oberhalb von 30 kbar zu dem dichtenen Coesit umgebaut. Dieses Hochdruckmineral kann auch bei Meteoriteinschlägen entstehen (Impaktmetamorphose); Gesteine (in Rechtecken) und Minerale vgl. Tab. 13.1, Tab. 13.3 und Tab. 1.1. (Entwurf G. FRANZ nach versch. Quellen).

7.3 Generalized pressure-temperature fields for metamorphic facies. Boundaries are not sharp and distinct lines but extend over considerable width. [Modified from various sources.]

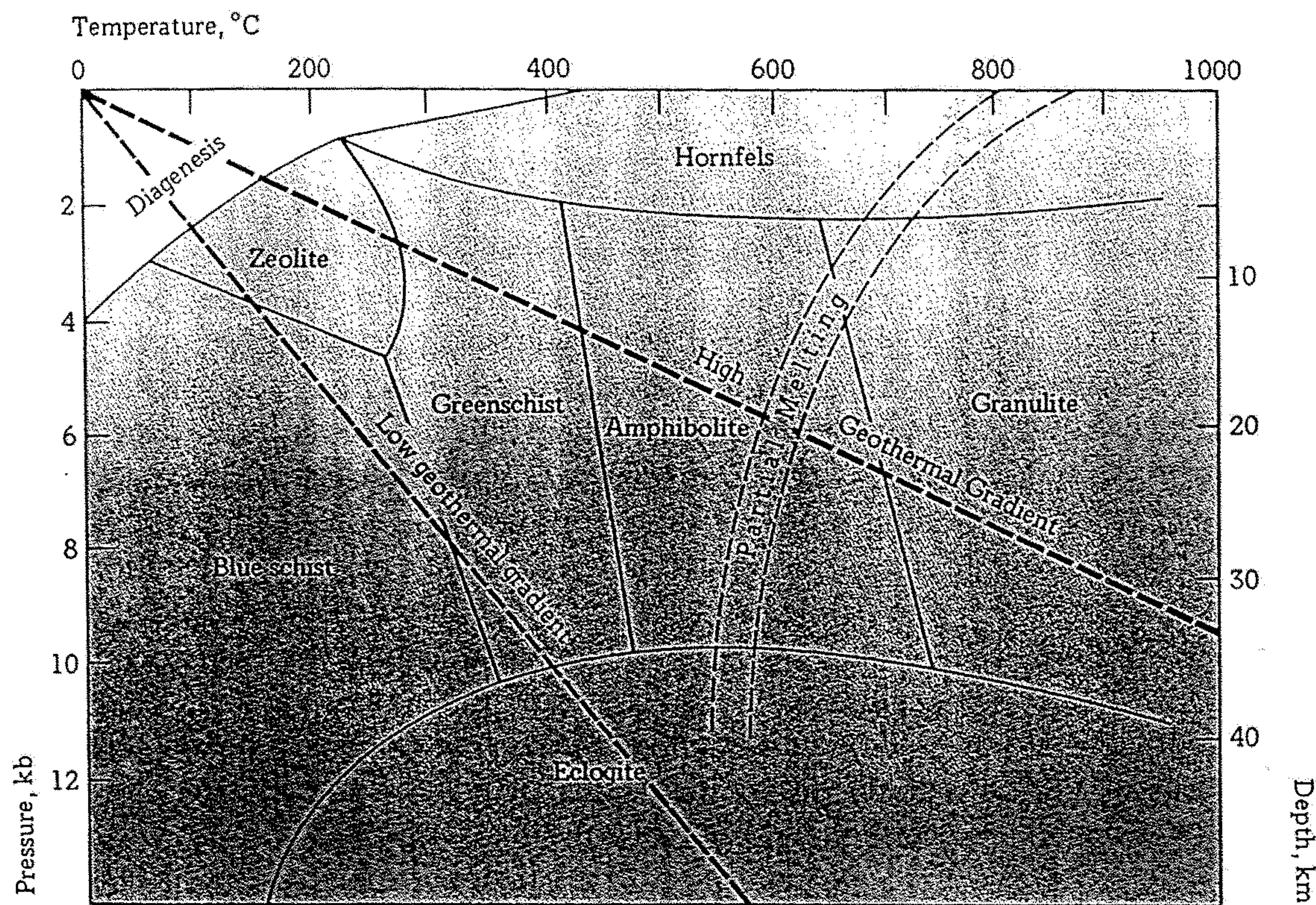


Figure 17-16

Generalized and simplified metamorphic facies diagram, showing the distribution of metamorphic rock types in relation to the temperature and pressure fields in which they are formed. There are no sharp boundaries between any of these facies.

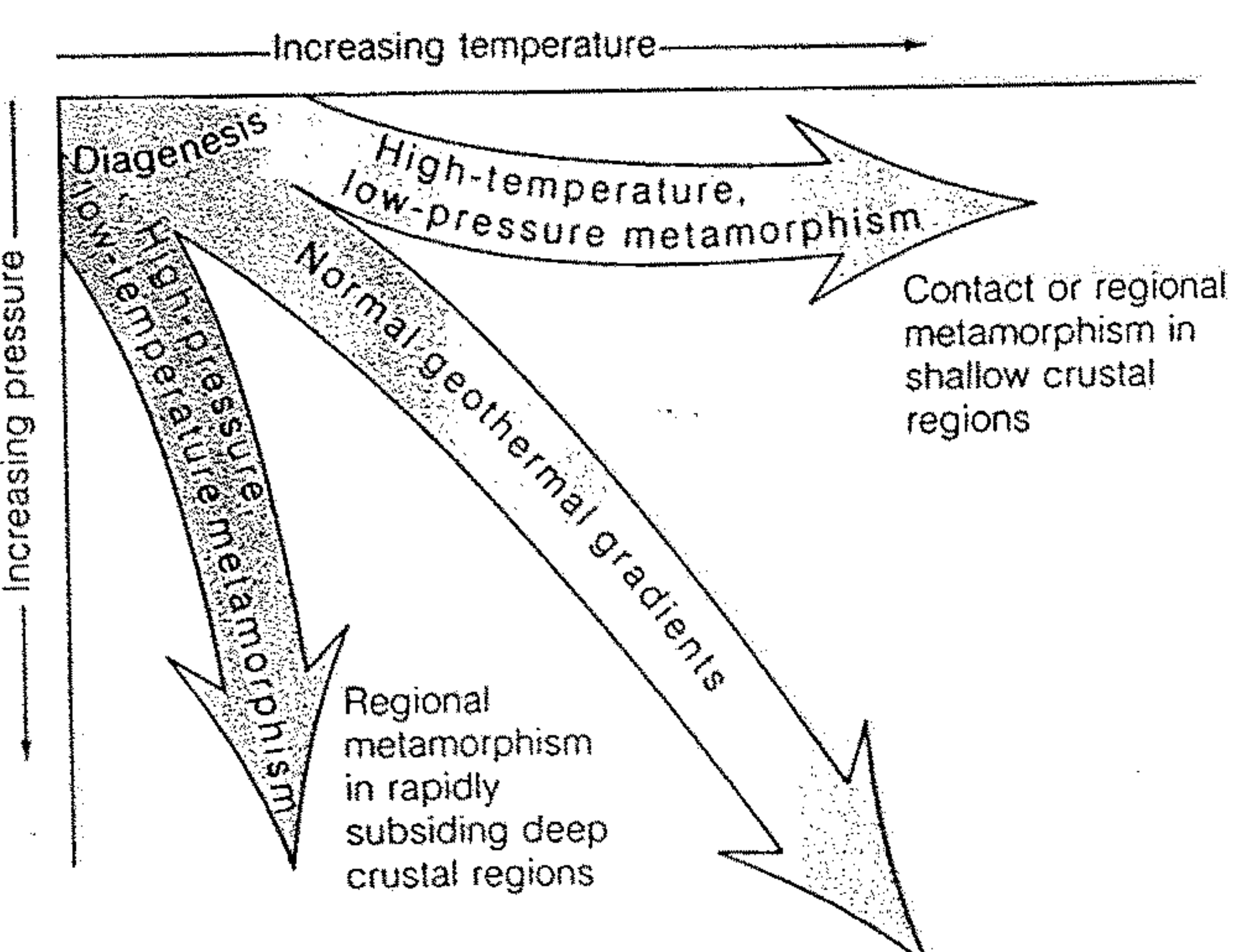


Figure 17-14

Different metamorphic routes of pressure and temperature increase may be induced by combinations of tectonic and igneous activity. The different routes produce different groups of metamorphic rock types.

Figure 17-12

(a) Changes in mineral composition of shales metamorphosed under conditions of intermediate pressure and temperature. (b) Idealized map view of a regionally metamorphosed terrain in which shales have been metamorphosed under the same conditions. The isograd lines mark the first appearance of the index mineral and correspond to the diagram in (a).

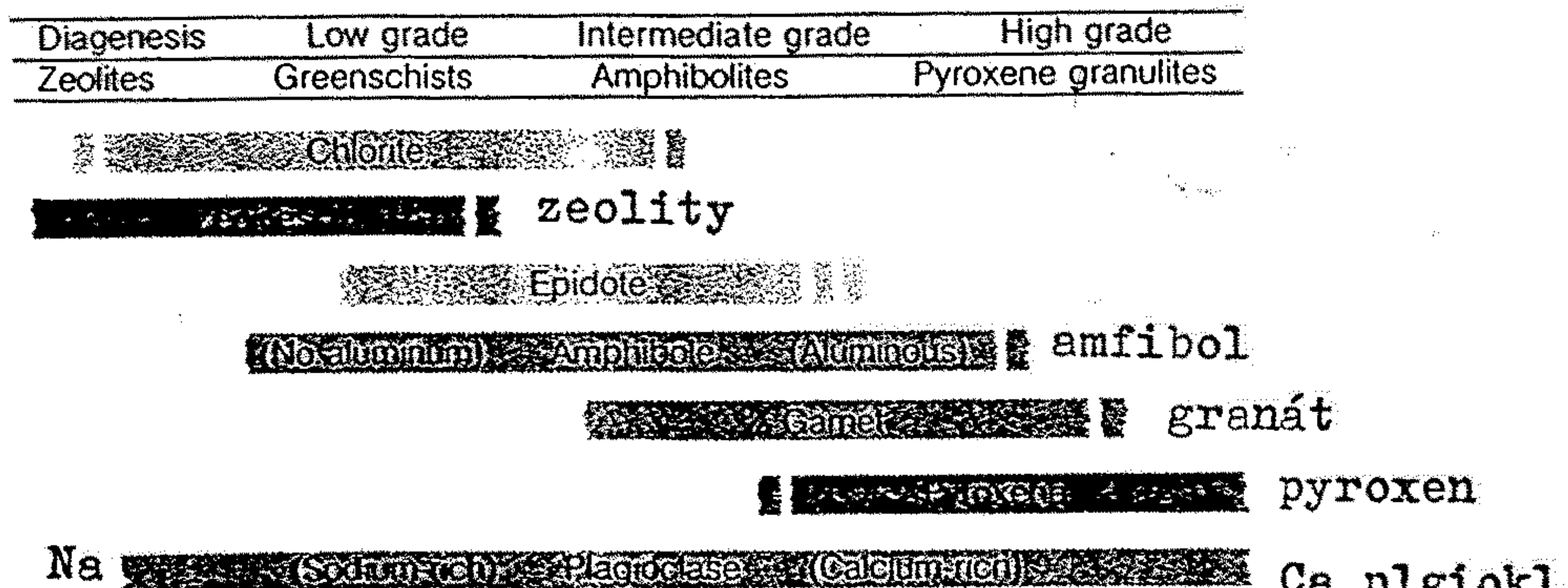
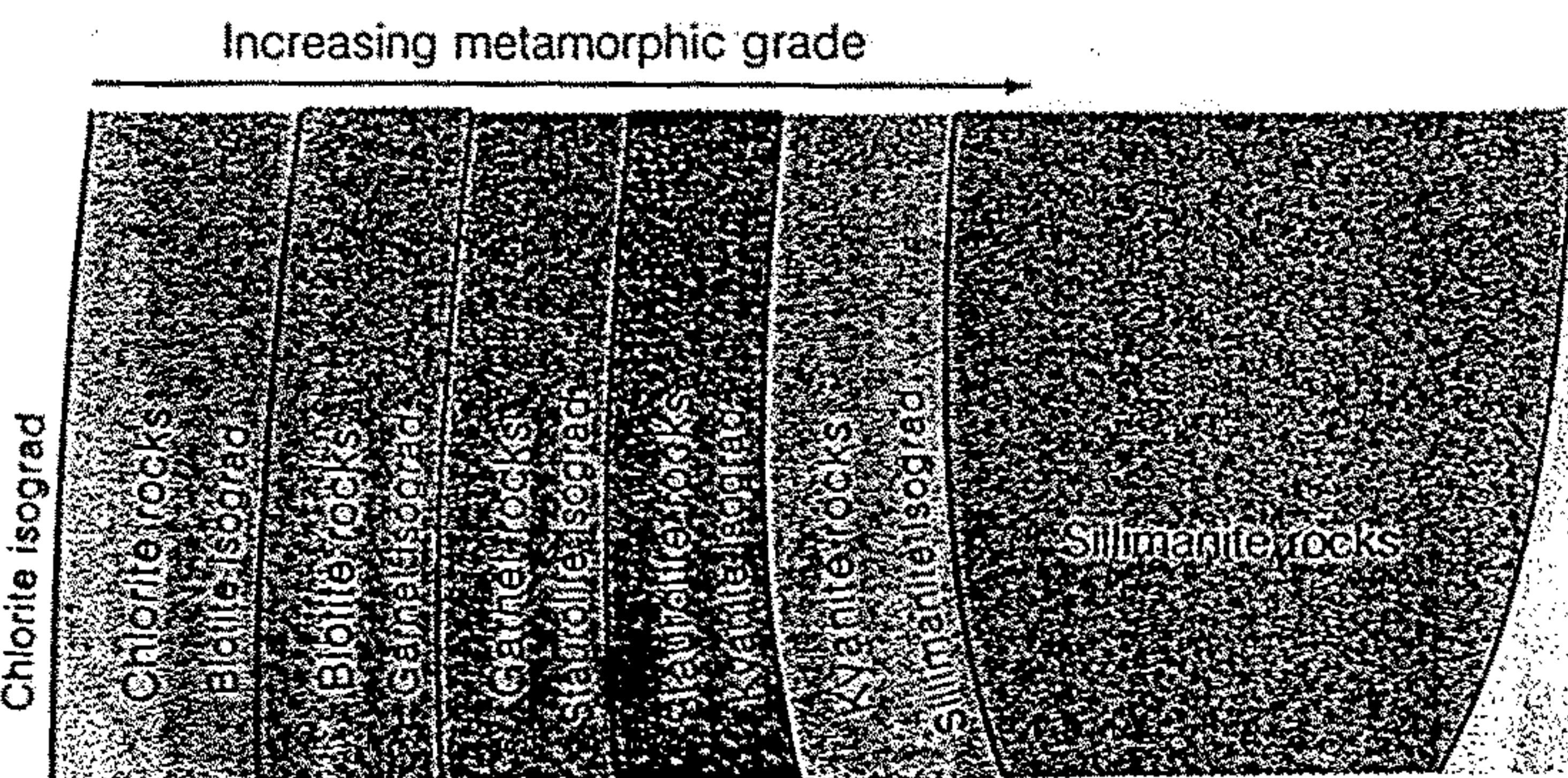
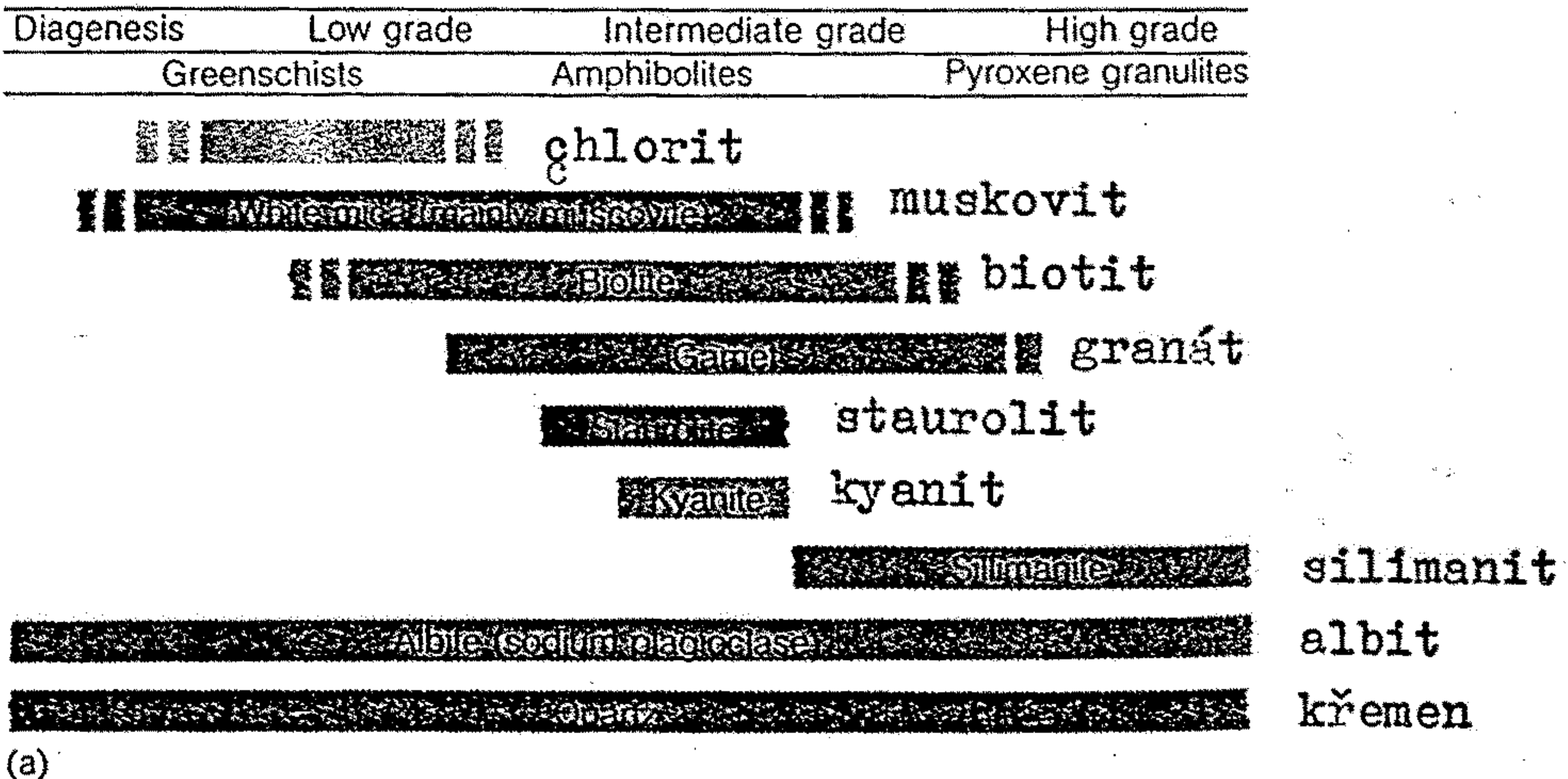


Figure 17-15

Changes in mineral composition of basalts and the other mafic rocks metamorphosed under conditions of intermediate pressure and temperature. Compare these with the mineral assemblages of shales metamorphosed under the same conditions (see Figure 17-12) to see the effect of original composition on mineralogy.

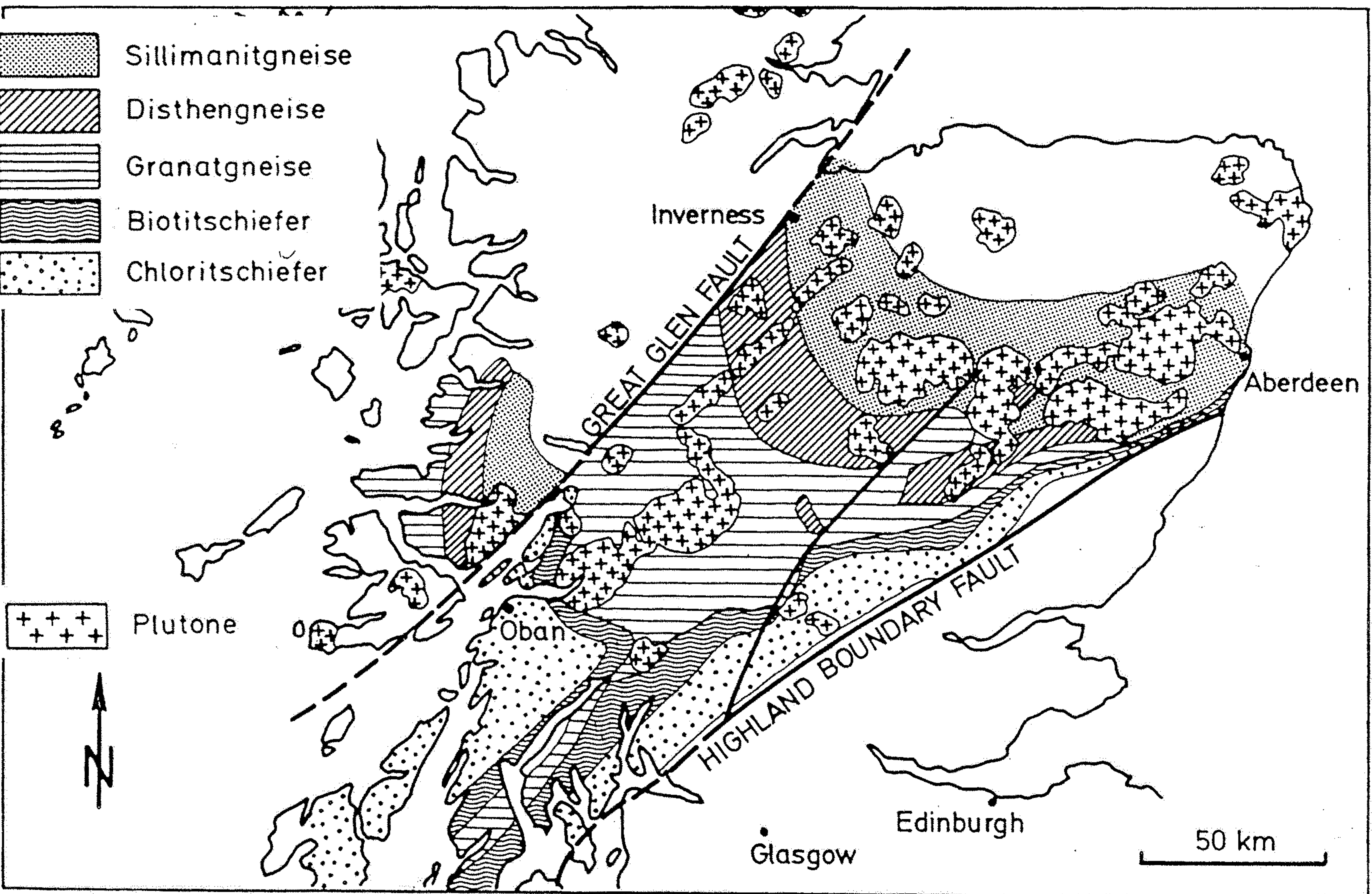
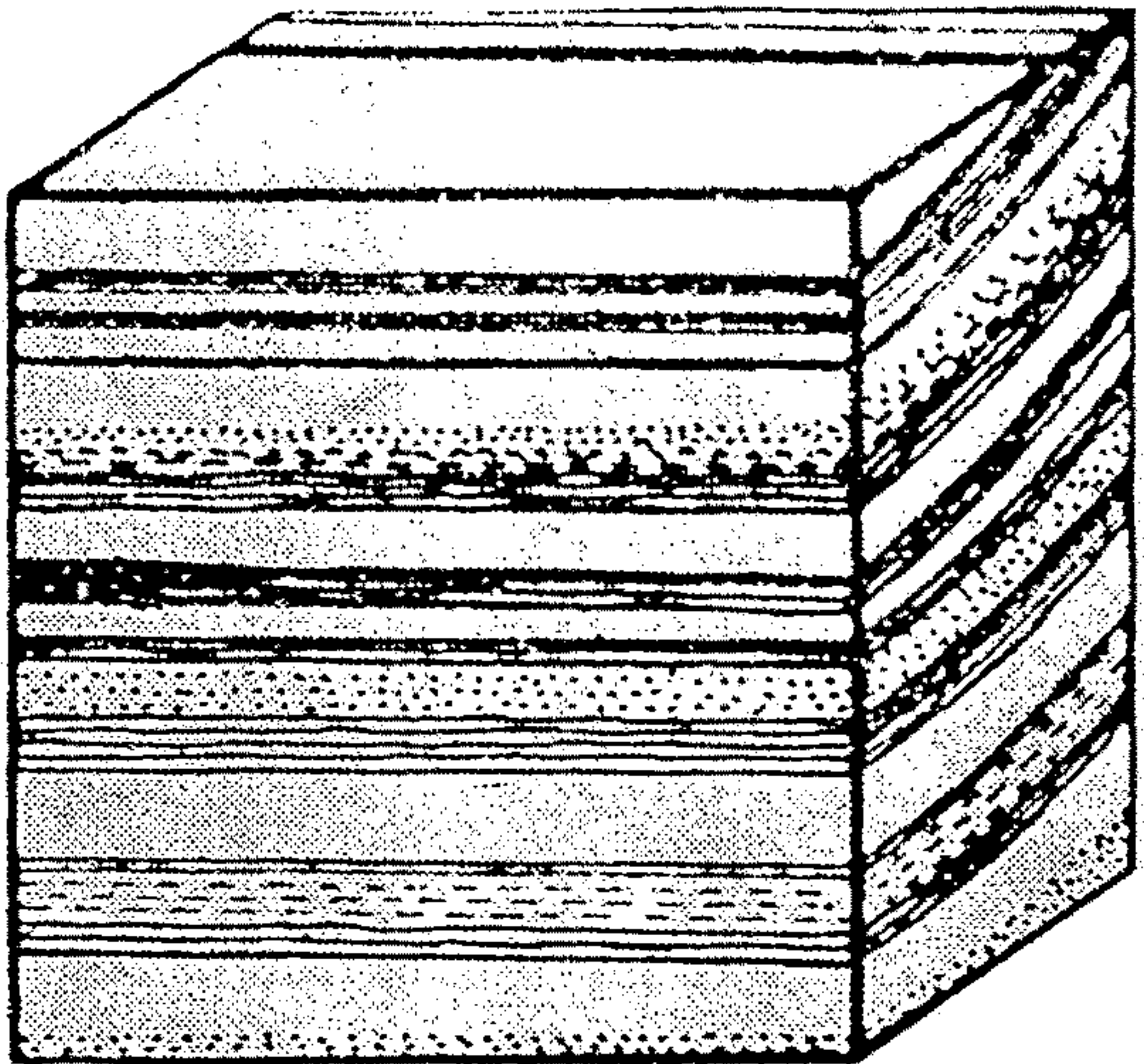
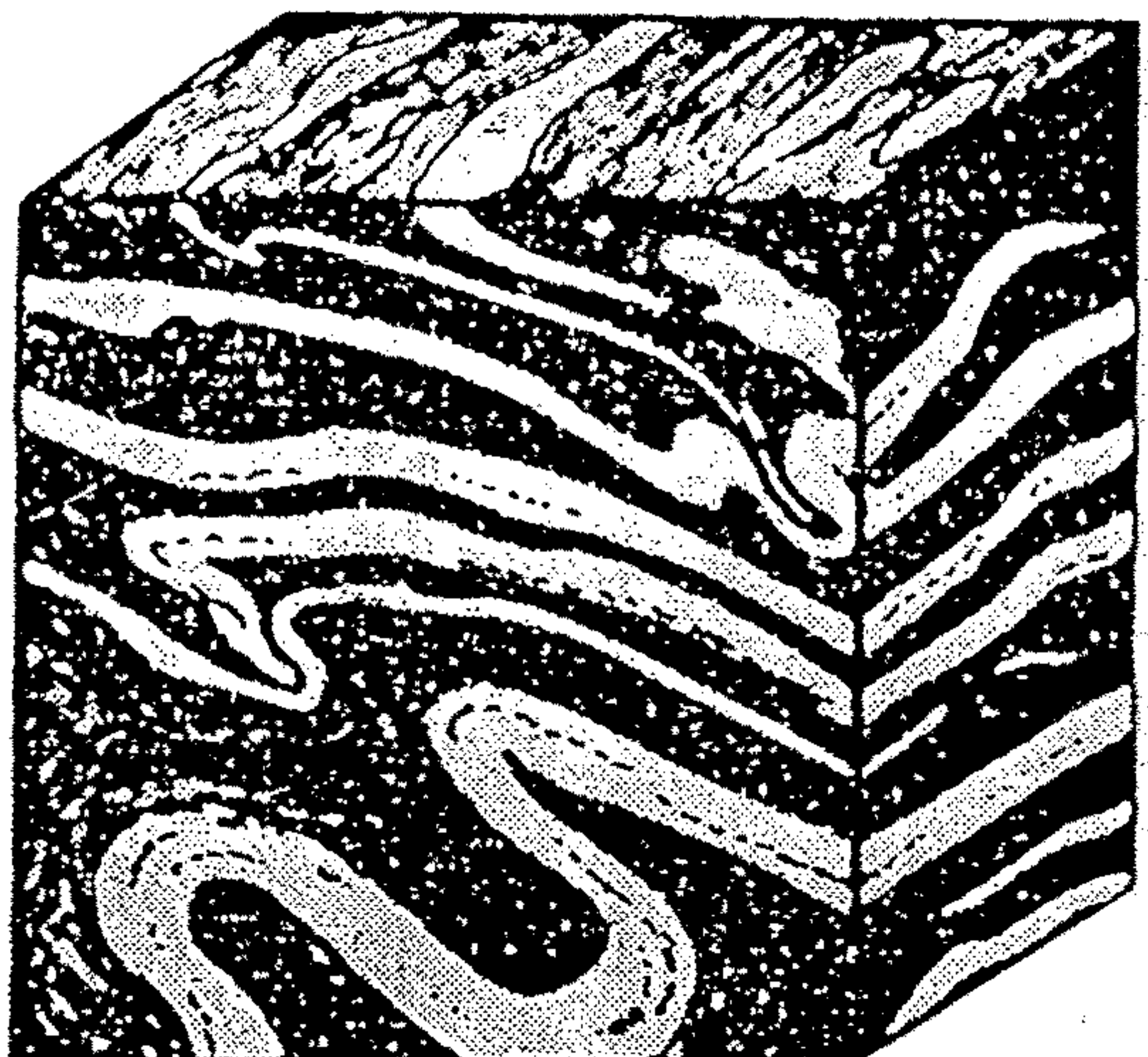


Abb. 13.15

Fazieszonen der Regionalmetamorphose in Schottland, einem klassischen Gebiet der Metamorphose-Forschung. Prograde Metamorphose und magmatische Intrusionen sind im Zuge der kaledonischen Orogenese vor ca. 450 Ma entstanden. Spätkaledonischer sinistraler Versatz entlang der Great-Glen-Störung hat die metamorphe Abfolge rund 100 km versetzt. Die im Norden der Britischen Inseln und in Westskandinavien aufgeschlossenen kaledonischen Strukturen sind das Ergebnis der Plattenkollision von Laurentia (Teile des heutigen Nordamerikas) mit Baltica (die präkambrische Kruste Skandinaviens und Nordwesteuropas), bei der der Iapetus (Protoatlantik) geschlossen wurde (mehr dazu in Abschn. 14.1). Spätogenere Heraushebung und Erosion legte diesen mittleren Krustenabschnitt frei (aus ZEIL, 1990).

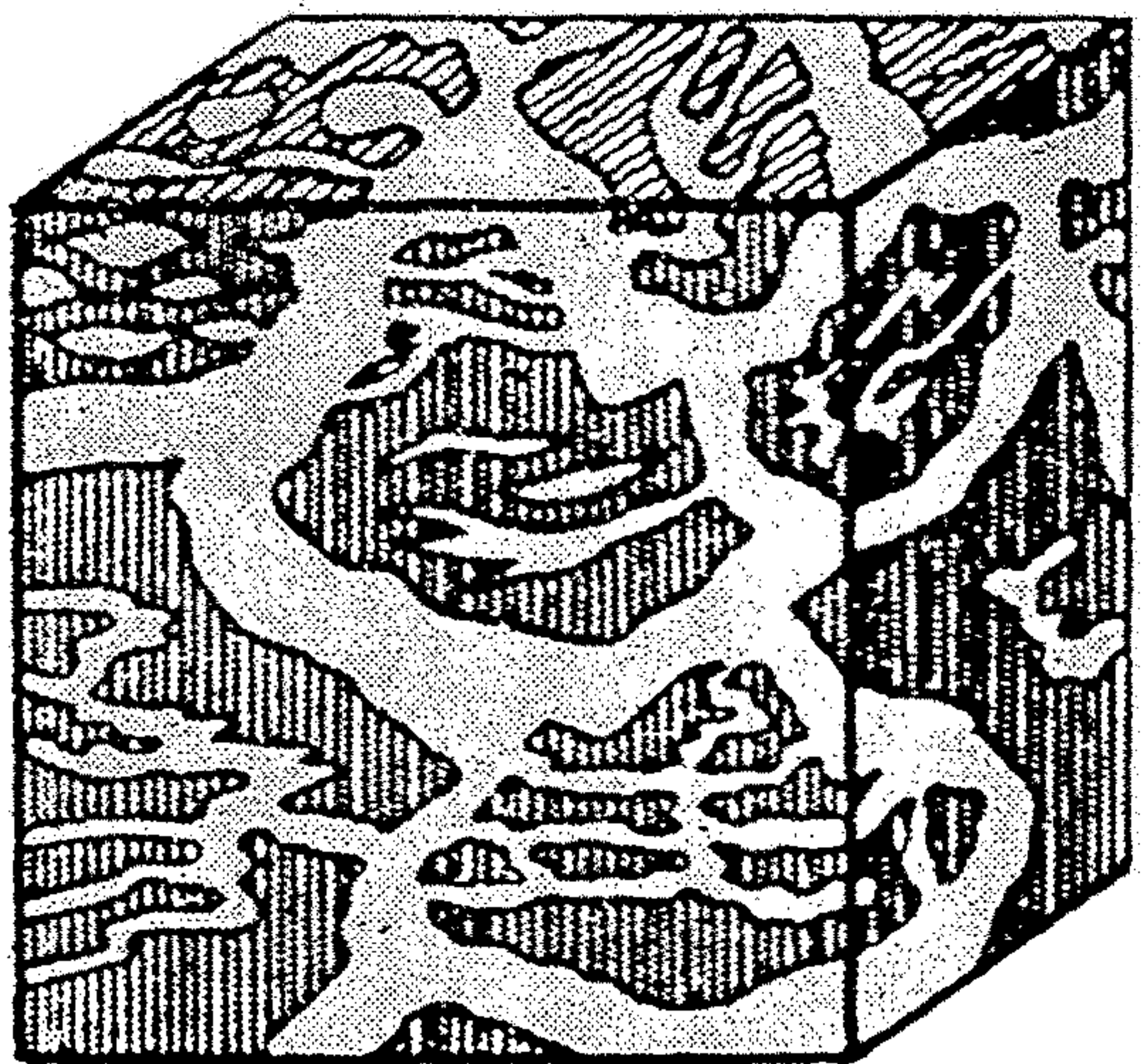


a

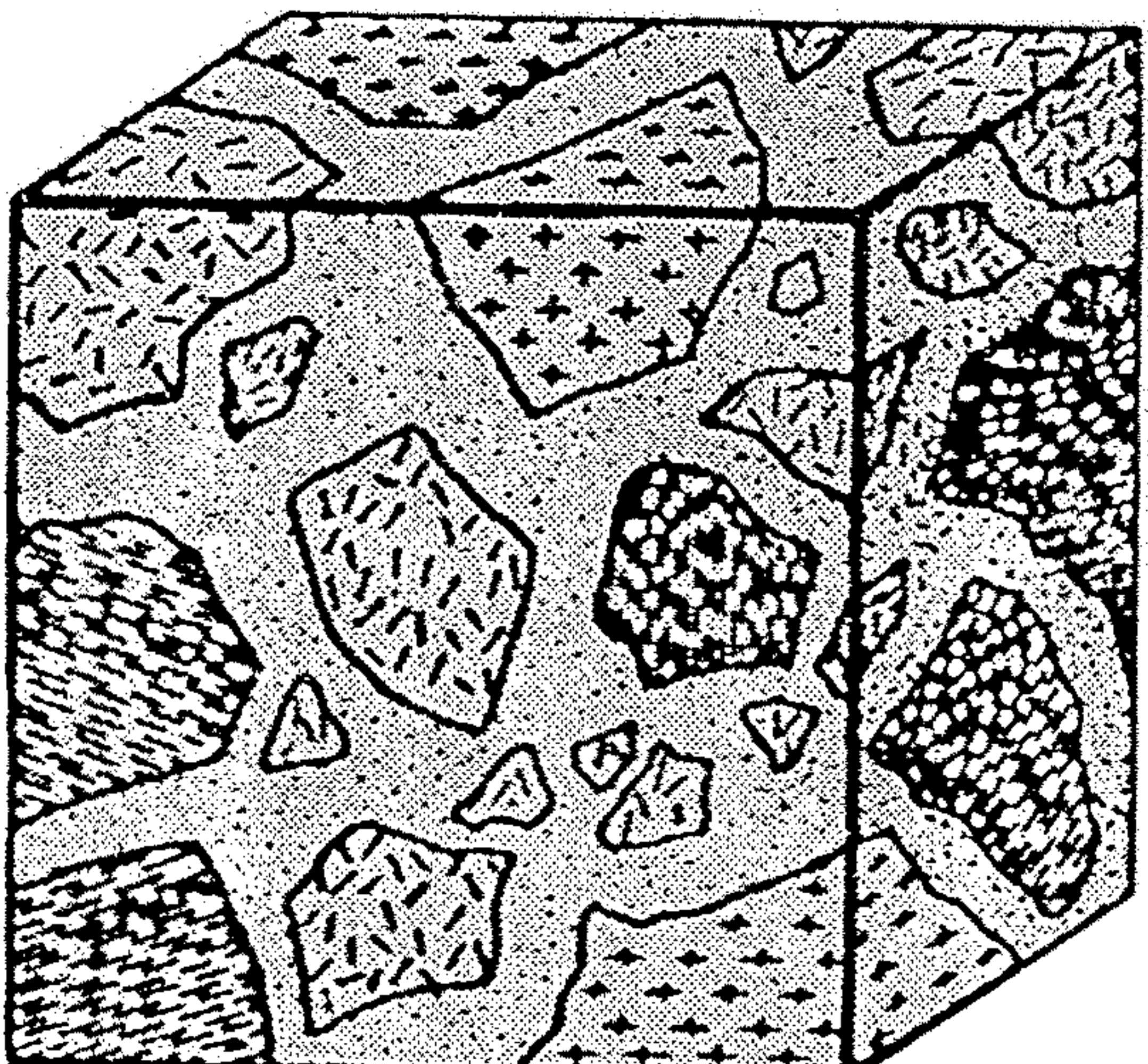


b

Obr. 23. Stromatity, podle P. Niggliho 1948, s. 110. – a) Ložní střídání stavebních jednotek při klidném uložení, b) při vrássové stavbě.

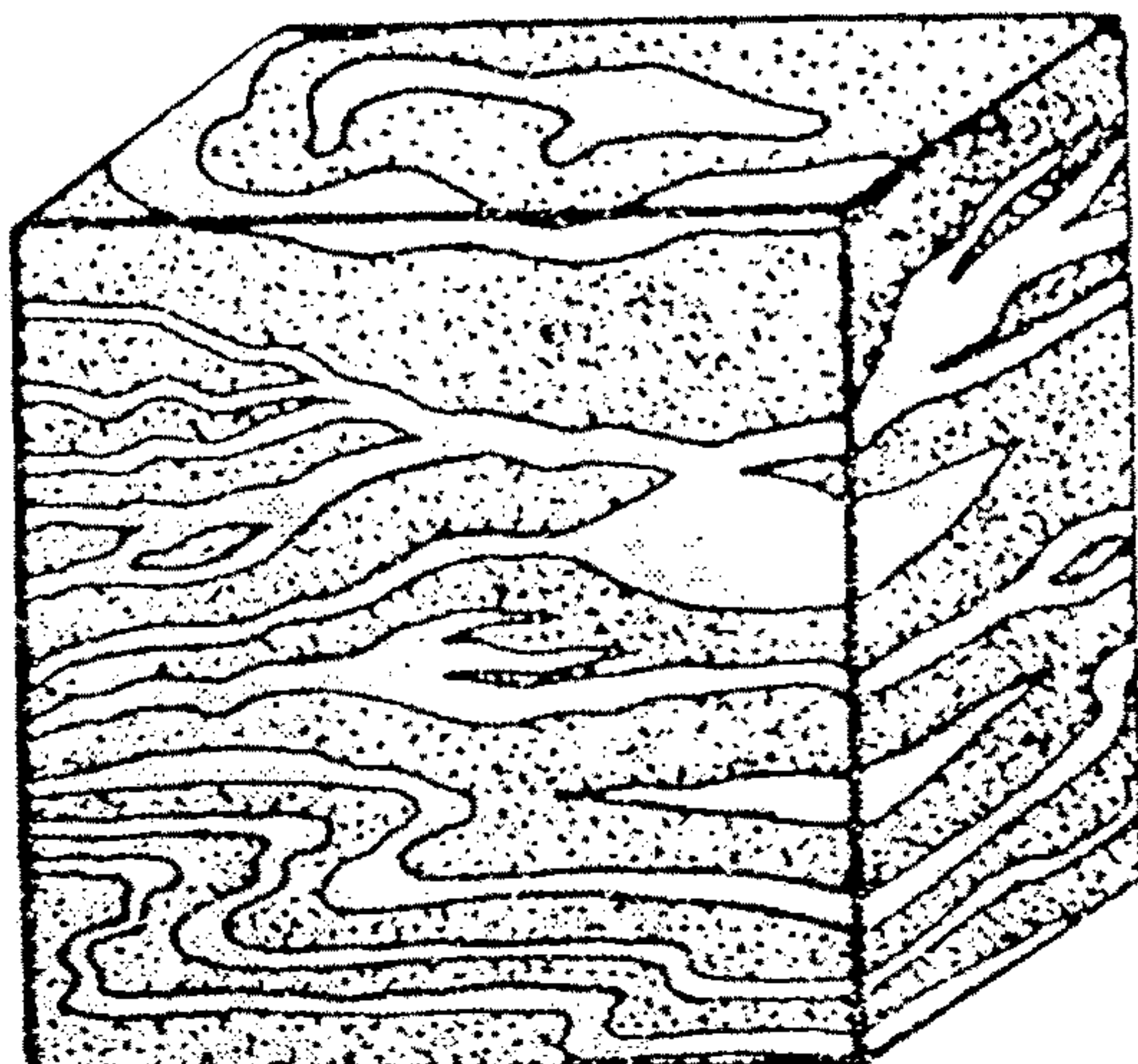


a

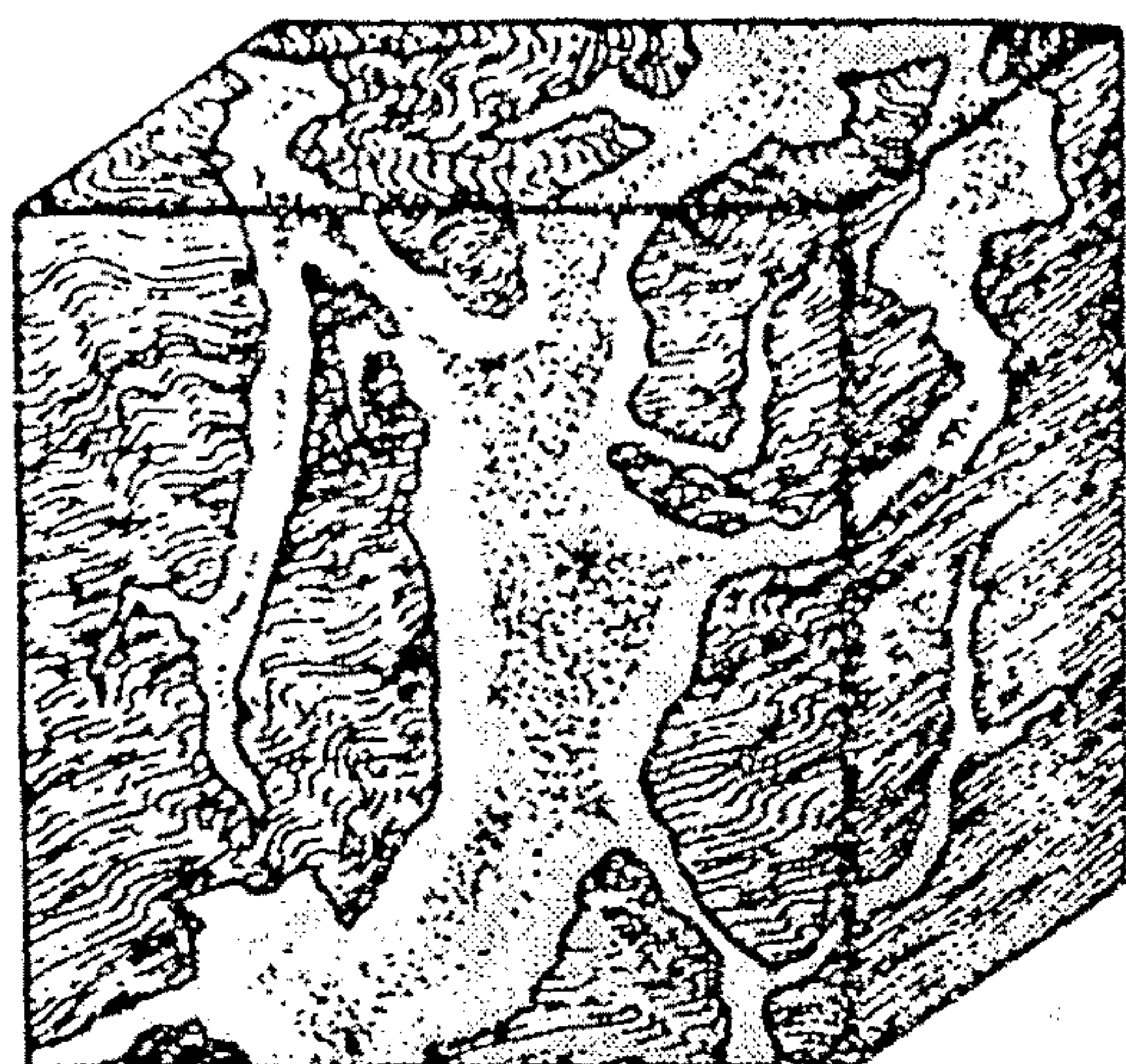


b

Obr. 24 Merismity, podle P. Niggliho 1948, s. 110. – a) Spojení úlomků téže horniny, b) spojení úlomků různých hornin.

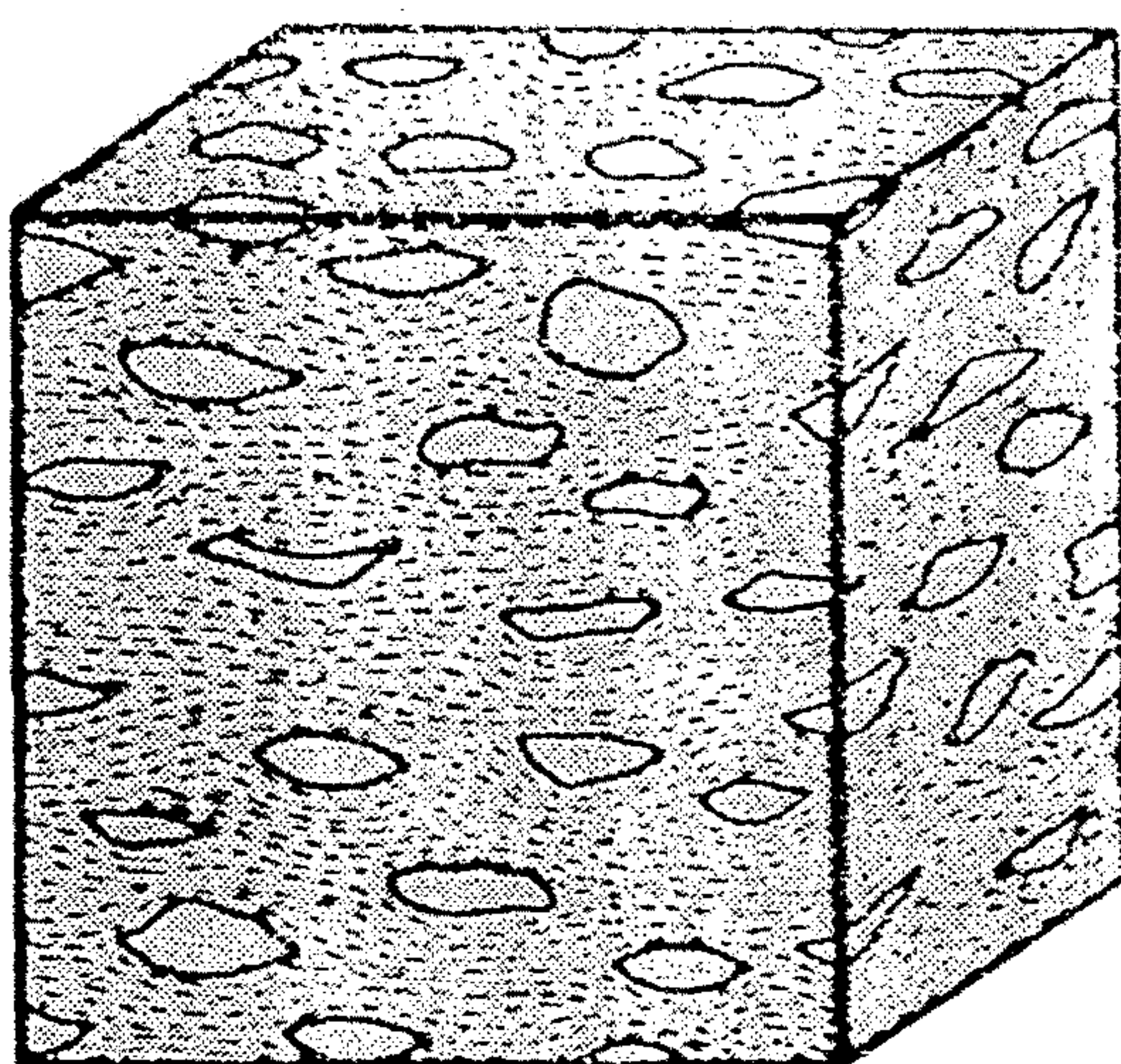


a

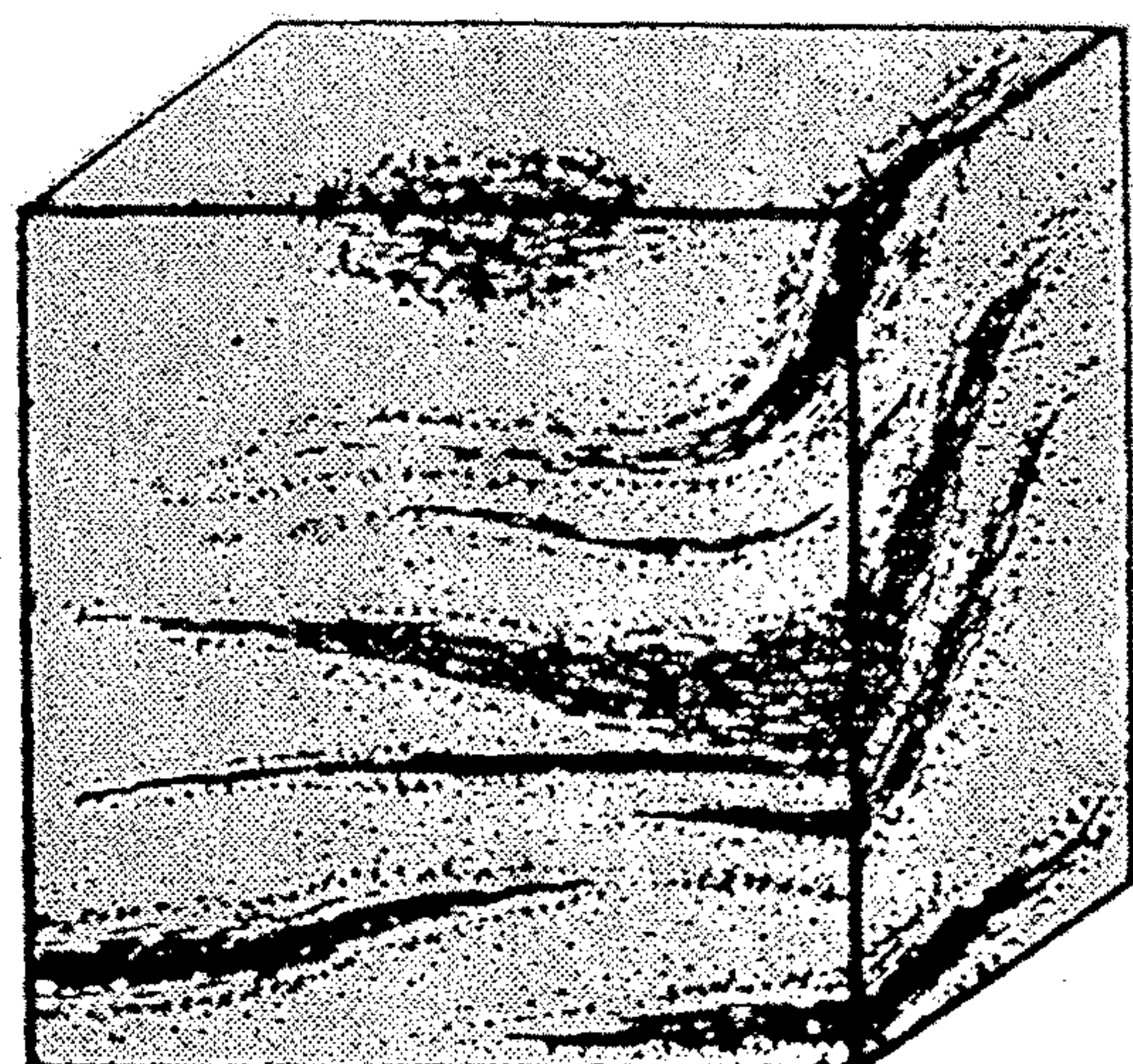


b

Obr. 21. Flebitы, podle P. Niggliho 1948, s. 109. – a) Světlá část se místy rozšiřuje do čoček a je vrásnitě zprohýbána, b) světlá část proniká tmavou základní masou v podobě sítě žilek.

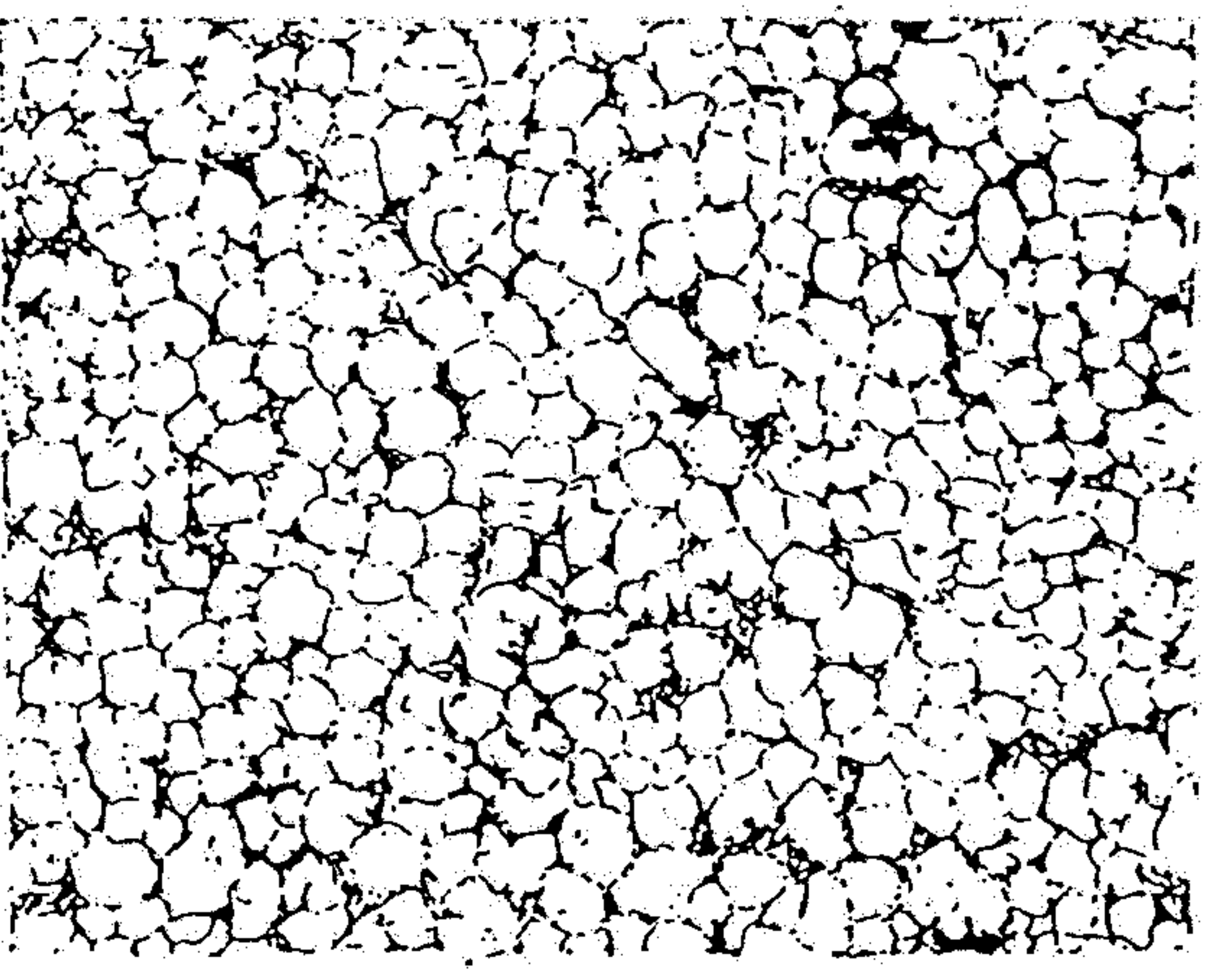
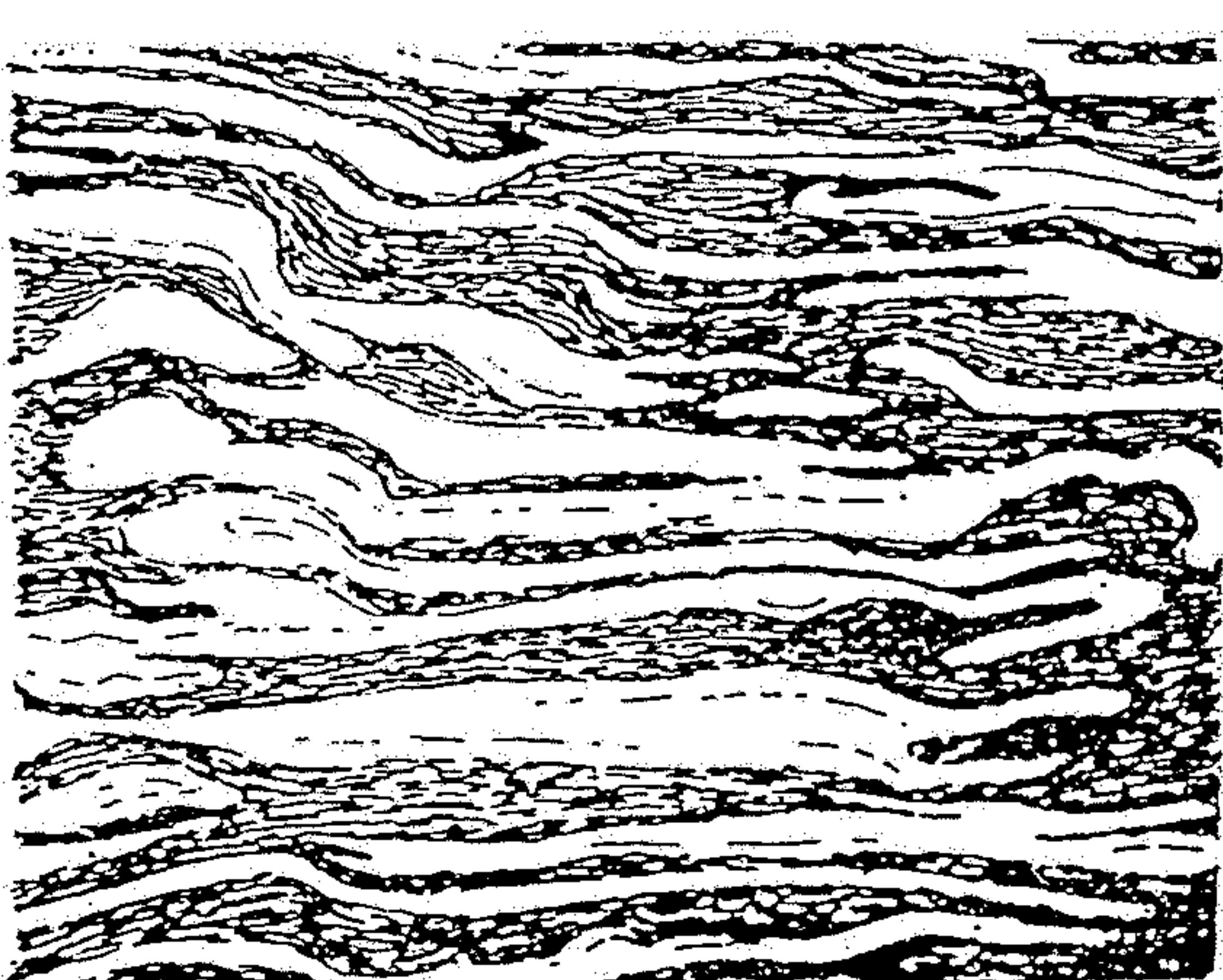
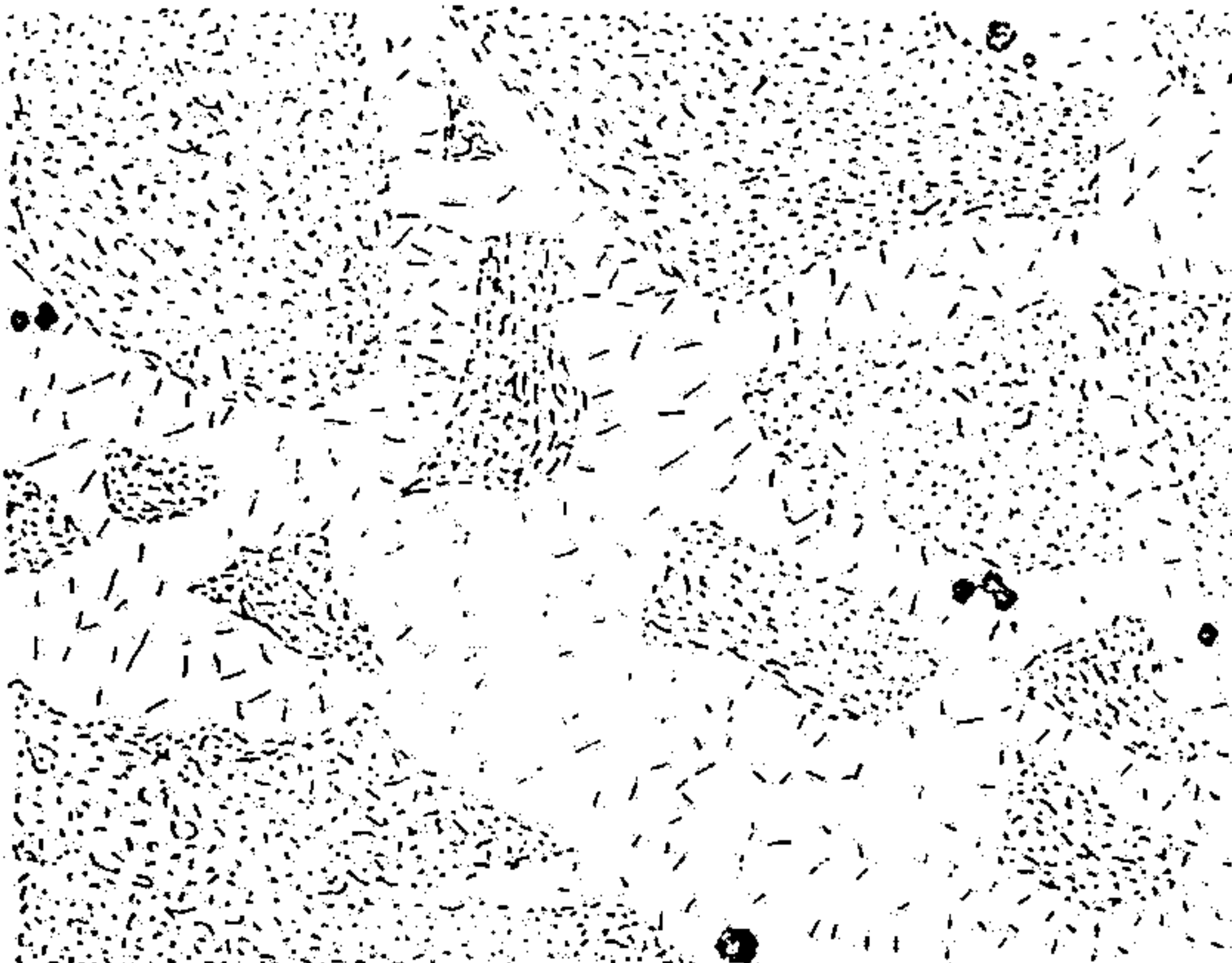


a



Obr. 22. Oftalmity, podle P. Niggliho 1948, s. 109. – a) V základní mase jsou útvary v podobě čoček (ok), b) v základní mase jsou útvary v podobě valounů.

Obr. 25. Nebulitický stromatit (nebulit). Podle P. Niggliho 1948, s. 110.



OBR. 91. Příklady migmatitových textur (obrázky kresleny podle vzorků migmatitů vesměs z moldanubika). A — migmatit s brekciiovým substrátem (obsahuje dosti hojně velké porfyroblasty granátu), B — migmatitizovaná pararula s ptygmaticky zvrásněnou žilkou metatektu, C — stromatitický migmatit, D — stromatitický migmatit s převahou metatektu, E — oftalmitický migmatit — perlová rula s migmatoblasty živců uspořádanými do paralelních proužků podél foliace, F — migmatit žulového vzhledu (živcové migmatoblasty zcela převládají, mají však dosud zachován vzhled „oček“).

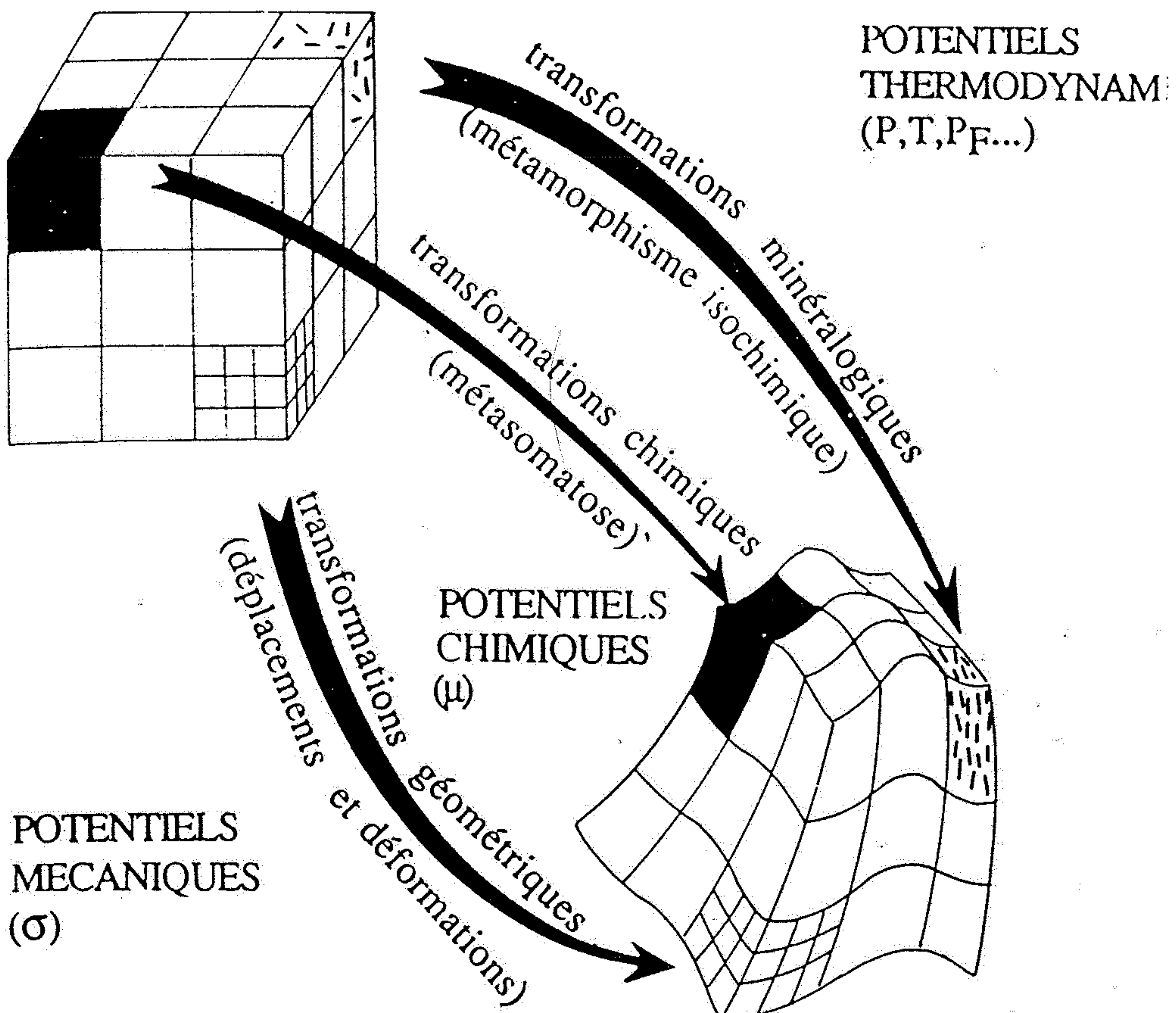
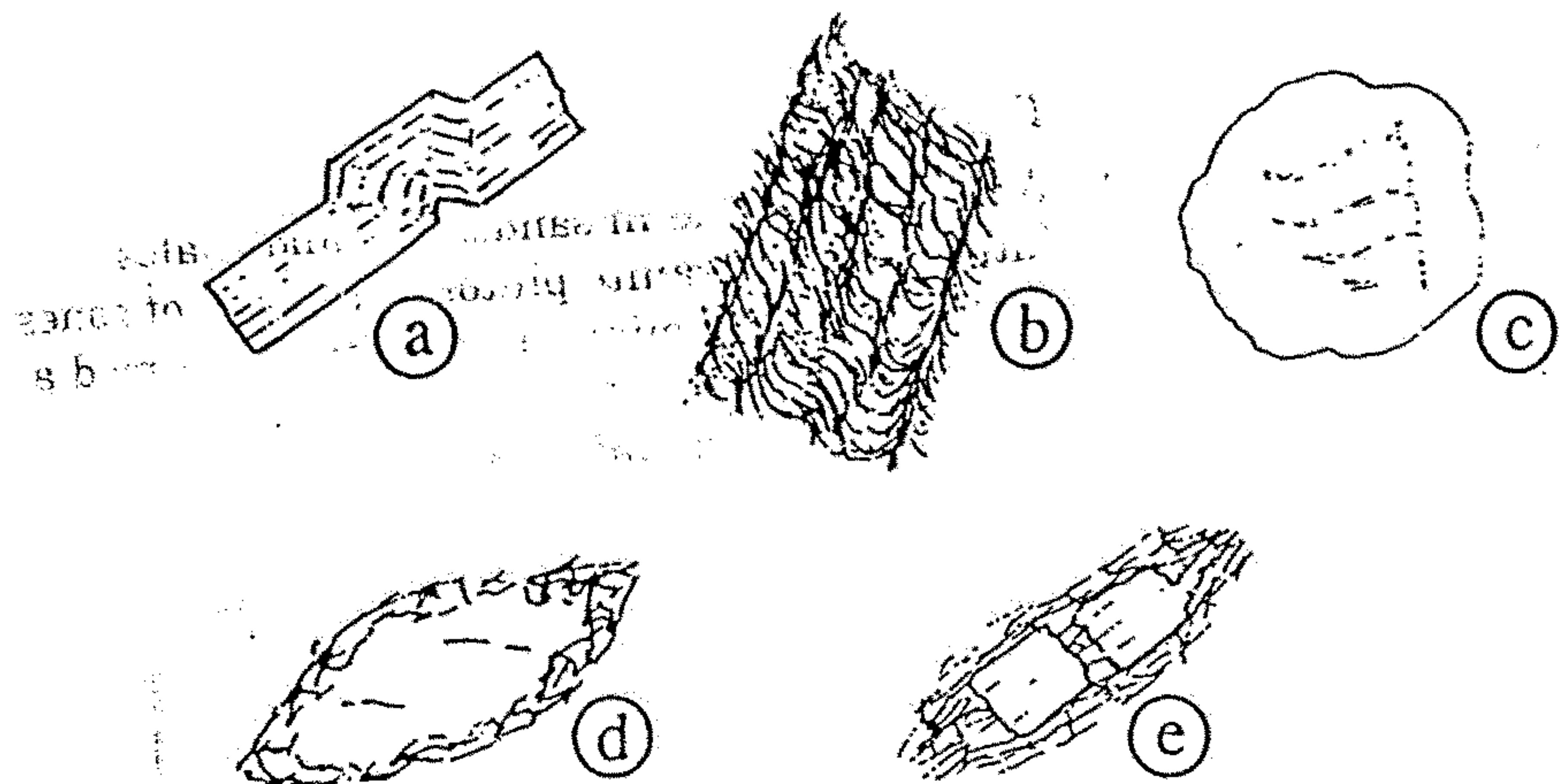


Fig. 122 Les différentes types de transformations des roches métamorphiques.

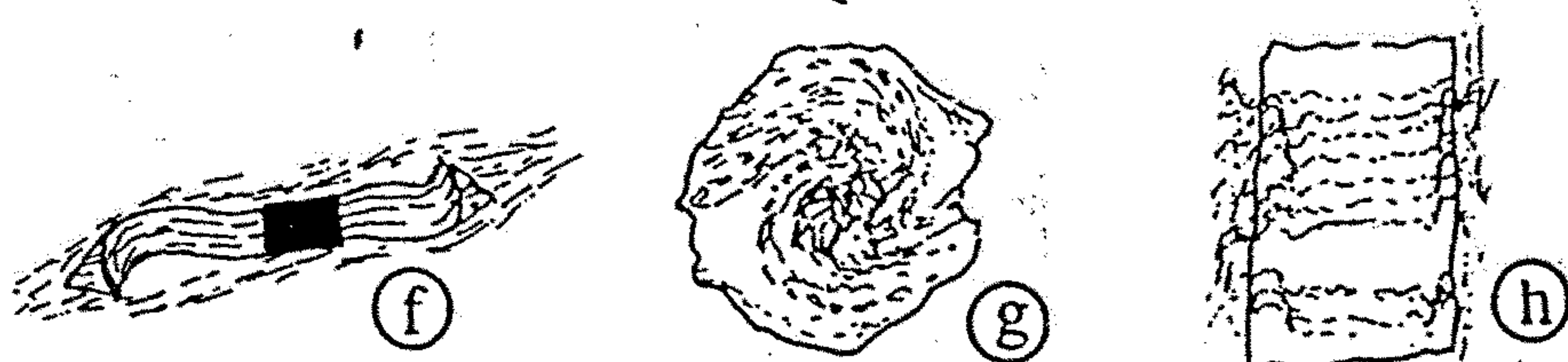


OBR. 77. Rotované granáty ve svoru. Podle
P. Eskoly (1939).

MINERAUX ANTE-TECTONIQUES



MINERAUX SYNTECTONIQUES



MINERAUX POST-TECTONIQUES

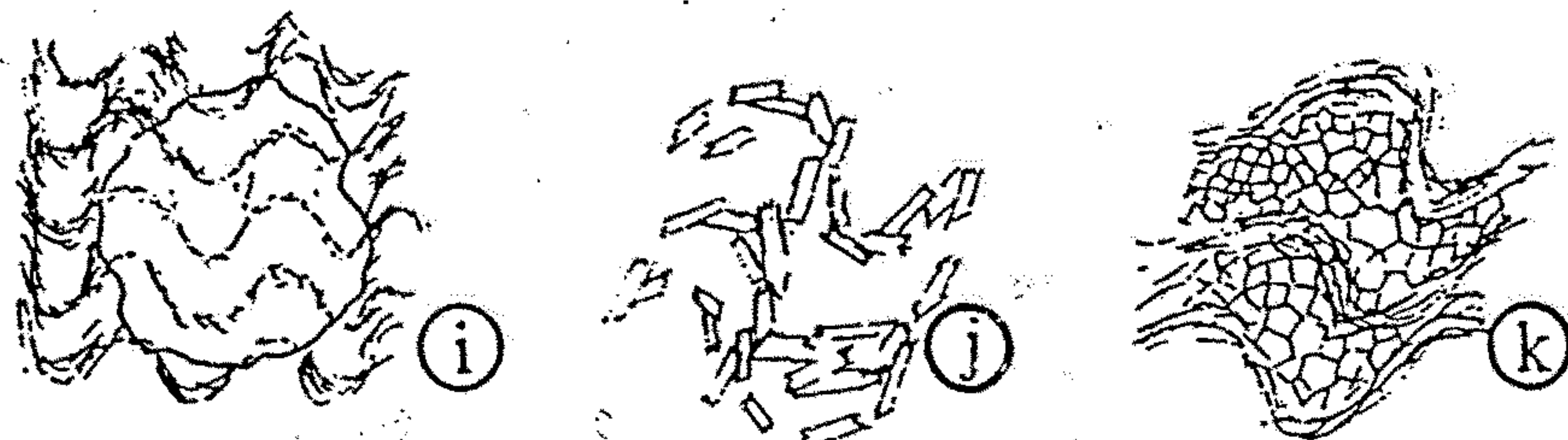
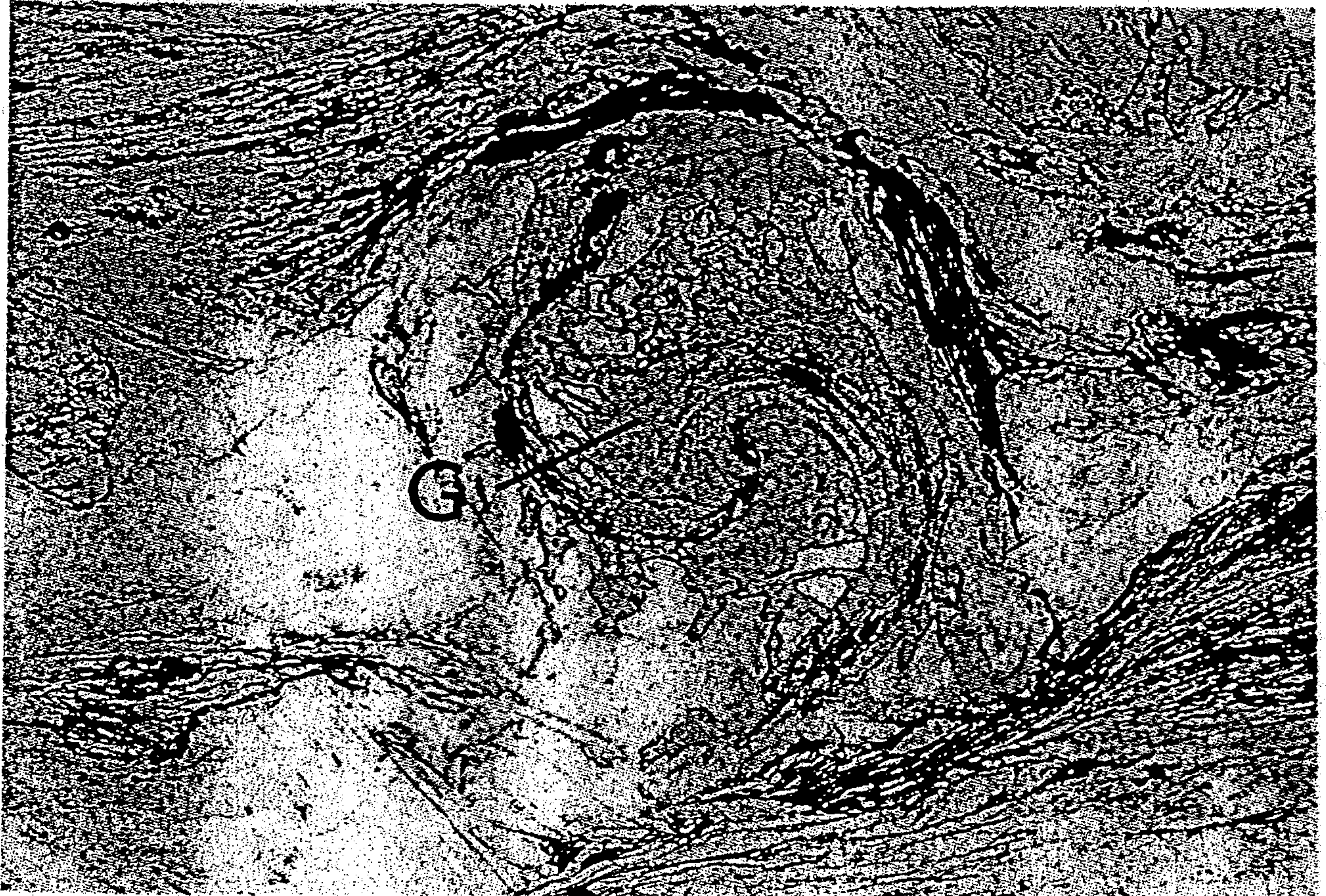
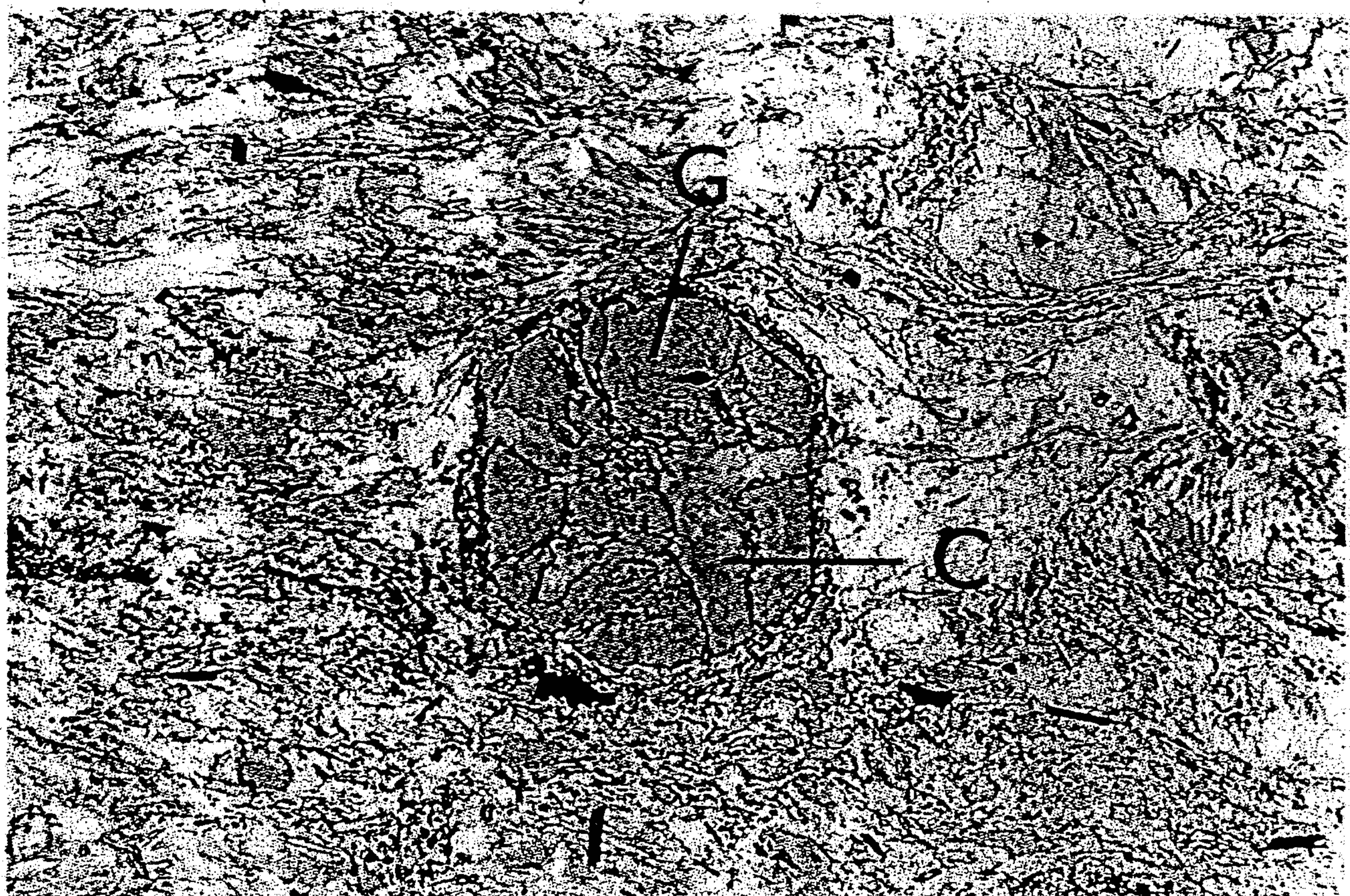


Fig. 128 Relations chronologiques entre minéraux et microstructures.

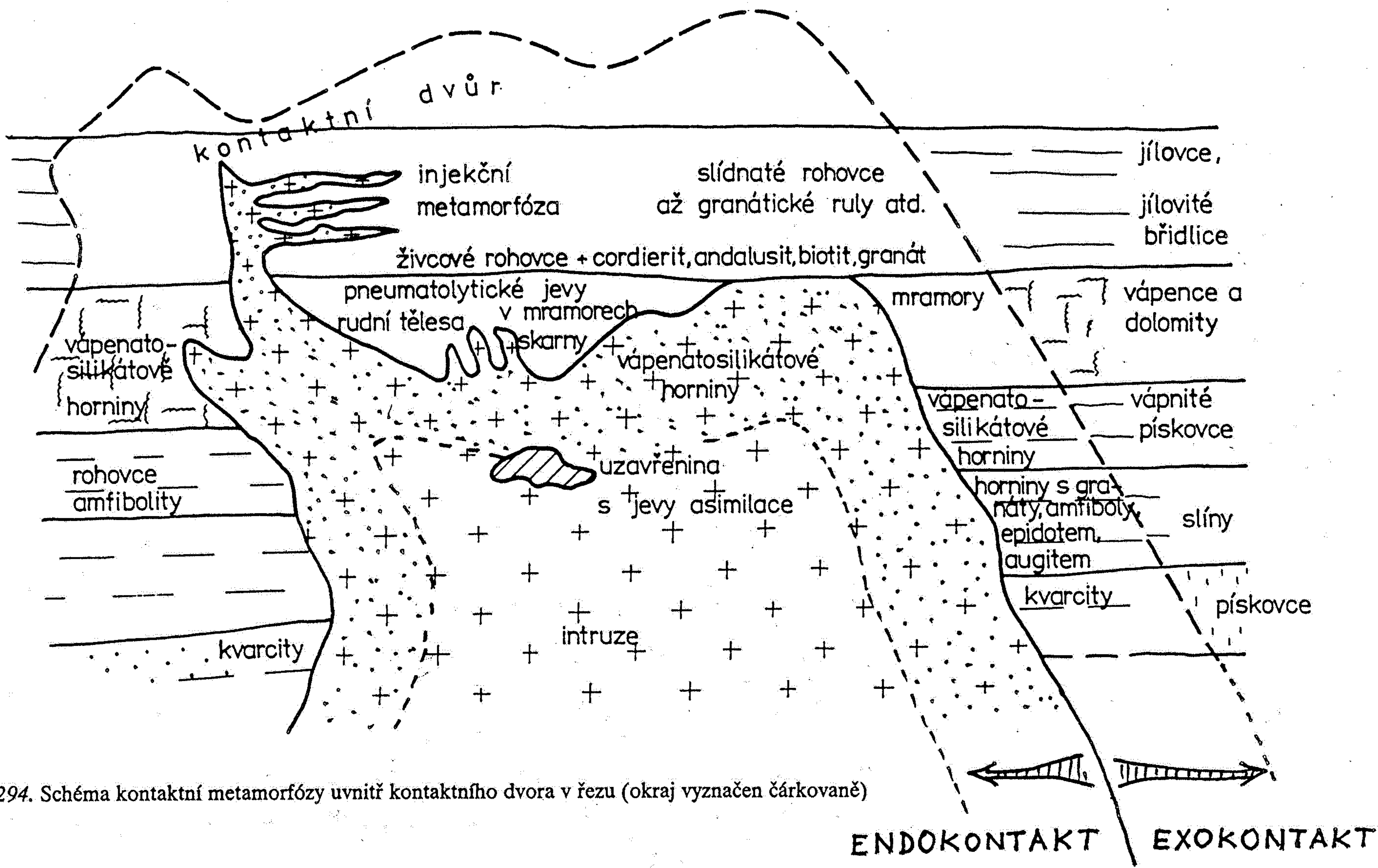
- A. Minéraux anté-tectoniques : a. disthène; b. micas crénulés par une schistosité; c. quartz à extinction roulante et lamelles de déformation; d. amphibole fragmentée à sa bordure; e. pyroxène boudiné.
- B. Minéraux syntectoniques : f. quartz en fibres dans des zones abritées par une pyrite; g. grenat hélicitique; h. lawsonite englobant des inclusions à déformation croissante vers la bordure.
- C. Minéraux post-tectoniques : i. blaste d'albite surimposé à une crénelation; j. recristallisation de mica en arc polygonal; k. recristallisation de quartz en mosaïque équante.



Granat-Granoblast, der in einem Gneis unter sinistraler Scherung wuchs und rotierte. Der Granat (G) ist in einem feinkristallinen Metamorphit gesproßt, dessen Foliation in Form der S-förmig deformierten Einschlußschlieren erhalten ist; Dünnschliff, Bildbreite ca. 2,6 mm (Photo G. FRANZ).



Retrograde Bildung von Chlorit (C) auf Kosten von Granat (G), Dünnschliff, Bildbreite ca. 1,4 mm (Photo: G. FRANZ).



Obr. 294. Schéma kontaktní metamorfózy uvnitř kontaktního dvora v řezu (okraj vyznačen čárkovaně)

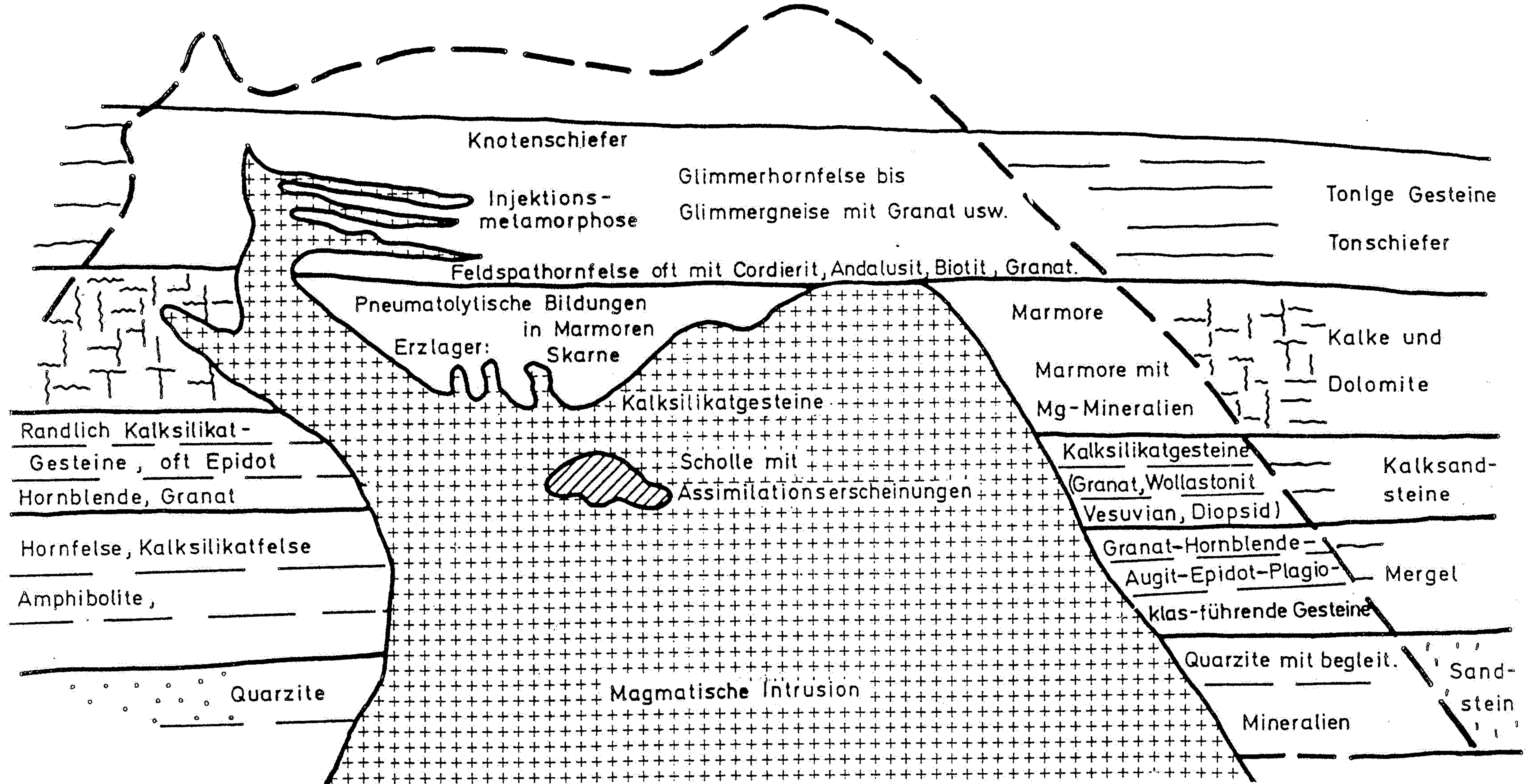
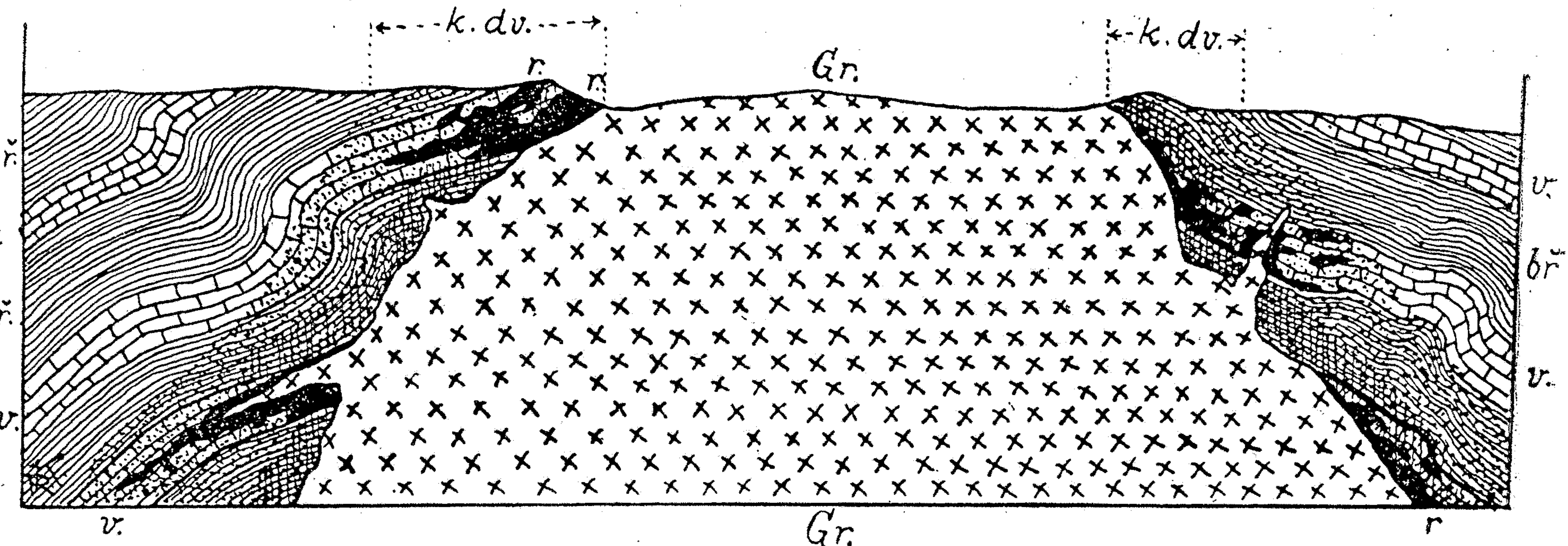


Abb. 13.4

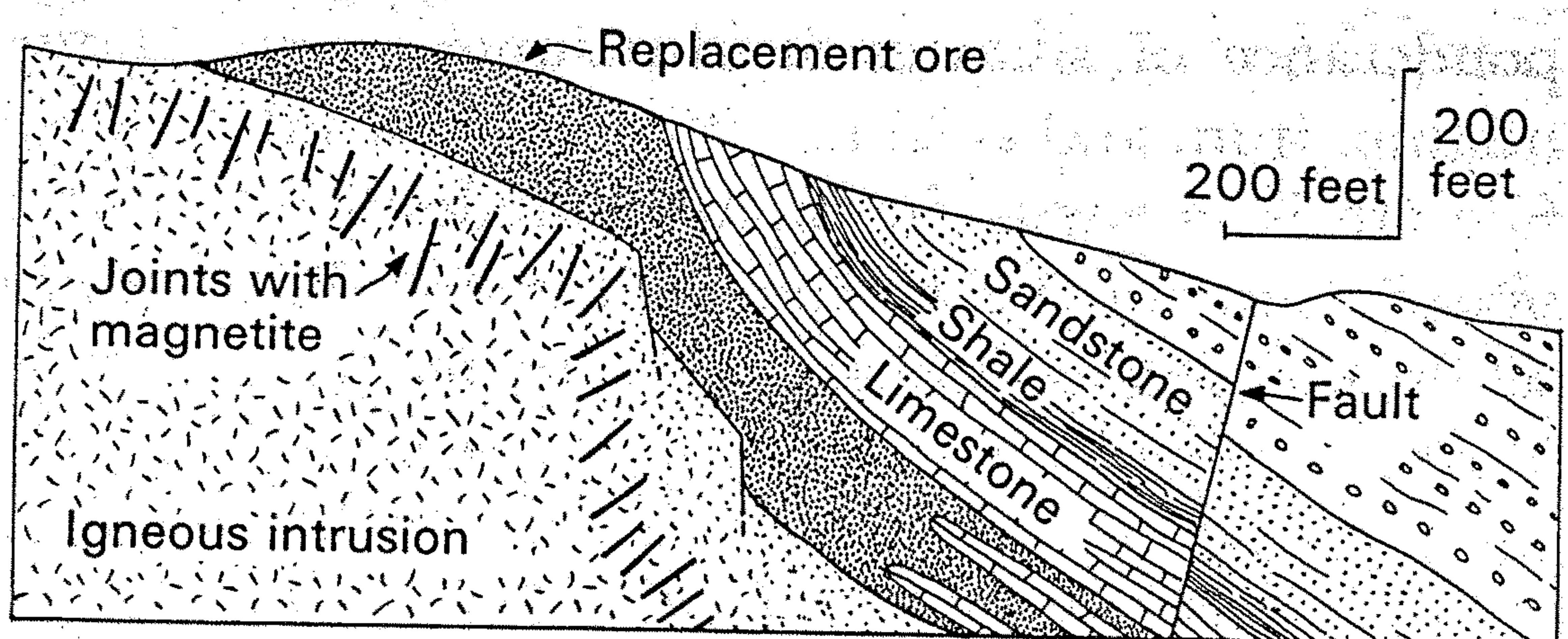
Schema der Kontaktmetamorphose und ihrer Produkte im Kontakthof (gestrichelt) einer Intrusion (vgl. auch Tab. 13.3) (aus ZEIL, 1990).

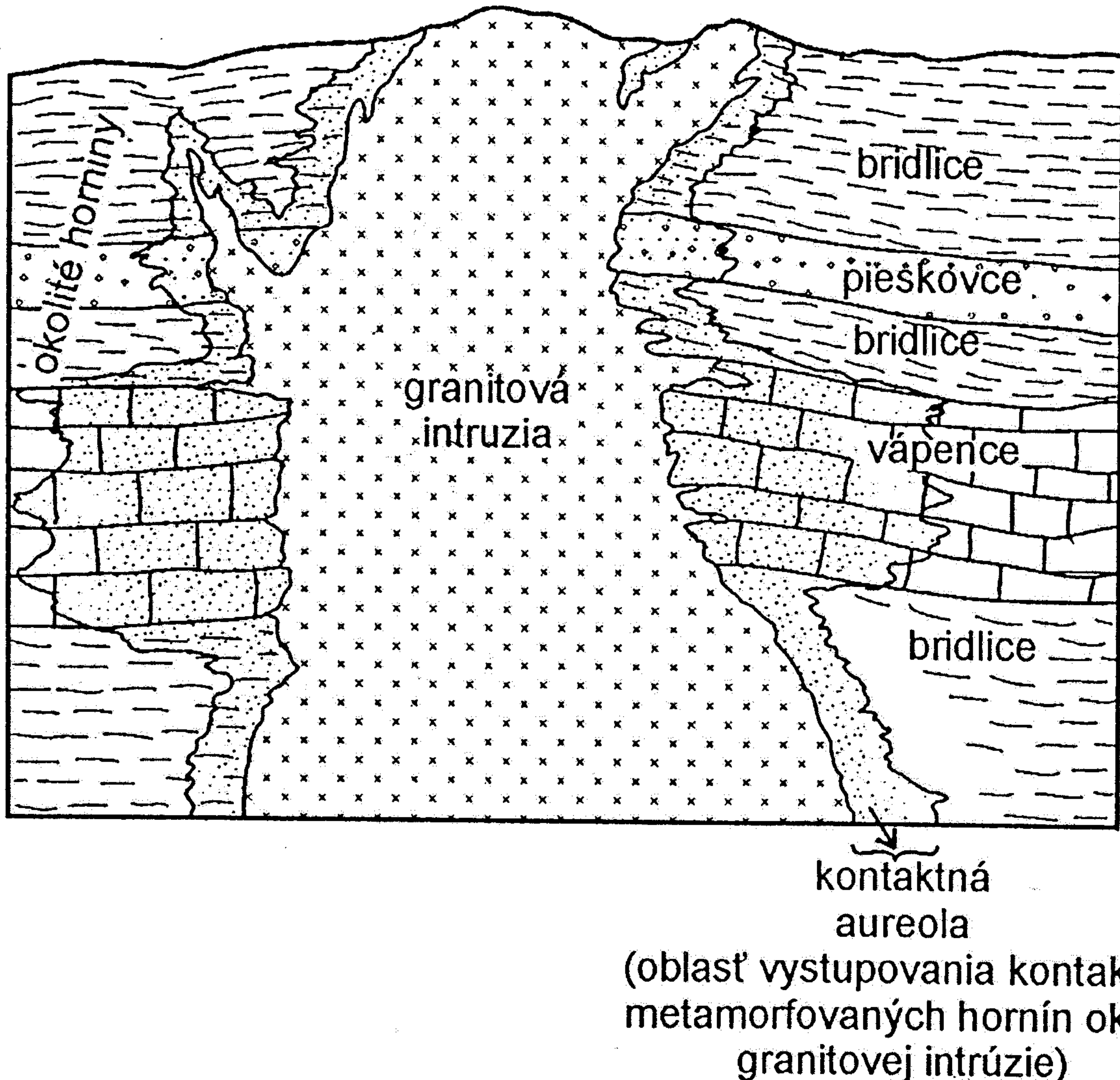


Obr. 205. Schematické znázornění výskytu kontaktních rudních ložisek profilem. Gr = žulový batholith s apofysami, bř. = břidlice, v. = vápenec, k. dv. = kontaktní dvůr žulového batholitu, r. = kontaktní rudní ložiska v metamorfovaných vápencích.

FIGURE 21-13

Contact-metamorphic iron deposit at Iron Springs, Utah. (After J. H. Mackin, Utah Geological Survey, 1947.)





Obr. 9.4. Schematický rez cez kontakt granitovej intrúzie s okolitými sedimentárnymi horninami znázorňuje závislosť šírky kontaktnej aureoly okolo intrúzie od zloženia a pórovitosti sedimentárnych hornín. Táto zóna kontaktne metamorfovaných hornín je najširšia v karbonátoch a najužšia v ílovcoch (bridliciach)

Figure 17-19

A contact aureole in sandstones and shales intruded by a granite pluton is a series of zones characterized by mineral assemblages formed at progressively lower temperatures with greater distances from the intrusive.

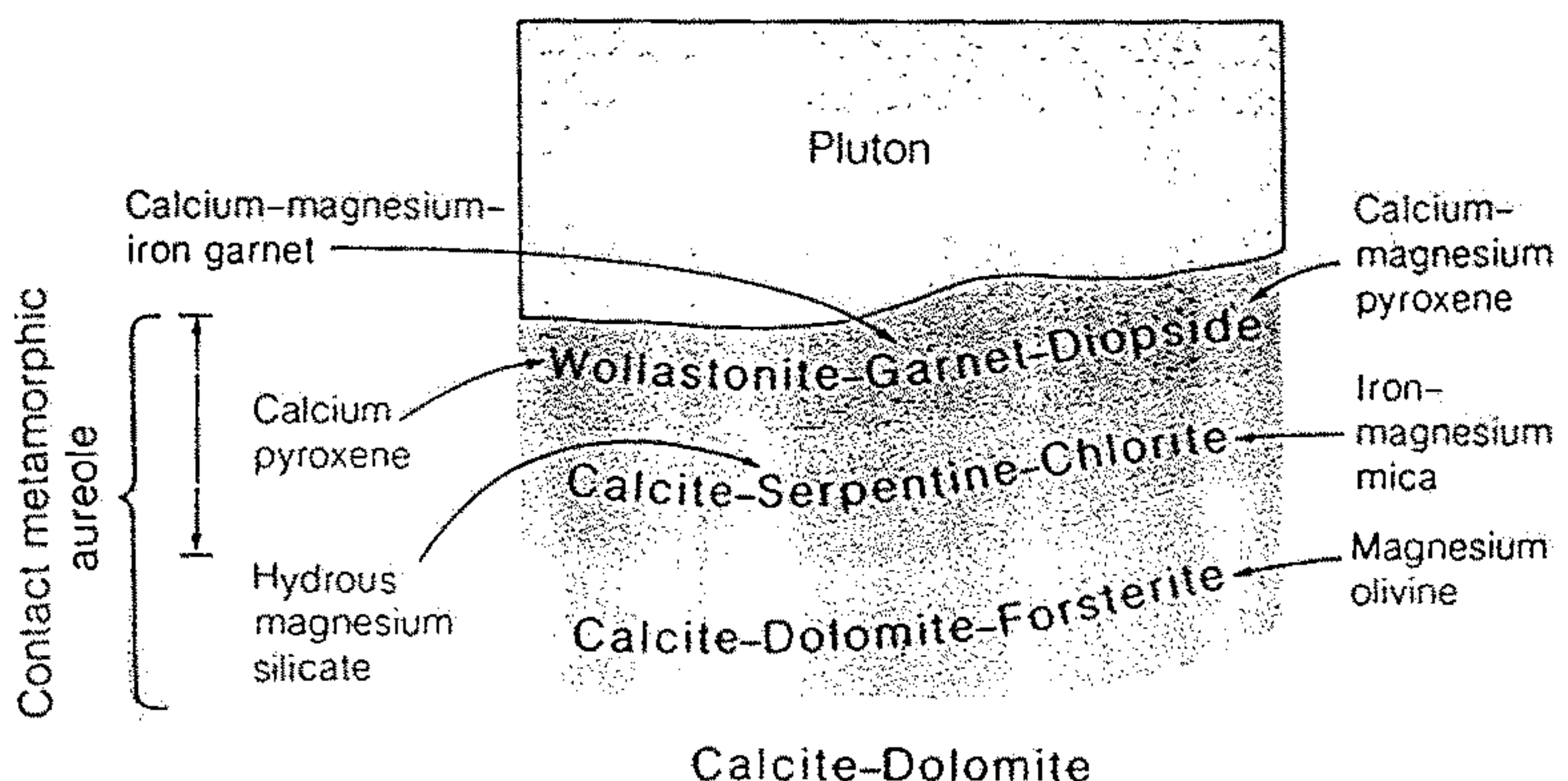
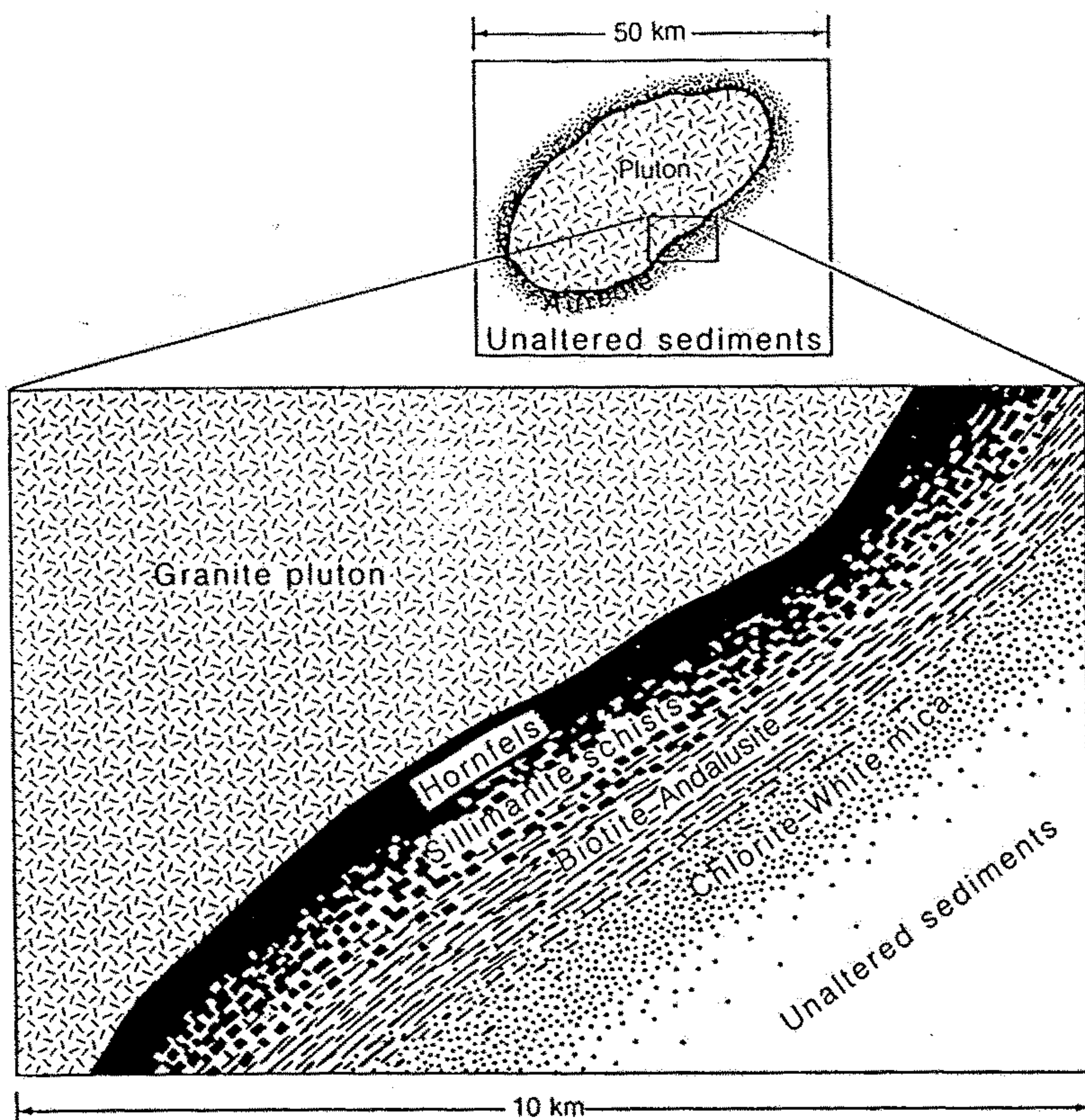
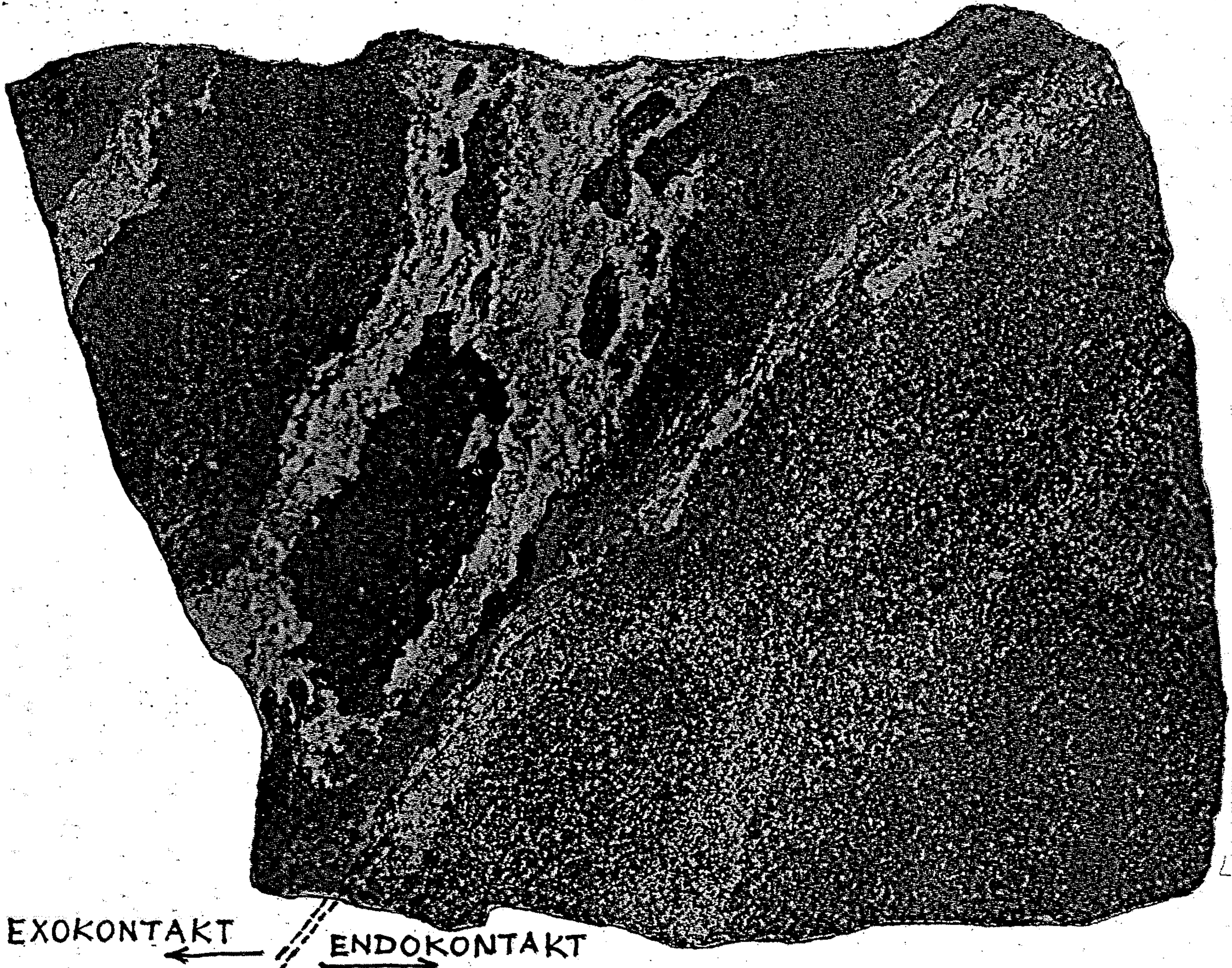
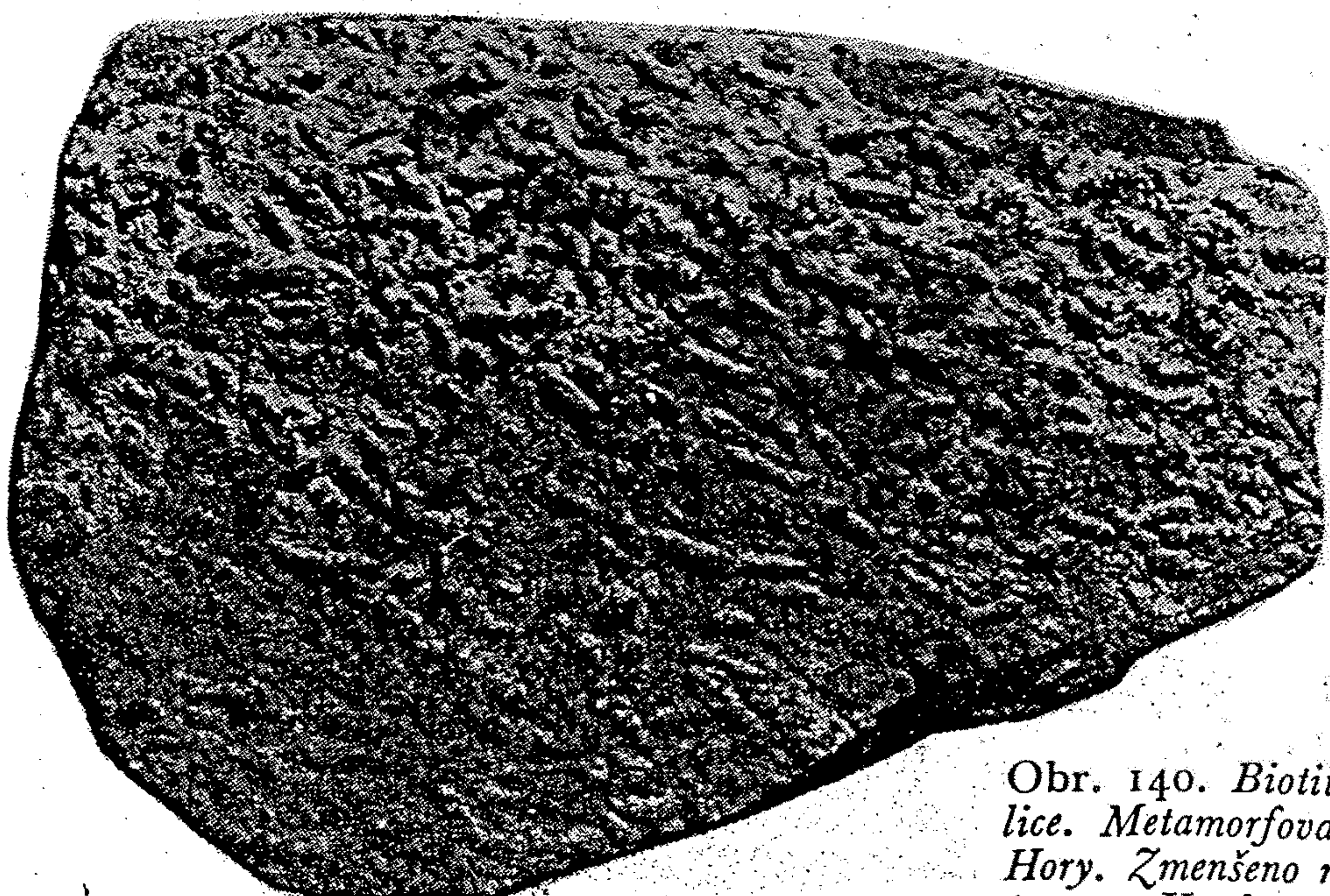


Figure 17-18

Skarns are banded rocks produced by contact metamorphism of limestones and dolomites. Grading from unaltered rock toward the contact, they change progressively from pure carbonate marble to bands composed of different calcium–magnesium silicate minerals, finally to a carbonate-free silicate rock.



Obr. 142. Kontakt žuly s vápencem, v němž kontaktní přeměnou vznikly granát, wollastonit, diopsid a j. silikáty. Žulová ve Slezsku. Zmenšeno na $\frac{1}{5}$. (Sbírky Geologického ústavu Karlovy university. Foto R. KETTNER.)



Obr. 140. Biotiticko-cordieritická plodová břidlice. Metamorfované algonkium. Vletice u Krásné Hory. Zmenšeno na $\frac{2}{3}$. (Sbírky Geologického ústavu Karlovy university. Foto Dr JOSEF F. SVOBODA.)

Tab. 12: Nejvýznamnější horninotvorné minerály metamorfovaných hornin

minerál	chemické složení	charakteristika	výskyt, parageneze
křemen	SiO_2	šedý, bílý, neštěpný,	metamorfované peliticko-psamitické sedimenty
plagioklasy	$\text{Na Al Si}_3\text{O}_8$, $\text{Ca Al}_2\text{Si}_3\text{O}_8$	štěpný, žlutobílý,	metamorfované sed., bazické vyvřeliny
draselný živec	$\text{K Al Si}_3\text{O}_8$	narůžovělý, štěpný	vysokoteplotní metapelity
muskovit	K, Al fylosilikát	světlý, šupinkovitě odlučný fylosilikát,	metapelity
biotit	K, (Fe, Mg, Mn) fylosilikát	tmavý, hnědočerný, fylosilikát, štěpný	metapelity
cordierit	Fe, Mg alumosilikát	dlouze sloupcovitý, namodralý, štěpný	kontaktní rohovce, vysokoteplotní regionální metamorfy.
granáty	$\text{R}_3 \text{R}_2(\text{SiO}_4)_3$, kde $\text{R}_3=\text{Fe, Mg, Mn, Ca}$ $\text{R}_2=\text{Fe, Al, }$	různé odstíny červenohnědých barev, izometrická zrna	metamorfované pelitické horniny, eklogity, granátické amfibolity
andalusit	Al_2SiO_5	narůžovělý, sloupcovitý	metapelity nízkotlaké, vysokoteplotní
sillimanit	dtto	vláknitý, jehličkovitý, bezbarvý	silně reg. met. metapelity
kyanit	dtto	dobре štěpný, namodralý	středně a výšetlaké metapelity, eklogity
staurolit	Al, Fe silikát	křížové prorostlice	v metapelitech středních stupňů met.
chlority	Fe, Mg fylosilikáty	jemně šupinkaté min.	slabě reg. met. metapelity, produkt retrogrese v metam. bazických horninách
serpentín	Mg silikát	šupinkatý, pseudomorfózy po olivínu	hadce
epidot	Ca (Al,Fe) silikát	žlutozelený sloupcovitý minerál	epidotické amfibolity, zelené břidlice
kalcit	CaCO_3	štěpný, bílý	vápence, erlány, metamorfované bazické tufy, zelené břidlice, fylity
amfiboly	chem. složité silikáty	dlouze sloupcovitý, tmavé barvy (zelené, černé)	metabazity, amfibolity
pyroxeny	silikáty Fe, Mg, Al, Ca	tmavé většinou zelené, sloupcovité štěpné	eklogity, erlány, pyroxenické ruly, granulity

Tab. 13.4 Chemische Zusammensetzung wichtiger metamorpher Minerale* (weitere sind in Tab. I.1 und in Tab. 13.1 aufgeführt).

Mineral	Formel
Chloritoid	$(\text{Fe}^{2+}, \text{Mg}, \text{Mn})_2(\text{Al}, \text{Fe}^{3+})(\text{OH})_4\text{Al}_3\text{O}[\text{SiO}_4]_2$
Glaukophan	$\text{Na}_2\text{Mg}_3\text{Al}_2[\text{Si}_8\text{O}_{22}](\text{OH})_2$
Jadeit	$\text{NaAl}[\text{Si}_2\text{O}_6]$
Phengit	Fe,Mg-reiche Variante des Muskovit (Tab. I.1)
Phlogopit – Biotit	$\text{K}_2(\text{Mg}, \text{Fe}^{2+})_{6-4}(\text{Fe}^{3+}, \text{Al}, \text{Ti})_{0-2}[\text{Si}_{6-5}\text{Al}_{2-3}\text{O}_{20}](\text{OH}, \text{F})_4$
Prehnit	$\text{Ca}_2(\text{Al}, \text{Fe}^{3+})[\text{AlSi}_3\text{O}_{10}](\text{OH})_2$
Pumpellyit	$\text{Ca}_2\text{Al}_2(\text{Al}, \text{Fe}^{3+}, \text{Fe}^{2+}, \text{Mg})[\text{Si}_2(\text{O}, \text{OH})_7][\text{SiO}_4](\text{OH}, \text{O})_3$
Pyrophyllit	$\text{Al}_4[\text{Si}_8\text{O}_{20}](\text{OH})_4$
Serpentin	$\text{Mg}_3[\text{Si}_2\text{O}_5](\text{OH})_4$
Staurolith	$(\text{Fe}^{2+}, \text{Mg}, \text{Zn})_2(\text{Al}, \text{Fe}^{3+}, \text{Ti})_9\text{O}_6[(\text{Si}, \text{Al})\text{O}_4](\text{O}, \text{OH})_2$
Talk	$\text{Mg}_6[\text{Si}_8\text{O}_{20}](\text{OH})_2$
Tremolit – Aktinolith	$\text{Ca}_2(\text{Mg}, \text{Fe}^{2+})_5[\text{Si}_8\text{O}_{22}](\text{OH}, \text{F})_2$
Wollastonit	$\text{Ca}[\text{SiO}_3]$

*Viele Minerale sind Mischminerale mit stark variabler chemischer Zusammensetzung

Tab. 13.1 Kristallwassergehalte einiger wichtiger metamorpher Minerale

Mineral	Formel	Kristallwasser-gehalt (Gew.-%)
Hornblende	$\text{Ca}_2(\text{Mg},\text{Fe})_4\text{Al}[\text{Si}_7\text{AlO}_{22}](\text{OH})_2$	1–2
Epidot	$\text{Ca}_2\text{Al}_2\text{O}\cdot(\text{Al},\text{Fe}^{3+})\text{OH}[\text{Si}_2\text{O}_7][\text{SiO}_4]$	1–2
Muskovit	$\text{K}_2\text{Al}_4[\text{Si}_6\text{Al}_2\text{O}_{20}](\text{OH},\text{F})_4$	4–5
Lawsonit	$\text{CaAl}_2[\text{Si}_2\text{O}_7](\text{OH})_2\cdot\text{H}_2\text{O}$	8
Laumontit (Zeolith)	$\text{Ca}_4[\text{Al}_8\text{Si}_{16}\text{O}_{48}]\cdot16\text{H}_2\text{O}$	11–12
Chlorit	$(\text{Mg},\text{Fe}^{2+},\text{Fe}^{3+},\text{Mn},\text{Al})_{12}[(\text{Si},\text{Al})_8\text{O}_{20}](\text{OH})_{16}$	10–13

Tab. 14: Příklady nejvýznamnějších typů metamorfovaných hornin a jejich základní charakteristika

název	minerální asociace	Poznámky
PŘEMĚNĚNÉ KYSELÉ VYVŘELÉ HORNINY:		
porfyroidy	q, ab, chl, msk (sericit)	relikty vyrostlic, z ryolitů, kys. tufů
ortoruly	q, plg, K-ž, msk, btt, +- amf	deformované a met. hlubinné vyvřeliny v podmínkách amfibolitové facie, přechody do slabě usměrněných granitoidů, extrémní def. stébelnaté ruly
granulity	q, plg, K-ž, granát, + - ky, +- px (bazické granulity)	v podmínkách. granulitové facie met. kyselé vyvřeliny, tufy, (protolitem některých granulitů mohou být i sedimenty)
PŘEMĚNĚNÉ BAZICKÉ VYVŘELÉ HORNINY:		
metabazity se zeolity	zeolity (prehnit, pumpellyit aj.), kalcit + minerály původní asociace, amf., px, plagiakt, ep. ab, chl, +- stilpnometan	slabá met. bazaltů oc. dna, nízký tlak i teploty, reakci hornin s hydrotermálními roztoky
zelené břidlice	ab, act, + - ep. + - cc, (epidot. amfibolity),	epizonálně přeměněné bazické vyvřeliny (výlevné, žilné) méně hlubinné metabazity met. v podmínkách nižší amfibol. facie, nižší teploty, nízké až střední tlaky
amfibolity	plg, amf, + - granát (amfibolity)	metabazity met. v podmínkách. amfibolitové facie, vyšší část s granátem
modré břidlice (glaukofanity)	glaukofan, lawsonit, plg,	za vysokých tlaků a nízkých teplot metamorfované bazalty, vázané na oblasti subdukčních zón
eklogity	Na px (omfacit), granát, + - ky	v eklogitové facii metamorfované bazalty, hlubší části subdukčních zón
PŘEMĚNĚNÉ ULTRABAZICKÉ HORNINY:		
serpentinity	serp, chl, mast, amf	přeměnou (hydratacií) plášt. ultrabazik

PŘEMĚNĚNÉ SEDIMENTÁRNÍ HORNINY:

REGIONÁLNĚ METAMORFOVANÉ PELITICKÉ SEDIMENTY:

fylit	q, ab, chl, msk	epizonálně přeměněné metapelity
svor	q, plg, msk, btt, +- grit, st, ky	mesozonálně přeměněné metapelity
rula	q, plg, btt, sill, +- cord, +- K-ž	katazonální přeměněné metapelity
migmatit	dtto jako rula, přít. taveniny	hybridní horniny, složené ze zvětlé taveniny leukosomu a tmavé složky melanosomu (neroztavený zbytek)

REGIONÁLNĚ METAMORFOVANÉ PSAMMITICKÉ SEDIMENTY:

kvarcit	q, msk, btt	křemen dominantní složkou horniny, metamorfovaný pískovec
metakonglomerát	pestré min. asociace v závislosti na složení valounů, rekrytovaná zejména základní hmota	metamorfovaný slepenec

REGIONÁLNĚ METAMORFOVANÉ VÁPNITÉ SEDIMENTY:

krystalický vápenec (mramor)	cc, dolomit	metamorfovaný vápenec, dolomit
---------------------------------	-------------	--------------------------------

KONTAKTNĚ METAMORFOVANÉ SEDIMENTÁRNÍ HORNINY:

podobné složení jako předchozí, ale místo ky, sill, grit, st, přítomny and, cord, při vyšších stupních kont. met px, sanidin, korund aj., typická statická rekrytizace minerálních zrn, dlažbovité struktury

skvrnité břidlice	drobné blasty nebo jejich skluhy tvoří nejčastěji btt, přít. msk	slabě metamorfovaná jílová břidlice, skvrnky vznikají nahloučením btt, rudních minerálů
plodové břidlice	btt, msk, plody někdy and (chiastolit)	středně metamorfovaná jílovité sedimenty, plody tvoří btt, and
rohovce	cord, and, btt, msk	masivní silně rekrytované pelitické horniny,

KONTAKTNĚ METAMORFOVANÉ BAZICKÉ VYVŘELINY:

různé typy amfibolických a pyroxenických rohovců podle intenzity metamorfózy

px. amf. rohovce	amf, px, plg,	silně metamorfované bazické horniny
------------------	---------------	-------------------------------------

KONTAKTNĚ METAMORFOVANÉ VÁPNITÉ SEDIMENTY:

érly	cc, grit, px (diopsid), amf	přeměněné vápence se silikátovou příměsí, metamorfované slinité sedimenty
skarny	Ca bohaté amf, px, grit, cc, wollastonit,	metamorfované vápence, sliny